

ویکی پاور

سایت تخصصی رشته های مهندسی برق ، کامپیوتر و ...



www.wikipower.ir

به نام خدا

بررسی سیستمهای قدرت ۲

غلامرضا کامیاب

1

مراجع

- ۱- "نظريه سیستمهای انرژي الکتریکی" تالیف الگرد مهندس طباطبائی
- ۲- "بررسی سیستمهای مدرن انرژی الکتریکی" تالیف نگرس ترجمه مهرداد عابدی
- ۳- "مبانی سیستمهای قدرت الکتریکی" تالیف استیونسن ترجمه های مختلف دارد
- ۴- "تحلیل سیستم قدرت" تالیف برگن
- ۵- "سیستمهای قدرت الکتریکی" تالیف احمد کاظمی
- ۶- "سیستمهای قدرت الکتریکی" تالیف هادی سعادت
- ... •

2

مباحث

- فصل اول : پخش بار
- فصل دوم : پخش بار اقتصادی
- فصل سوم : محاسبات اتصال کوتاه متقارن
- فصل چهارم : محاسبات اتصال کوتاه نامتقارن
- فصل پنجم : پایداری گذراي سیستم قدرت
- فصل ششم : کنترل دینامیکی سیستم قدرت

3

فصل اول: مطالعه پخش بار

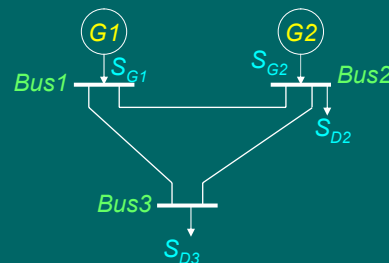
- سیستم قدرت: تعدادی باس (شین) که توسط خطوط انتقال به هم متصل اند.
- ژنراتورها توان را به باسها وارد می کنند.
- بارها توان را از باسها خارج می کنند.
- پخش بار یعنی حل سیستم قدرت در حالت پایدار

4

مدل‌سازی سیستم قدرت:

دیاگرام تک خطی یک سیستم قدرت:

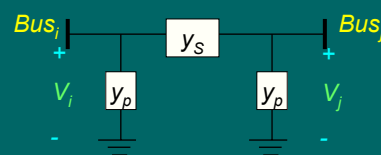
بعنوان مثال دیاگرام یک سیستم قدرت سه باسه:



5

مدل خط انتقال:

- مدل خط کوتاه (فقط یک امپدانس سری) که حالت خاصی از مدل پی است
- مدل خط متوسط (مدل پی نامی)
- مدل خط طویل (مدل پی معادل)

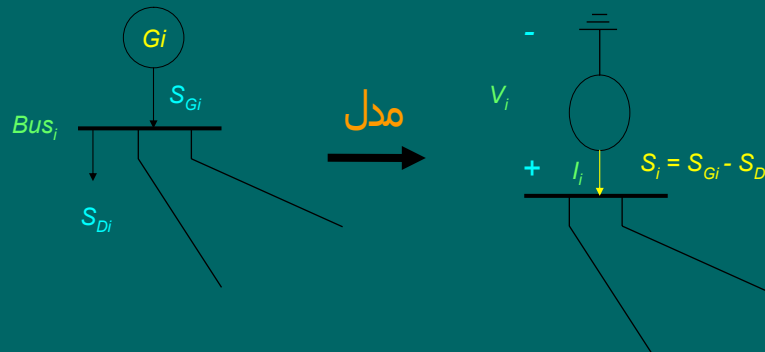


6

$$y_s = \frac{1}{Z_{Sij}}$$

$$y_p = \frac{y_{pij}}{2}$$

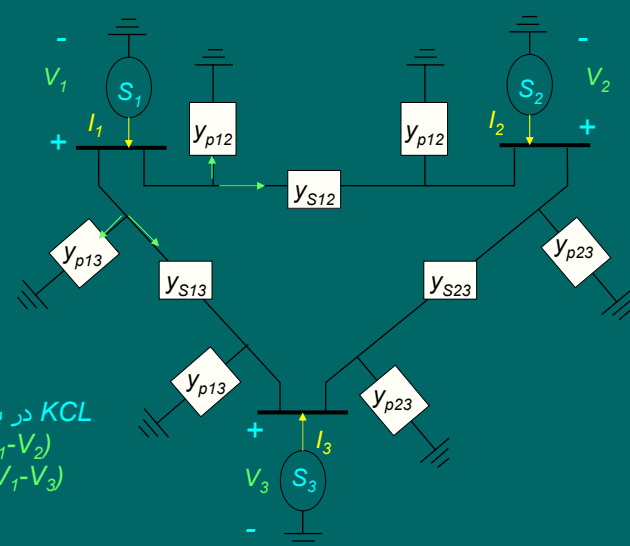
مدل باس:



ولتاژ باس i V_i
جریان باس i I_i
توان مختلط توزریقی (خالص) باس i (توان تولیدی منهای توان مصرفی)

7

مدل سیستم سه باس:



8

روابط ولتاژ و جریان سیستم سه باریم:

پس از نوشتن KCL در هر سه باریم:

$$\begin{aligned}I_1 &= y_{p12} \cdot V_1 + y_{s12} \cdot (V_1 - V_2) + y_{p13} \cdot V_1 + y_{s13} \cdot (V_1 - V_3) \\I_2 &= y_{p12} \cdot V_2 + y_{s12} \cdot (V_2 - V_1) + y_{p23} \cdot V_2 + y_{s23} \cdot (V_2 - V_3) \\I_3 &= y_{p13} \cdot V_3 + y_{s13} \cdot (V_3 - V_1) + y_{p23} \cdot V_3 + y_{s23} \cdot (V_3 - V_2)\end{aligned}$$

پس از مرتب کردن بر حسب ولتاژها داریم:

$$\begin{bmatrix} I_1 \\ I_2 \\ I_3 \end{bmatrix} = \begin{bmatrix} y_{11} & y_{12} & y_{13} \\ y_{21} & y_{22} & y_{23} \\ y_{31} & y_{32} & y_{33} \end{bmatrix} \begin{bmatrix} V_1 \\ V_2 \\ V_3 \end{bmatrix}$$

$$\begin{aligned}y_{11} &= y_{p12} + y_{p13} + y_{s12} + y_{s13} \\y_{22} &= y_{p12} + y_{p23} + y_{s12} + y_{s23} \\y_{33} &= y_{p13} + y_{p23} + y_{s13} + y_{s23} \\y_{12} &= y_{21} = -y_{s12} \\y_{13} &= y_{31} = -y_{s13} \\y_{23} &= y_{32} = -y_{s23}\end{aligned}$$

9

خلاصه روابط ولتاژ و جریان

$$I_{bus} = Y_{bus} \cdot V_{bus} \quad \text{شكل فشرده ماتریسی:}$$

$$I_{bus} = \begin{bmatrix} I_1 \\ \vdots \\ I_n \end{bmatrix} \quad Y_{bus} = \begin{bmatrix} y_{11} & \cdots & y_{1n} \\ \vdots & \cdots & \vdots \\ y_{n1} & \cdots & y_{nn} \end{bmatrix} \quad V_{bus} = \begin{bmatrix} V_1 \\ \vdots \\ V_n \end{bmatrix} \quad \text{که:}$$

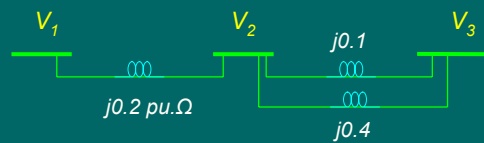
(مجموع ادمینانس‌های متصل به بار i) $= y_{ii} =$ عناصر قطری
 (منهای ادمینانس متصل به هر دو بار i, k) $= y_{ik} =$ عناصر غیر قطری

$$I_i = \sum_{k=1}^n y_{ik} \cdot V_k \quad \text{جریان تزریقی بار } i$$

10

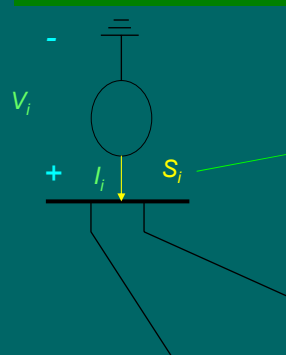
تمرین

برای سیستم قدرت شکل زیر ماتریس ادمیتانس را بدست آورید.



11

معادلات پخش بار



پس از مزدوج کردن دو طرف معادله فوق
شکل مختلط معادلات پخش بار بدست می
آید:

$$P_i - jQ_i = V_i^* \left(\sum_{k=1}^n y_{ik} V_k \right) \quad \text{for } i = 1, 2, \dots, n$$

12

شکل حقیقی معادلات پخش بار

بیان متغیرها به شکل قطبی: جایگذاری متغیرهای قطبی در شکل مختلط معادلات پخش بار:

$$P_i - jQ_i = V_i^* \left(\sum_{k=1}^n y_{ik} \cdot V_k \right) = (|V_i| e^{j\delta_i})^* \left(\sum_{k=1}^n |y_{ik}| e^{j\theta_{ik}} \cdot |V_k| e^{j\delta_k} \right)$$

پس از ساده سازی داریم :

$$P_i - jQ_i = \sum_{k=1}^n |V_i| |V_k| |y_{ik}| e^{-j(\delta_i - \delta_k - \theta_{ik})}$$

شکل حقیقی معادلات پخش بار:

$$P_i = \sum_{k=1}^n |V_i| |V_k| |y_{ik}| \cos(\delta_i - \delta_k - \theta_{ik})$$

$$Q_i = \sum_{k=1}^n |V_i| |V_k| |y_{ik}| \sin(\delta_i - \delta_k - \theta_{ik})$$

for $i = 1, 2, \dots, n$

مشخصات معادلات پخش بار

$$P_i = \sum_{k=1}^n |V_i| |V_k| |y_{ik}| \cos(\delta_i - \delta_k - \theta_{ik})$$

$$Q_i = \sum_{k=1}^n |V_i| |V_k| |y_{ik}| \sin(\delta_i - \delta_k - \theta_{ik})$$

for $i = 1, 2, \dots, n$

- معادلات جبری غیرخطی هستند.
- $2n$ معادله داریم (n تعداد باسهاست).
- هر بآس 4 متغیر (توان اکتیو، توان راکتیو، اندازه و زاویه ولتاژ) دارد.
- پس $4n$ متغیر وجود دارد.
- در هر بآس دو متغیر معلوم است.

أنواع بasesها با توجه به متغيرهای معلوم:

δ	$ V $	$Q_i = Q_{Gi} - Q_{Di}$	$P_i = P_{Gi} - P_{Di}$	نوع بases/متغير
مجهول	مجهول	معلوم	معلوم	bases مصرفی (PQ)
مجهول	معلوم	مجهول	معلوم	bases کنترل ولتاژ (PV)
معلوم	معلوم	مجهول	مجهول	bases مبنی (اسلك)

15

bases مصرفی (بار):

- کلیه توانهای اکتیو و راکتیو تولیدی و مصرفی معلوم اند.
- اندازه و زاویه ولتاژ bases باید توسط پخش بار تعیین شود.

16

باس کنترل ولتاژ (PV):

- اندازه ولتاژ با تزریق یا جذب توان راکتیو (Q_G) توسط یک ژنراتور و یا یک بانک خازنی در یک مقدار ثابت کنترل می شود.

$$\text{If } Q_G^{\min} \leq Q_G \leq Q_G^{\max} \quad \text{Then} \quad |V| = |V|^{Spec}$$

17

باس مبنا (اسلک):

- باس اسلک توازن قدرت در شبکه را برقرار می کند.
- هر سیستم قدرت تنها یک باس اسلک دارد.
- معمولاً زاویه آن صفر و مبنا فرض می شود.
- اندازه ولتاژ آن همواره در یک مقدار ثابت کنترل می شود.

$$P_1 = -(P_2 + P_3 + \dots + P_n)$$
$$V_1 = |V_1|^{Spec} < 0$$

18

انواع متغیرها از نظر رابطه علت و معلولی:

1- متغیرهای **اغتشاش** : توانهای اکتیو و راکتیو **صرف کنندگان** (P_D و Q_D) هستند که توسط مصرف کنندگان تغییر می کنند و غیر قابل کنترل می هستند.

2- متغیرهای **کنترل** (مستقل) : توانهای تولیدی ژنراتورهایند که با تغییر آنها ولتاژ و توان خطوط را کنترل می کنیم.

3- متغیرهای **حالت** (وابسته) : **ولتاژ باسها** یند که با تغییر متغیرهای اغتشاش و کنترل، آنها هم تغییر می کنند و حالت سیستم را عوض می کنند.

19

روش‌های حل معادلات پخش بار:

- روش‌ای تکرار هستند.
- 1- روش **گوس سایدل** (GS).
- 2- روش **نیوتون-رافسون** (NR).

20

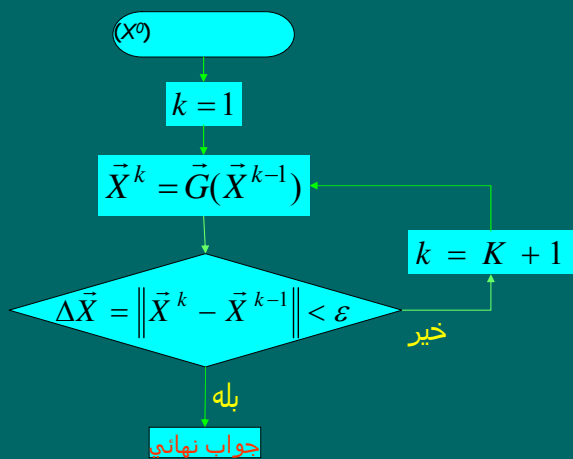
روش گوس سایدل:

شكل معادلات پخش بار:

$$\begin{cases} f_1(x_1, \dots, x_n) = 0 \\ f_2(x_1, \dots, x_n) = 0 \\ \vdots \\ f_n(x_1, \dots, x_n) = 0 \end{cases} \longrightarrow \vec{F}(\vec{X}) = 0 \longrightarrow \vec{X} = \vec{G}(\vec{X})$$

21

الگوریتم حل روش گوس سایدل:



22

مثال 1-1 روش گوس سایدل:

$$\begin{cases} 2x_1 + x_1x_2 - 1 = 0 \\ 2x_2 - x_1x_2 + 1 = 0 \end{cases} \quad \vec{X} = \vec{G}(\vec{X}) \quad \text{تبديل به شكل} \quad \begin{cases} x_1 = 0.5 - 0.5x_1x_2 = g_1(x_1, x_2) \\ x_2 = -0.5 + 0.5x_1x_2 = g_2(x_1, x_2) \end{cases}$$

فرض اولیه : $\begin{cases} x_1 = 0 \\ x_2 = 0 \end{cases}$

$$\begin{cases} x_1 = g_1(0,0) = 0.5 - 0.5 \times 0 \times 0 = 0.5 \\ x_2 = g_2(0.5,0) = -0.5 + 0.5 \times 0.5 \times 0 = -0.5 \end{cases} \quad \begin{cases} \Delta x_1 = 0.5 - 0 = 0.5 \\ \Delta x_2 = -0.5 - 0 = -0.5 \end{cases} \quad \|\Delta X\| = 0.5$$

$$\begin{cases} x_1 = g_1(0.5,-0.5) = 0.625 \\ x_2 = g_2(0.625,-0.5) = -0.65625 \end{cases} \quad \begin{cases} \Delta x_1 = 0.625 - 0.5 = 0.125 \\ \Delta x_2 = -0.65625 - (-0.5) = -0.15625 \end{cases} \quad \|\Delta X\| = 0.15625$$

$$\begin{cases} x_1 = 0.9629 \\ x_2 = -0.9634 \end{cases} \quad \|\Delta X\| = 0.00096$$

23

معادلات پخش بار برای روش گوس سایدل:

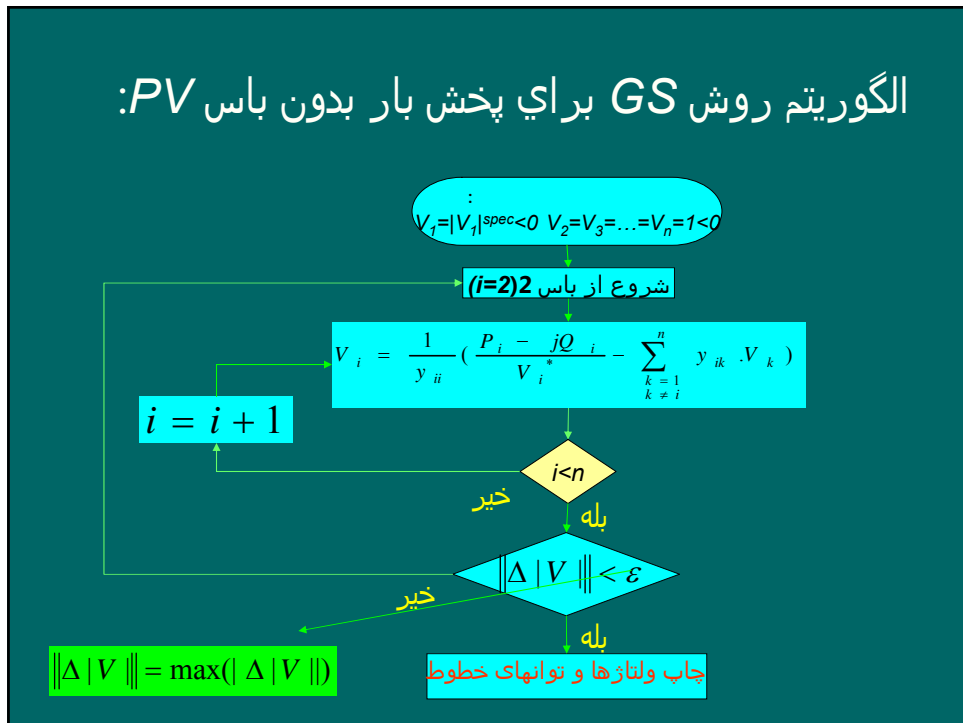
$$P_i - jQ_i = V_i^* \left(\sum_{k=1}^n y_{ik} \cdot V_k \right) \quad \text{for} \quad i = 1, 2, \dots, n \quad \text{شكل مختلط معادلات پخش بار:}$$

$$P_i - jQ_i = V_i^* \left(y_{ii} \cdot V_i + \sum_{\substack{k=1 \\ k \neq i}}^n y_{ik} \cdot V_k \right) \quad \text{ جدا کردن جمله } i \text{ از سیگما:}$$

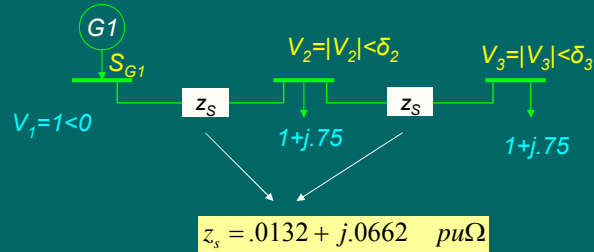
$$V_i = \frac{1}{y_{ii}} \left(\frac{P_i - jQ_i}{V_i^*} - \sum_{\substack{k=1 \\ k \neq i}}^n y_{ik} \cdot V_k \right) \quad \text{فرمول محاسبه } V_i \text{ در روش GS:}$$

24

الگوریتم روش GS برای پخش بار بدون باس



مثال 1-2 : پخش بار به روش گوس سایدل



ولتاژ باسهای 2 و 3 را پس از دو مرحله تکرار به روش گوس-سایدل پیدا کنید؟

حل:

محاسبه توانهای تزریقی باسهها:

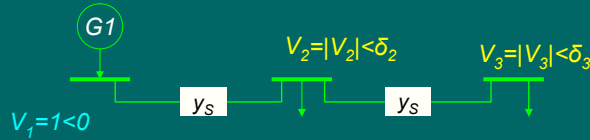
$$P_2^{sch} = P_{G2} - P_{D2} = 0 - 1 = -1$$

$$Q_2^{sch} = Q_{G2} - Q_{D2} = 0 - .75 = -.75$$

$$P_3^{sch} = P_{G3} - P_{D3} = 0 - 1 = -1$$

$$Q_3^{sch} = Q_{G3} - Q_{D3} = 0 - .75 = -.75$$

ادامه حل مثال 1-2(محاسبه ماتریس ادمیتانس باها) :



$$y_s = 1 / z_s = 1 / (.0132 + j.0662) = 14.81 < -78.7$$

عناصر قطری:

$$y_{11} = y_{33} = y_s = 14.81 < -78.7$$

$$y_{22} = 2 y_s = 29.62 < -78.7$$

عناصر غیر قطری:

$$y_{12} = y_{21} = y_{23} = y_{32} = -y_s = 14.81 < (-78.7 + 180) = 14.81 < 101.3$$

$$y_{13} = y_{31} = 0$$

27

ادامه حل مثال 1-2(تکرار اول) :

مقادیر پیش فرض و لتاژ:

$$V_i = |V_i|^{spec} < 0 = 1 < 0 \quad V_2 = V_3 = 1 < 0 \quad V_1 = |V_1|^{spec} < 0 = 1 < 0$$

$$V_i = \frac{1}{y_{ii}} \left(\frac{P_i^{sch} - jQ_i^{sch}}{V_i^*} - \sum_{\substack{k=1 \\ k \neq i}}^n y_{ik} \cdot V_k \right)$$

$$V_2 = \frac{1}{y_{22}} \left(\frac{P_2^{sch} - jQ_2^{sch}}{V_2^*} - \sum_{\substack{k=1 \\ k \neq 2}}^3 y_{2k} \cdot V_k \right) = \frac{1}{y_{22}} \left(\frac{P_2^{sch} - jQ_2^{sch}}{V_2^*} - y_{21} \cdot V_1 - y_{23} \cdot V_3 \right)$$

$$V_2 = \frac{1}{29.62 < -78.69} \left(\frac{-1 - j(-.75)}{(1 < 0)^*} - (14.81 < 101.3) \cdot (1 < 0) - (14.81 < 101.3) \cdot (1 < 0) \right) = 0.96897 < -1.66$$

$$V_3 = \frac{1}{y_{33}} \left(\frac{P_3^{sch} - jQ_3^{sch}}{V_3^*} - \sum_{\substack{k=1 \\ k \neq 3}}^3 y_{3k} \cdot V_k \right) = \frac{1}{y_{33}} \left(\frac{P_3^{sch} - jQ_3^{sch}}{V_3^*} - y_{31} \cdot V_1 - y_{32} \cdot V_2 \right)$$

$$V_3 = \frac{1}{14.81 < -78.71} \left(\frac{-1 - j(-.75)}{(1 < 0)^*} - (0 \times (1 < 0)) - (14.81 < 101.3) \cdot (0.96897 < -1.66) \right) = 0.909616 < -5.32$$

28

ادامه حل مثال 1-2 :

$$\Delta V_2 = |V_2^{new}| - |V_2^{old}| = 0.96897 - 1 = -0.03103$$

بررسی همگانی:

$$\Delta V_3 = |V_3^{new}| - |V_3^{old}| = 0.909616 - 1 = -0.09038$$

$$\|\Delta V\| = 0.09038 > \varepsilon = 0.0005$$

تکرار دوم:

$$V_1 = |V_1|^{spec} < 0 = 1 < 0$$

$$V_2 = 0.96897 < -1.66$$

مقادیر ولتاژها:

$$V_3 = 0.909616 < -5.32$$

جواب های نهائی بعد از 22 تکرار:

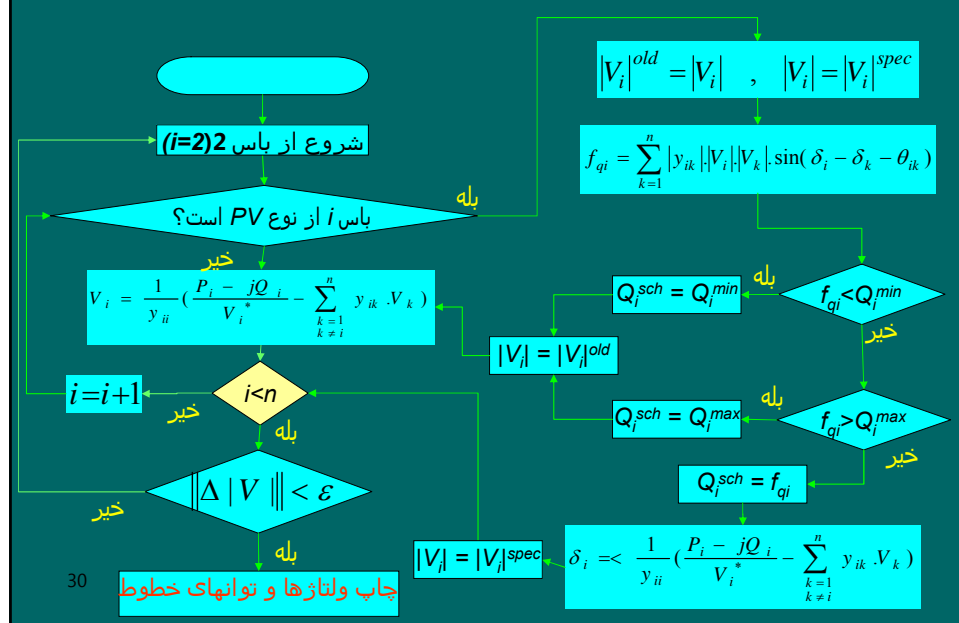
$$V_1 = |V_1|^{spec} < 0 = 1 < 0$$

$$V_2 = 0.8214 < -7.8779^\circ$$

$$V_3 = 0.7319 < -13.2509^\circ$$

29

الگوریتم روش GS برای پخش بار با باس PV:



نحوه انتخاب مقادیر پیش فرض اولیه ولتاژ برای هر دو روش GS و PV :

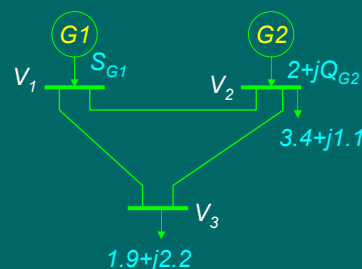
$V_1 = |V_1|^{spec} < 0$ برای بس مبنا :

$V_i = |V_i|^{spec} < 0$ برای باسهای کنترل ولتاژ (PV) :

$V_i = 1 < 0$ برای باسهای مصرفی (PQ) :

31

مثال 1-3: پخش بار به روش گوس سایدل با بس PV



در سیستم قدرت فوق ادمیتانسها مدل پی تمام خطوط عبارتند از :
 $y_s = -j8.7 \quad y_p = 0$

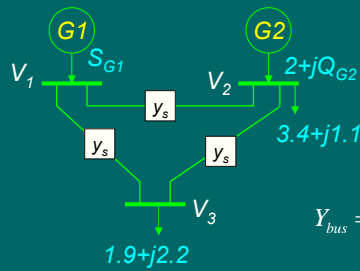
باس 1، بس مبنا با ولتاژ $V_1 = 1.02 < 0$
 بس 2، از نوع PV با $|V_2|^{spec} = 1.01$ برای $1 \leq Q_{G2} \leq 2$

ولتاژ باسهای 2 و 3 را پس از یک مرحله تکرار به روش گوس-سایدل پیدا کنید؟

32

حل مثال 3-1

محاسبه ماتریس ادیتیانس باسها:



$$Y_{bus} = \begin{bmatrix} 2y_s & -y_s & -y_s \\ -y_s & 2y_s & -y_s \\ -y_s & -y_s & 2y_s \end{bmatrix} = \begin{bmatrix} -j17.4 & j8.7 & j8.7 \\ j8.7 & -j17.4 & j8.7 \\ j8.7 & j8.7 & -j17.4 \end{bmatrix}$$

محاسبه توانهای تزریقی باسها:

$$P_2^{sch} = P_{G2} - P_{D2} = 2 - 3.4 = -1.4$$

$$1 \leq Q_{G2} \leq 2$$

$$P_3^{sch} = P_{G3} - P_{D3} = 0 - 1.9 = -1.9$$



$$Q_3^{sch} = Q_{G3} - Q_{D3} = 0 - 2.2 = -2.2$$

$$-1.1 \leq Q_2^{sch} = Q_{G2} - Q_{D2} \leq 2 - 1.1$$



$$-0.1 \leq Q_2^{sch} \leq 0.9$$

33

ادامه حل مثال 3-1 : تکرار اول:

$$V_1 = 1.02 < 0 \quad V_2 = |V_2|^{spec} < 0 = 1.01 < 0 \quad V_3 = 1 < 0$$

$$\begin{aligned} f_{q2}^{(0)} &= \sum_{k=1}^n |y_{2k}| |V_2| |V_k| \sin(\delta_2 - \delta_k - \theta_{2k}) \\ &= |y_{21}| |V_2| |V_1| \sin(\delta_2 - \delta_1 - \theta_{21}) + |y_{22}| |V_2| |V_2| \sin(\delta_2 - \delta_2 - \theta_{22}) + |y_{23}| |V_2| |V_3| \sin(\delta_2 - \delta_3 - \theta_{23}) \\ &= 8.7 \times 1.01 \times 1.02 \times \sin 0 - 90 + 17.4 \times 1.01 \times 1.01 \times \sin 0 + 90 + 8.7 \times 1.01 \times 1 \times \sin 0 - 90 \\ &= 0 \end{aligned}$$

$Q_2^{sch} = f_{q2}^{(0)} = 0$ در بازه Q_2^{sch} قرار دارد بنابراین: چون $-0.1 < f_{q2} = 0 < 0.9$

$$\begin{aligned} V_2 &= \frac{1}{y_{22}} \left(\frac{P_2^{sch} - jQ_2^{sch}}{V_2^*} - \sum_{\substack{k=1 \\ k \neq 2}}^3 y_{2k} V_k \right) \\ &= \frac{1}{y_{22}} \left(\frac{P_2^{sch} - jQ_2^{sch}}{V_2^*} - y_{21} V_1 - y_{23} V_3 \right) \\ &34 = \frac{1}{-j17.4} \left(\frac{-1.4 - j0}{1.01 < 0} - (j8.7)(1.02 < 0) - (j8.7)(1 < 0) \right) = 1.0131 < -4.51^\circ \end{aligned}$$

ادامه حل مثال 3-1 :

$$V_2 = |V_2|^{spec} < -4.51 = 1.01 < -4.51$$

بنابراین

$$\begin{aligned} V_3 &= \frac{1}{y_{33}} \left(\frac{P_{\text{3}}^{\text{sch}} - jQ_{\text{3}}^{\text{sch}}}{V_{\text{3}}^*} - \sum_{\substack{k=1 \\ k \neq 3}}^3 y_{3k} V_k \right) \\ &= \frac{1}{y_{33}} \left(\frac{P_{\text{3}}^{\text{sch}} - jQ_{\text{3}}^{\text{sch}}}{V_{\text{3}}^*} - y_{31} V_1 - y_{32} V_2 \right) \\ &= \frac{1}{-j17.4} \left(\frac{-1.9 - j(-2.2)}{1.0 < 0} - (j8.7)(1.02 < 0) - (j8.7)(1.01 < -4.51) \right) = 0.8896 < -9.64^\circ \end{aligned}$$

ولتاژ باسها پس از یک مرحله تکرار:

$$V_1 = 1.02 < 0 \quad V_2 = 1.01 < -4.51 \quad V_3 = 0.8896 < -9.64$$

35

روش نیوتن-رافسون :

شکل معادلات پخش بار:

تقریب معادلات با بسط تیلور:

$$\begin{cases} f_1(x_1, \dots, x_n) = f_1^{\text{sch}} \\ f_2(x_1, \dots, x_n) = f_2^{\text{sch}} \\ \vdots \\ f_n(x_1, \dots, x_n) = f_n^{\text{sch}} \end{cases}$$

شکل ماتریسی معادلات:

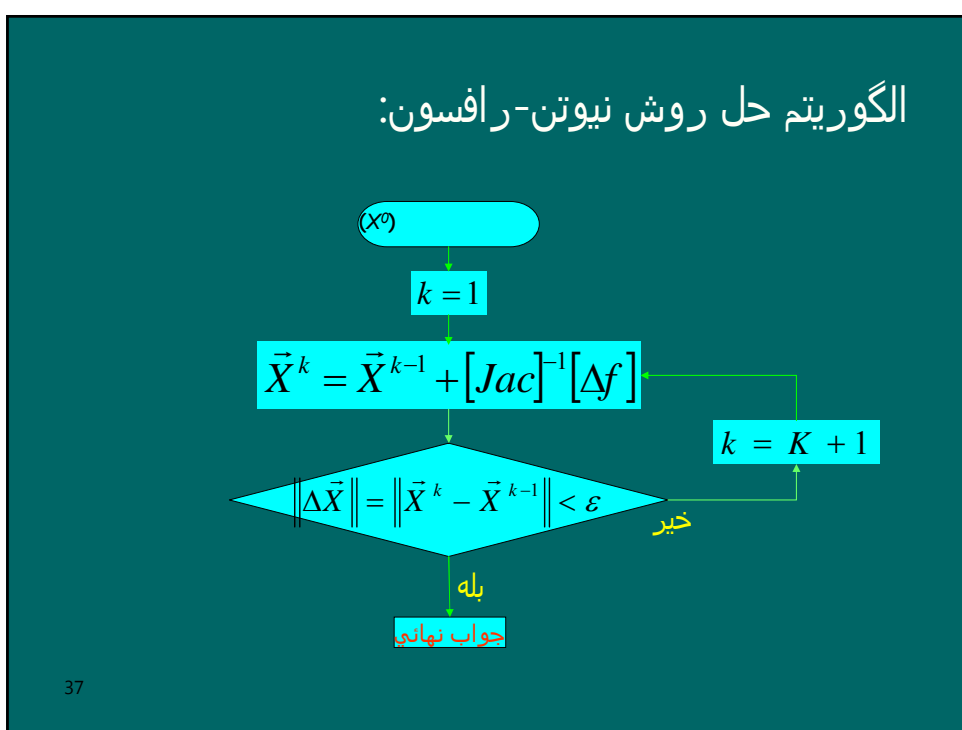
$$\begin{bmatrix} \frac{\partial f_1}{\partial x_1}^{(0)} & \dots & \frac{\partial f_1}{\partial x_n}^{(0)} \\ \vdots & \dots & \vdots \\ \frac{\partial f_n}{\partial x_1}^{(0)} & \dots & \frac{\partial f_n}{\partial x_n}^{(0)} \end{bmatrix} \begin{bmatrix} \Delta x_1 \\ \vdots \\ \Delta x_n \end{bmatrix} = \begin{bmatrix} f_1^{\text{sch}} - f_1^{(0)} \\ \vdots \\ f_n^{\text{sch}} - f_n^{(0)} \end{bmatrix}$$

$$[Jac][\Delta X] = [\Delta f]$$

$$[\Delta X] = [Jac]^{-1} [\Delta f]$$

36

الگوریتم حل روش نیوتن-رافسون:



37

مثال 1-4-روش نیوتن-رافسون برای معادله با یک متغیر:

$$-x^2 + 3x - 2 = 0 \quad \xrightarrow{\text{تبديل به شكل}} \quad f(x) = f^{sch}$$

: فرض اولیه $x = 0$

: تکرار اول

$$\begin{aligned} Jac &= \frac{\partial f}{\partial x} = -2x + 3 = -2 \times 0 + 3 = 3 \\ \Delta f &= f^{sch} - f^0 = 2 - (-0^2 + 3 \times 0) = 2 \\ \Delta x &= Jac^{-1} \cdot \Delta f = 3^{-1} \times 2 = 0.6667 \Rightarrow \|\Delta x\| = 0.6667 > \epsilon = 0.001 \\ x^{new} &= x^{old} + \Delta x = 0 + 0.6667 = 0.6667 \end{aligned}$$

: تکرار دوم

$$\begin{aligned} Jac &= \frac{\partial f}{\partial x} = -2x + 3 = -2 \times 0.6667 + 3 = 1.6666 \\ \Delta f &= f^{sch} - f^0 = 2 - (-0.6667^2 + 3 \times 0.6667) = 0.4444 \\ \Delta x &= Jac^{-1} \cdot \Delta f = 1.6666^{-1} \times 0.4444 = 0.2667 \Rightarrow \|\Delta x\| = 0.2667 > \epsilon = 0.001 \\ x^{new} &= x^{old} + \Delta x = 0.6667 + 0.2667 = 0.9334 \end{aligned}$$

: تکرار سوم

$$\begin{aligned} Jac &= \frac{\partial f}{\partial x} = -2x + 3 = -2 \times 0.9334 + 3 = 1.1332 \\ \Delta f &= f^{sch} - f^0 = 2 - (-0.9334^2 + 3 \times 0.9334) = 0.0710 \\ \Delta x &= Jac^{-1} \cdot \Delta f = 1.1332^{-1} \times 0.0710 = 0.0627 \Rightarrow \|\Delta x\| = 0.0627 > \epsilon = 0.001 \\ x^{new} &= x^{old} + \Delta x = 0.9334 + 0.0627 = 0.9961 \end{aligned}$$

مثال 1-5-روش نیوتن-رافسون برای معادله با دو متغیر:

$$\begin{cases} 2x_1 + x_1 x_2 - 1 = 0 \\ 2x_2 - x_1 x_2 + 1 = 0 \end{cases} \quad f(x) = f^{sch} \quad \text{تبديل به شکل} \quad \begin{cases} f_1(x_1, x_2) = 2x_1 + x_1 x_2 - 1 = f_1^{sch} \\ f_2(x_1, x_2) = 2x_2 - x_1 x_2 + 1 = f_2^{sch} \end{cases}$$

فرض اولیه : $\begin{cases} x_1 = 0 \\ x_2 = 0 \end{cases}$

تکرار اول :

$$[Jac] = \begin{bmatrix} \frac{\partial f_1}{\partial x_1} & \frac{\partial f_1}{\partial x_2} \\ \frac{\partial f_2}{\partial x_1} & \frac{\partial f_2}{\partial x_2} \end{bmatrix} = \begin{bmatrix} 2+x_2 & x_1 \\ -x_2 & 2-x_1 \end{bmatrix} = \begin{bmatrix} 2+0 & 0 \\ -0 & 2-0 \end{bmatrix} = \begin{bmatrix} 2 & 0 \\ 0 & 2 \end{bmatrix}$$

$$\Delta \vec{f} = f^{sch} - f^0 = \begin{bmatrix} 1 \\ -1 \end{bmatrix} - \begin{bmatrix} 2 \times 0 + 0 \times 0 \\ 2 \times 0 - 0 \times 0 \end{bmatrix} = \begin{bmatrix} 1 \\ -1 \end{bmatrix}$$

$$[\Delta X] = [Jac]^{-1} [\Delta f] = \begin{bmatrix} 2 & 0 \\ 0 & 2 \end{bmatrix}^{-1} \begin{bmatrix} 1 \\ -1 \end{bmatrix} = \begin{bmatrix} 0.5 \\ -0.5 \end{bmatrix} \Rightarrow \|\Delta X\| = 0.5 > \varepsilon = 0.001$$

39

$$X^{new} = X^{old} + \Delta X = \begin{bmatrix} 0 \\ 0 \end{bmatrix} + \begin{bmatrix} 0.5 \\ -0.5 \end{bmatrix} = \begin{bmatrix} 0.5 \\ -0.5 \end{bmatrix}$$

تکرار دوم :

ادامه حل مثال :

$$[Jac] = \begin{bmatrix} \frac{\partial f_1}{\partial x_1} & \frac{\partial f_1}{\partial x_2} \\ \frac{\partial f_2}{\partial x_1} & \frac{\partial f_2}{\partial x_2} \end{bmatrix} = \begin{bmatrix} 2+x_2 & x_1 \\ -x_2 & 2-x_1 \end{bmatrix} = \begin{bmatrix} 2+(-0.5) & 0.5 \\ -(-0.5) & 2-0.5 \end{bmatrix} = \begin{bmatrix} 1.5 & 0.5 \\ 0.5 & 1.5 \end{bmatrix}$$

$$\Delta \vec{f} = f^{sch} - f^0 = \begin{bmatrix} 1 \\ -1 \end{bmatrix} - \begin{bmatrix} 2 \times 0.5 + 0.5 \times (-0.5) \\ 2 \times (-0.5) - 0.5 \times (-0.5) \end{bmatrix} = \begin{bmatrix} 0.25 \\ -0.25 \end{bmatrix}$$

$$[\Delta X] = [Jac]^{-1} [\Delta f] = \begin{bmatrix} 1.5 & 0.5 \\ 0.5 & 1.5 \end{bmatrix}^{-1} \begin{bmatrix} 0.25 \\ -0.25 \end{bmatrix} = \begin{bmatrix} 0.25 \\ -0.25 \end{bmatrix} \Rightarrow \|\Delta X\| = 0.25 > \varepsilon = 0.001$$

$$X^{new} = X^{old} + \Delta X = \begin{bmatrix} 0.5 \\ -0.5 \end{bmatrix} + \begin{bmatrix} 0.25 \\ -0.25 \end{bmatrix} = \begin{bmatrix} 0.75 \\ -0.75 \end{bmatrix}$$

روش نیوتن-رافسون برای حل معادلات پخش بار:

$$\begin{cases} P_i^{sch} = f_{pi} = \sum_{k=1}^n |y_{ik}| |V_i| |V_k| \cos(\delta_i - \delta_k - \theta_{ik}) \\ Q_i^{sch} = f_{qi} = \sum_{k=1}^n |y_{ik}| |V_i| |V_k| \sin(\delta_i - \delta_k - \theta_{ik}) \end{cases} \quad \text{for } i = 1, 2, \dots, n$$

تقریب معادلات با بسط تیلور:

$$\begin{cases} P_i^{sch} \approx f_{pi}^{(0)} + \left(\frac{\partial f_{pi}}{\partial \delta_2}\right)^{(0)} \Delta \delta_2 + \dots + \left(\frac{\partial f_{pi}}{\partial \delta_n}\right)^{(0)} \Delta \delta_n + \left(\frac{\partial f_{pi}}{\partial |V_2|}\right)^{(0)} \Delta |V_2| + \dots + \left(\frac{\partial f_{pi}}{\partial |V_n|}\right)^{(0)} \Delta |V_n| \\ Q_i^{sch} \approx f_{qi}^{(0)} + \left(\frac{\partial f_{qi}}{\partial \delta_2}\right)^{(0)} \Delta \delta_2 + \dots + \left(\frac{\partial f_{qi}}{\partial \delta_n}\right)^{(0)} \Delta \delta_n + \left(\frac{\partial f_{qi}}{\partial |V_2|}\right)^{(0)} \Delta |V_2| + \dots + \left(\frac{\partial f_{qi}}{\partial |V_n|}\right)^{(0)} \Delta |V_n| \end{cases}$$

تغییر متغیر:

$$\begin{cases} P_i^{sch} - f_{pi}^{(0)} \approx \left(\frac{\partial f_{pi}}{\partial \delta_2}\right)^{(0)} \Delta \delta_2 + \dots + \left(\frac{\partial f_{pi}}{\partial \delta_n}\right)^{(0)} \Delta \delta_n + |V_2|^{(0)} \left(\frac{\partial f_{pi}}{\partial |V_2|}\right)^{(0)} \frac{\Delta |V_2|}{|V_2|^{(0)}} + \dots + |V_n|^{(0)} \left(\frac{\partial f_{pi}}{\partial |V_n|}\right)^{(0)} \frac{\Delta |V_n|}{|V_n|^{(0)}} \\ Q_i^{sch} - f_{qi}^{(0)} \approx \left(\frac{\partial f_{qi}}{\partial \delta_2}\right)^{(0)} \Delta \delta_2 + \dots + \left(\frac{\partial f_{qi}}{\partial \delta_n}\right)^{(0)} \Delta \delta_n + |V_2|^{(0)} \left(\frac{\partial f_{qi}}{\partial |V_2|}\right)^{(0)} \frac{\Delta |V_2|}{|V_2|^{(0)}} + \dots + |V_n|^{(0)} \left(\frac{\partial f_{qi}}{\partial |V_n|}\right)^{(0)} \frac{\Delta |V_n|}{|V_n|^{(0)}} \end{cases}$$

41

ادامه روش نیوتن-رافسون:

نام گذاری جدید ضرائب و متغیرها:

$$\begin{cases} \Delta P_i \approx H_{i2} \Delta \delta_2 + \dots + H_{in} \Delta \delta_n + N_{i2} \frac{\Delta |V_2|}{|V_2|^{(0)}} + \dots + N_{in} \frac{\Delta |V_n|}{|V_n|^{(0)}} \\ \Delta Q_i \approx J_{i2} \Delta \delta_2 + \dots + J_{in} \Delta \delta_n + L_{i2} \frac{\Delta |V_2|}{|V_2|^{(0)}} + \dots + L_{in} \frac{\Delta |V_n|}{|V_n|^{(0)}} \end{cases} \quad \text{for } i = 2, \dots, n$$

شکل ماتریسی:

$$\begin{bmatrix} \Delta P_2 \\ \vdots \\ \Delta P_n \\ \Delta Q_2 \\ \vdots \\ \Delta Q_n \end{bmatrix} = \begin{bmatrix} H_{22} & \cdots & H_{2n} & | & N_{22} & \cdots & N_{2n} \\ \vdots & & \vdots & | & \vdots & & \vdots \\ H_{n2} & \cdots & H_{nn} & | & N_{n2} & \cdots & N_{nn} \\ J_{22} & \cdots & J_{2n} & | & L_{22} & \cdots & L_{2n} \\ \vdots & & \vdots & | & \vdots & & \vdots \\ J_{n2} & \cdots & J_{nn} & | & L_{n2} & \cdots & L_{nn} \end{bmatrix} \begin{bmatrix} \Delta \delta_2 \\ \vdots \\ \Delta \delta_n \\ \Delta |V_2| \\ |V_2|^{(0)} \\ \Delta |V_n| \\ |V_n|^{(0)} \end{bmatrix}$$

$$42 \quad \begin{bmatrix} \Delta P \\ \Delta Q \end{bmatrix} = \begin{bmatrix} H & N \\ J & L \end{bmatrix} \begin{bmatrix} \Delta \delta \\ \Delta |V| \end{bmatrix} \quad \text{شکل فشرده ماتریسی:}$$

عناصر ماتریس ژاکوبین:

$$H_{ii} = \left(\frac{\partial f_{pi}}{\partial \delta_i} \right)^{(0)} = - \sum_{\substack{k=1 \\ k \neq i}}^n |y_{ik}| |V_i| |V_k| \sin(\delta_i - \delta_k - \theta_{ik}) = -f_{qi}^{(0)} - B_{ii} |V_i|^2$$

$$H_{ik} = \left(\frac{\partial f_{pi}}{\partial \delta_k} \right)^{(0)} = |y_{ik}| |V_i| |V_k| \sin(\delta_i - \delta_k - \theta_{ik}) \quad \text{for } k \neq i$$

$$J_{ii} = \left(\frac{\partial f_{qi}}{\partial \delta_i} \right)^{(0)} = - \sum_{\substack{k=1 \\ k \neq i}}^n |y_{ik}| |V_i| |V_k| \cos(\delta_i - \delta_k - \theta_{ik}) = f_{pi}^{(0)} - G_{ii} |V_i|^2$$

$$J_{ik} = \left(\frac{\partial f_{qi}}{\partial \delta_k} \right)^{(0)} = -|y_{ik}| |V_i| |V_k| \cos(\delta_i - \delta_k - \theta_{ik}) \quad \text{for } k \neq i$$

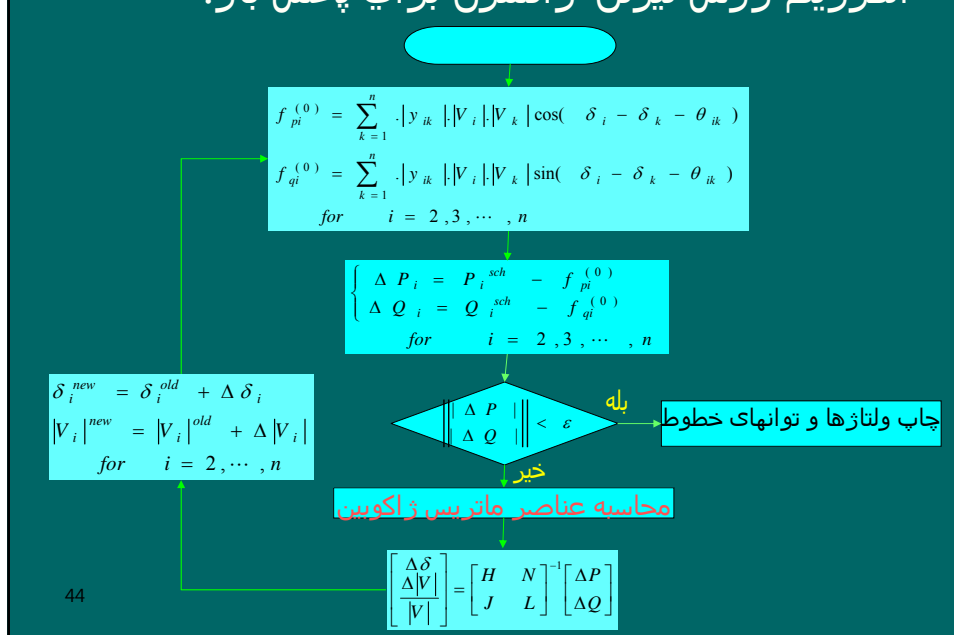
$$N_{ii} = |V_i| \left(\frac{\partial f_{pi}}{\partial |V_i|} \right)^{(0)} = f_{pi}^{(0)} + G_{ii} |V_i|^2 \quad N_{ik} = |V_k| \left(\frac{\partial f_{pi}}{\partial |V_k|} \right)^{(0)} = -J_{ik} \quad \text{for } k \neq i$$

$$L_{ii} = |V_i| \left(\frac{\partial f_{qi}}{\partial |V_i|} \right)^{(0)} = f_{qi}^{(0)} - B_{ii} |V_i|^2 \quad L_{ik} = |V_k| \left(\frac{\partial f_{qi}}{\partial |V_k|} \right)^{(0)} = H_{ik} \quad \text{for } k \neq i$$

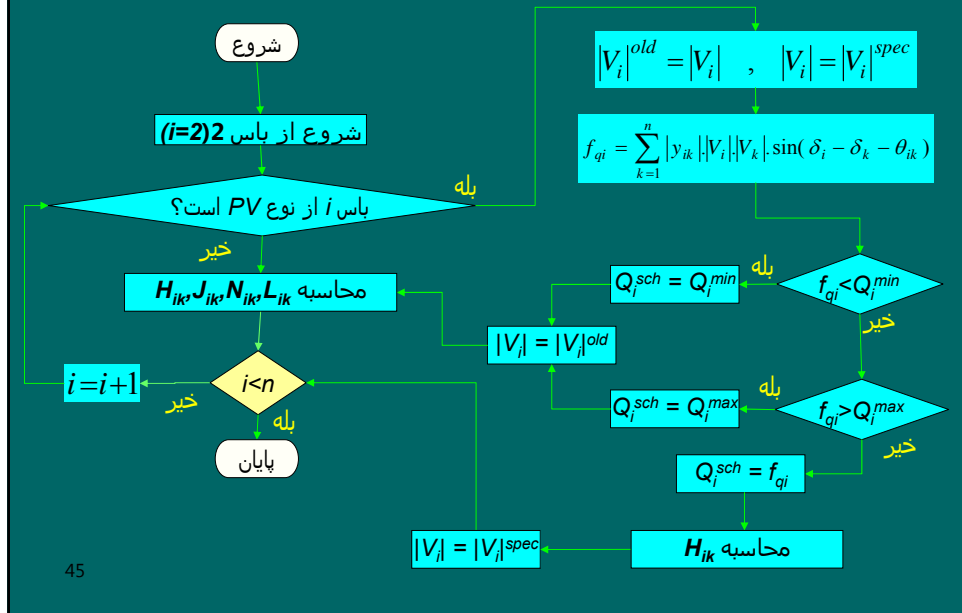
$$y_{ik} = G_{ik} + jB_{ik}$$

43

الگوريتم روش نيوتن-رافسون برای پخش بار:

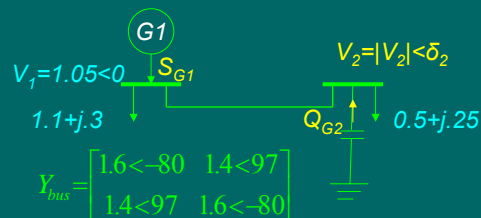


الگوريتم محاسبه عناصر ماترييس ژاكوبين :



45

مثال 1-6: پخش بار به روش نیوتن رافسون:



باس 1، باس مینا است. باس 2 از نوع PV، با $|V_2|^{spec} = 1.01$ می باشد. ولتاژ باس 2 را پس از یک مرحله تکرار به روش نیوتن-رافسون پیدا کنید؟ وقته که :

$$\begin{aligned} \text{(الف)} \quad 0.05 \leq Q_{G2} \leq 0.37 \\ \text{(ب)} \quad 0.2 \leq Q_{G2} \leq 0.4 \end{aligned}$$

: حل:

46

حل الف :

محاسبه توانهای تزریقی باسها:

$$P_2^{sch} = P_{G2} - P_{D2} = 0 - 0.5 = -0.5$$

$$0.05 \leq Q_{G2} \leq 0.37$$



$$0.05 - 0.25 \leq Q_2^{sch} = Q_{G2} - Q_{D2} \leq 0.37 - 0.25$$



$$-0.2 \leq Q_2^{sch} \leq 0.12$$

$$V_1 = 1.05 < 0$$

$$V_2 = |V_2|^{spec} < 0 = 1.01 < 0$$

تکرار اول:

$$\begin{aligned} f_{p2}^{(0)} &= \sum_{k=1}^n |y_{2k}| |V_2| |V_k| \cos(\delta_2 - \delta_k - \theta_{2k}) \\ &= |y_{21}| |V_2| |V_1| \cos(\delta_2 - \delta_1 - \theta_{21}) + |y_{22}| |V_2| |V_2| \cos(\delta_2 - \delta_2 - \theta_{22}) \\ &= 1.4 \times 1.01 \times 1.05 \times \cos(0 - 0 - 97) + 1.6 \times 1.01 \times 1.01 \times \cos(0 - 0 + 80) = 0.1025 \end{aligned}$$

47

ادامه حل :

$$\begin{aligned} f_{q2}^{(0)} &= \sum_{k=1}^n |y_{2k}| |V_2| |V_k| \sin(\delta_2 - \delta_k - \theta_{2k}) \\ &= |y_{21}| |V_2| |V_1| \sin(\delta_2 - \delta_1 - \theta_{21}) + |y_{22}| |V_2| |V_2| \sin(\delta_2 - \delta_2 - \theta_{22}) \\ &= 1.4 \times 1.01 \times 1.05 \times \sin(0 - 0 - 97) + 1.6 \times 1.01 \times 1.01 \times \sin(0 - 0 + 80) = 0.1337 \end{aligned}$$

چون $0.12 < f_{q2}^{(0)} = 0.1337 > Q_2^{sch}_{max} = 0.12$ در بازه Q_2^{sch} قرار ندارد بنابراین:

توانایی کنترل ولتاژ را ندارد

$$\Delta P_2 = P_2^{sch} - f_{p2}^{(0)} = -0.5 - 0.1025 = -0.6025$$

$$\Delta Q_2 = Q_2^{sch} - f_{q2}^{(0)} = 0.12 - 0.1337 = -0.0137$$

$$H_{22} = -f_{q2}^{(0)} - B_{22} |V_2|^2 = -0.1337 - 1.6 \sin(-80)(1.01)^2 = 1.4737$$

$$J_{22} = f_{p2}^{(0)} - G_{22} |V_2|^2 = 0.1025 - 1.6 \cos(-80)(1.01)^2 = -0.1809$$

$$N_{22} = f_{p2}^{(0)} + G_{22} |V_2|^2 = 0.1025 + 1.6 \cos(-80)(1.01)^2 = 0.3859$$

$$L_{22} = f_{q2}^{(0)} - B_{22} |V_2|^2 = 0.1337 - 1.6 \sin(-80)(1.01)^2 = 1.7411$$

ادامه حل :

$$\begin{bmatrix} \Delta\delta_2 \\ \Delta|V_2| \end{bmatrix} = \begin{bmatrix} H_{22} & N_{22} \\ J_{22} & L_{22} \end{bmatrix}^{-1} \begin{bmatrix} \Delta P_2 \\ \Delta Q_2 \end{bmatrix} = \begin{bmatrix} 1.4737 & 0.3859 \\ -0.1809 & 1.7411 \end{bmatrix}^{-1} \begin{bmatrix} -0.6025 \\ -0.0137 \end{bmatrix} = \begin{bmatrix} -0.3960 \text{ rad} \\ -0.0490 \end{bmatrix}$$

$$\delta_2^{new} = \delta_2^{old} + \Delta\delta_2 = 0 + (-0.3960) = -0.3960 \text{ rad} = -22.69^\circ$$

$$|V_2|^{new} = |V_2|^{old} + \Delta|V_2| = 1.01 + \underbrace{1.01 \times (-0.0490)}_{\Delta|V_2|} = 0.96051$$

ولتاژ باس 2 پس از یک مرحله تکرار:

$$\begin{aligned} P_1^{sch} &= f_{p1}^{(0)} = \sum_{k=1}^n |y_{ik}| |V_1| |V_k| \cos(\delta_i - \delta_k - \theta_{ik}) \\ &= |y_{11}| |V_1| |V_1| \cos(\delta_1 - \delta_1 - \theta_{11}) + |y_{12}| |V_1| |V_2| \cos(\delta_1 - \delta_2 - \theta_{12}) \\ &= 1.6 \times 1.05 \times 1.05 \times \cos(0 - 0 + 80) + 1.4 \times 1.05 \times 0.96051 \times \cos(0 + 22.69 - 97) = 0.69 \\ P_1^{sch} &= P_{G1} - P_{D1} \\ 49P_{G1} &= P_1^{sch} + P_{D1} = 0.69 + 1.1 = 1.79 \end{aligned}$$

حل ب :

$$P_2^{sch} = P_{G2} - P_{D2} = 0 - 0.5 = -0.5$$

محاسبه توانهای تزریقی باسها:

$$0.2 \leq Q_{G2} \leq 0.4$$



$$0.2 - 0.25 \leq Q_2^{sch} = Q_{G2} - Q_{D2} \leq 0.4 - 0.25$$



$$-0.05 \leq Q_2^{sch} \leq 0.15$$

$$V_1 = 1.05 < 0 \quad V_2 = |V_2|^{spec} < 0 = 1.01 < 0 \quad \text{Tکرار اول:}$$

$$f_{p2}^{(0)} = 1.4 \times 1.01 \times 1.05 \times \cos(0 - 0 - 97) + 1.6 \times 1.01 \times 1.01 \times \cos(0 - 0 + 80) = 0.1025$$

$$f_{q2}^{(0)} = 1.4 \times 1.01 \times 1.05 \times \sin(0 - 0 - 97) + 1.6 \times 1.01 \times 1.01 \times \sin(0 - 0 + 80) = 0.1337$$

ادامه حل :

$Q_2^{sch} = f_{q2}^{(0)} = 0.1337$ در بازه Q_2^{sch} قرار دارد بنابراین: $f_{q2} = 0.1337$
و باس 2 توانانی کنترل ولتاژ را دارد و $|V_2| = |V_2|^{spec} = 1.01$ و

$$\Delta P_2 = P_2^{sch} - f_{p2}^{(0)} = -0.5 - 0.1025 = -0.6025$$

$$\Delta Q_2 = Q_2^{sch} - f_{q2}^{(0)} = 0.1337 - 0.1337 = 0$$

$$H_{22} = -f_{q2}^{(0)} - B_{22} |V_2|^2 = -0.1337 - 1.6 \sin(-80)(1.01)^2 = 1.4737$$

51

ادامه حل :

$$\begin{bmatrix} \Delta\delta_2 \\ \frac{\Delta|V_2|}{|V_2|} \end{bmatrix} = \begin{bmatrix} H_{22} & N_{22} \\ J_{22} & L_{22} \end{bmatrix}^{-1} \begin{bmatrix} \Delta P_2 \\ \Delta Q_2 \end{bmatrix}$$

$$\Delta\delta_2 = H_{22}^{-1} \Delta P_2 = (1.4737)^{-1} (-0.6025) = -0.4088 rad$$

$$\delta_2^{new} = \delta_2^{old} + \Delta\delta_2 = 0 + (-0.4088) = -0.4088 rad = -23.42^\circ$$

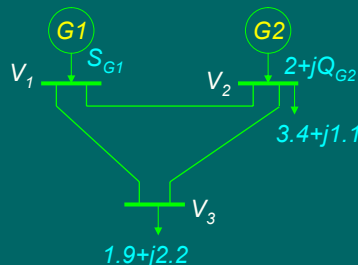
$$|V_2|^{new} = |V_2|^{old} + \Delta|V_2| = 1.01 + 0 = 1.01$$

ولتاژ باس 2 پس از یک مرحله تکرار:

$$V_2 = 1.01 < -23.42^\circ$$

52

تمرین:



در سیستم قدرت فوق ادمیتانسها مدل پی تمام خطوط عبارتند از :

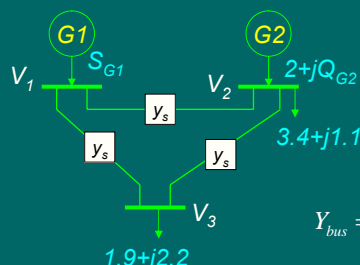
$$y_s = -j8.7 \quad y_p = 0$$

$$\begin{aligned} & V_1 = 1.02 < 0 \\ & 1 \leq Q_{G2} \leq 2 \quad \text{برای} \quad |V_2|^{spec} = 1.01 \quad \text{با} \end{aligned}$$

ولتاژ باسه‌ای 2 و 3 را پس از یک مرحله تکرار به روش نیوتن-رافسون پیدا کنید؟

53

حل تمرین :



محاسبه ماتریس ادمیتانس باسه‌ها:

$$Y_{bus} = \begin{bmatrix} 2y_s & -y_s & -y_s \\ -y_s & 2y_s & -y_s \\ -y_s & -y_s & 2y_s \end{bmatrix} = \begin{bmatrix} -j17.4 & j8.7 & j8.7 \\ j8.7 & -j17.4 & j8.7 \\ j8.7 & j8.7 & -j17.4 \end{bmatrix}$$

محاسبه توانهای تزریقی باسه‌ها:

$$P_{2sch} = P_{G2} - P_{D2} = 2 - 3.4 = -1.4$$

$$1 \leq Q_{G2} \leq 2$$

$$P_{3sch} = P_{G3} - P_{D3} = 0 - 1.9 = -1.9$$

$$Q_{3sch} = Q_{G3} - Q_{D3} = 0 - 2.2 = -2.2$$

$$1 - 1.1 \leq Q_2^{sch} = Q_{G2} - Q_{D2} \leq 2 - 1.1$$

$$-0.1 \leq Q_2^{sch} \leq 0.9$$

54

ادامه حل تمرین : تکرار اول

$$V_1 = 1.02 < 0 \quad V_2 = |V_2|^{spec} < 0 = 1.01 < 0 \quad V_3 = 1 < 0$$

$$\begin{aligned} f_{q2}^{(0)} &= \sum_{k=1}^n |y_{2k}| |V_2| |V_k| \sin(\delta_2 - \delta_k - \theta_{2k}) \\ &= |y_{21}| |V_2| |V_1| \sin(\delta_2 - \delta_1 - \theta_{21}) + |y_{22}| |V_2| |V_2| \sin(\delta_2 - \delta_2 - \theta_{22}) + |y_{23}| |V_2| |V_3| \sin(\delta_2 - \delta_3 - \theta_{23}) \\ &= 8.7 \times 1.01 \times 1.02 \times \sin(0 - 0 - 90) + 17.4 \times 1.01 \times 1.01 \times \sin(0 - 0 + 90) + 8.7 \times 1.01 \times 1 \times \sin(0 - 0 - 90) \\ &= 0 \end{aligned}$$

$Q_2^{sch} = f_{q2}^{(0)} = 0$ در بازه قرار دارد بنابراین: $-0.1 < f_{q2} = 0 < 0.9$

$$\begin{aligned} f_{p2}^{(0)} &= \sum_{k=1}^n |y_{2k}| |V_2| |V_k| \cos(\delta_2 - \delta_k - \theta_{2k}) \\ &= |y_{21}| |V_2| |V_1| \cos(\delta_2 - \delta_1 - \theta_{21}) + |y_{22}| |V_2| |V_2| \cos(\delta_2 - \delta_2 - \theta_{22}) + |y_{23}| |V_2| |V_3| \cos(\delta_2 - \delta_3 - \theta_{23}) \\ &= 8.7 \times 1.01 \times 1.02 \times \cos(0 - 0 - 90) + 17.4 \times 1.01 \times 1.01 \times \cos(0 - 0 + 90) + 8.7 \times 1.01 \times 1 \times \cos(0 - 0 - 90) \\ &= 0 \end{aligned}$$

$$\begin{aligned} \Delta P_2 &= P_2^{sch} - f_{p2}^{(0)} = -1.4 - 0 = -1.4 \\ \Delta Q_2 &= Q_2^{sch} - f_{q2}^{(0)} = 0 - 0 = 0 \end{aligned}$$

ادامه حل تمرین :

$$\begin{aligned} f_{q3}^{(0)} &= \sum_{k=1}^n |y_{3k}| |V_3| |V_k| \sin(\delta_3 - \delta_k - \theta_{3k}) \\ &= |y_{31}| |V_3| |V_1| \sin(\delta_3 - \delta_1 - \theta_{31}) + |y_{32}| |V_3| |V_2| \sin(\delta_3 - \delta_2 - \theta_{32}) + |y_{33}| |V_3| |V_3| \sin(\delta_3 - \delta_3 - \theta_{33}) \\ &= 8.7 \times 1 \times 1.02 \times \sin(0 - 0 - 90) + 8.7 \times 1 \times 1.01 \times \sin(0 - 0 - 90) + 17.47 \times 1 \times 1 \times \sin(0 - 0 + 90) \\ &= -0.261 \end{aligned}$$

$$\begin{aligned} f_{p3}^{(0)} &= \sum_{k=1}^n |y_{3k}| |V_3| |V_k| \cos(\delta_3 - \delta_k - \theta_{3k}) \\ &= |y_{31}| |V_3| |V_1| \cos(\delta_3 - \delta_1 - \theta_{31}) + |y_{32}| |V_3| |V_2| \cos(\delta_3 - \delta_2 - \theta_{32}) + |y_{33}| |V_3| |V_3| \cos(\delta_3 - \delta_3 - \theta_{33}) \\ &= 8.7 \times 1 \times 1.02 \times \cos(0 - 0 - 90) + 8.7 \times 1 \times 1.01 \times \cos(0 - 0 - 90) + 17.47 \times 1 \times 1 \times \cos(0 - 0 + 90) \\ &= 0 \end{aligned}$$

$$\begin{aligned} \Delta P_3 &= P_3^{sch} - f_{p3}^{(0)} = -1.9 - 0 = -1.9 \\ \Delta Q_3 &= Q_3^{sch} - f_{q3}^{(0)} = -2.2 - (-0.261) = -1.939 \end{aligned}$$

56

ادامه حل تمرین :

$$\begin{bmatrix} \Delta P_2 \\ \Delta P_3 \\ \Delta Q_2 = 0 \\ \Delta Q_3 \end{bmatrix} = \begin{bmatrix} H_{22} & H_{23} & N_{22} & N_{23} \\ H_{32} & H_{33} & N_{32} & N_{33} \\ J_{22} & J_{23} & L_{22} & L_{23} \\ J_{32} & J_{33} & L_{32} & L_{33} \end{bmatrix} \begin{bmatrix} \Delta \delta_2 \\ \Delta \delta_3 \\ \frac{\Delta |V_2|}{|V_2|} = 0 \\ \frac{\Delta |V_3|}{|V_3|} \end{bmatrix}$$

سطر سوم و ستون سوم را حذف می کنیم:

$$\begin{bmatrix} \Delta P_2 \\ \Delta P_3 \\ \Delta Q_3 \end{bmatrix} = \begin{bmatrix} H_{22} & H_{23} & N_{23} \\ H_{32} & H_{33} & N_{33} \\ J_{32} & J_{33} & L_{33} \end{bmatrix} \begin{bmatrix} \Delta \delta_2 \\ \Delta \delta_3 \\ \frac{\Delta |V_3|}{|V_3|} \end{bmatrix}$$

57

ادامه حل تمرین :

$$\begin{aligned} H_{22} &= -f_{q2}^{(0)} - B_{22}|V_2|^2 = -0 - (-17.4) \times (1.01)^2 = 17.7497 \\ H_{33} &= -f_{q3}^{(0)} - B_{33}|V_3|^2 = -(-0.261) - (-17.4) \times (1)^2 = 17.661 \\ H_{23} &= |y_{23}| |V_2| |V_3| \sin(\delta_2 - \delta_3 - \theta_{23}) = 8.7 \times 1.01 \times 1 \times \sin(0 - 0 - 90) = -8.787 \\ H_{32} &= |y_{32}| |V_3| |V_2| \sin(\delta_3 - \delta_2 - \theta_{32}) = 8.7 \times 1 \times 1.01 \times \sin(0 - 0 - 90) = -8.787 \\ J_{32} &= -|y_{32}| |V_3| |V_2| \cos(\delta_3 - \delta_2 - \theta_{32}) = -8.7 \times 1 \times 1.01 \times \cos(0 - 0 - 90) = 0 \\ N_{23} &= -J_{23} = -(|y_{23}| |V_2| |V_3| \cos(\delta_2 - \delta_3 - \theta_{23})) = -(8.7 \times 1.01 \times 1 \times \cos(0 - 0 - 90)) = 0 \\ N_{33} &= f_{p3}^{(0)} + G_{33}|V_3|^2 = 0 + 0 \times 1^2 = 0 \\ J_{33} &= f_{p3}^{(0)} - G_{33}|V_3|^2 = 0 - 0 \times 1^2 = 0 \\ L_{33} &= f_{q3}^{(0)} - B_{33}|V_3|^2 = (-0.261) - (-17.4) \times (1)^2 = 17.139 \end{aligned}$$

58

ادامه حل تمرین :

$$\begin{bmatrix} \Delta P_2 \\ \Delta P_3 \\ \Delta Q_3 \end{bmatrix} = \begin{bmatrix} H_{22} & H_{23} & N_{23} \\ H_{32} & H_{33} & N_{33} \\ J_{32} & J_{33} & L_{33} \end{bmatrix} \begin{bmatrix} \Delta \delta_2 \\ \Delta \delta_3 \\ \frac{\Delta V_3}{|V_3|} \end{bmatrix}$$

$$\begin{bmatrix} -1.4 \\ -1.9 \\ -1.939 \end{bmatrix} = \begin{bmatrix} 17.7497 & -8.787 & 0 \\ -8.787 & 17.661 & 0 \\ 0 & 0 & 17.139 \end{bmatrix} \begin{bmatrix} \Delta \delta_2 \\ \Delta \delta_3 \\ \frac{\Delta V_3}{|V_3|} \end{bmatrix}$$

59

ادامه حل تمرین :

$$\begin{bmatrix} \Delta \delta_2 \\ \Delta \delta_3 \\ \frac{\Delta V_3}{|V_3|} \end{bmatrix} = \begin{bmatrix} 17.7497 & -8.787 & 0 \\ -8.787 & 17.661 & 0 \\ 0 & 0 & 17.139 \end{bmatrix}^{-1} \begin{bmatrix} -1.4 \\ -1.9 \\ -1.939 \end{bmatrix} = \begin{bmatrix} -0.1753 \\ -0.1948 \\ -0.1131 \end{bmatrix}$$

$$\delta_2^{new} = \delta_2^{old} + \Delta \delta_2 = 0 + (-0.1753) = -0.1753 \text{ rad} = -10.04^\circ$$

$$\delta_3^{new} = \delta_3^{old} + \Delta \delta_3 = 0 + (-0.1948) = -0.1948 \text{ rad} = -11.16^\circ$$

$$|V_3|^{new} = |V_3|^{old} + \Delta |V_3| = 1 + (-0.1131) \times 1 = 0.8869$$

$$V_1 = 1.02 < 0 \quad V_2 = 1.01 < -10.04^\circ \quad V_3 = 0.8869 < -11.16^\circ$$

60

مقایسه روش‌های گوس-سایدل و نیوتن-رافسون:

روش نیوتن-رافسون-	روش گوس-سایدل	معیار مقایسه
کم (3 الی 6 تکرار)	زیاد	تعداد تکرار برای حصول همگرایی
زیاد	کم	زمان لازم برای محاسبات هر تکرار
بسیار دقیق	کمتر	دقت جواب
بسیار زیاد	کمتر	قابلیت اطمینان برای حصول همگرایی
بیچیده	ساده	سهولت برنامه نویسی کامپیوتر
زیاد	کمتر	حافظه لازم برای ذخیره داده‌ها

61

: پخش بار دکوپله (*Decoupled*)

نتایج تجربی پخش بار نشان می‌دهند که P و δ بمزیان زیادی به هم وابسته بوده و تغییرات Q و $|V|$ تاثیر زیادی روی آنها ندارند. همچنین Q و $|V|$ نیز وابستگی زیادی به یکدیگر داشته و با تغییرات P و δ چندان تغییر نمی‌کنند. بنابراین تقریب‌های زیر را در روابط اعمال می‌کنیم:

$$\begin{bmatrix} \Delta P \\ \Delta Q \end{bmatrix} = \begin{bmatrix} H & N \\ J & L \end{bmatrix} \begin{bmatrix} \Delta \delta \\ \frac{\Delta |V|}{|V|} \end{bmatrix} \rightarrow \begin{cases} \Delta P = H \cdot \Delta \delta + N \cdot \frac{\Delta |V|}{|V|} \\ \Delta Q = J \cdot \Delta \delta + L \cdot \frac{\Delta |V|}{|V|} \end{cases} \rightarrow \begin{cases} \Delta P \approx H \cdot \Delta \delta \\ \Delta Q \approx L \cdot \frac{\Delta |V|}{|V|} \end{cases}$$

با تقریب‌های فوق سرعت محاسبات افزایش و حجم حافظه لازم برای ذخیره سازی متغیرها کاهش خواهد یافت ولی دقت جوابهای بدست آمده کمتر خواهد شد.

62

پخش بار دکوپله سریع (*Fast-Decoupled*)

علاوه بر تقریب روش دکوپله، اختلاف زوایای ولتاژ صفر فرض می شوند.
بنابراین:

$$\delta_i - \delta_k \approx 0$$

$$H_{ik} = \left(\frac{\partial f_{pi}}{\partial \delta_k} \right)^{(0)} = |y_{ik}| |V_i| |V_k| \sin(0 - \theta_{ik}) = -B_{ik} |V_i| |V_k| \quad \text{for } k \neq i$$

$$H_{ii} = \left(\frac{\partial f_{pi}}{\partial \delta_i} \right)^{(0)} = - \sum_{\substack{k=1 \\ k \neq i}}^n |y_{ik}| |V_i| |V_k| \sin(0 - \theta_{ik}) = -f_{qi}^{(0)} - B_{ii} |V_i|^2$$

$$L_{ii} = |V_i| \left(\frac{\partial f_{qi}}{\partial |V_i|} \right)^{(0)} = f_{qi}^{(0)} - B_{ii} |V_i|^2$$

$$L_{ik} = |V_k| \left(\frac{\partial f_{qi}}{\partial |V_k|} \right)^{(0)} = H_{ik} \quad \text{for } k \neq i$$

63

پخش بار مستقیم (*DC*)

هدف: محاسبه بسیار سریع و تقریبی توان اکتیو انتقالی خطوط
فرضهای ساده سازی:

- از مولفه حقیقی امپدانس خطوط (R_{ik}) سرفظیر می شود.

- دامنه ولتاژ تمام باسها یک پریونیت فرض می شود.

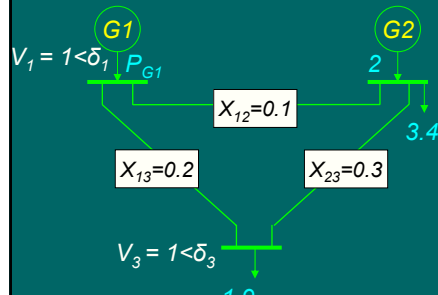
- $\cos(\delta_i - \delta_k) \approx 1$ و $\sin(\delta_i - \delta_k) \approx \delta_i - \delta_k$
با فرضهای فوق می توان ثابت نمود که توان انتقالی خطوط از رابطه زیر بدست
می آید:



که P_{ik} توان انتقالی خط بین باسهای i و k و X_{ik} را کانس خط بین باسهای i و k است
 δ_i و δ_k زوایای ولتاژ باسهای i و k بر حسب رادیان هستند.

64

مثال 1-7-1: پخش بار



$$P_2 = P_{21} + P_{23} \quad \text{حل}$$

$$P_{G2} - P_{D2} = \frac{\delta_2 - \delta_1}{X_{21}} + \frac{\delta_2 - \delta_3}{X_{23}}$$

$$2 - 1.4 = \frac{0 - 0}{0.1} + \frac{0 - \delta_3}{0.3}$$

$$P_3 = P_{31} + P_{32}$$

$$P_{G3} - P_{D3} = \frac{\delta_3 - \delta_1}{X_{31}} + \frac{\delta_3 - \delta_2}{X_{32}}$$

$$0 - 1.9 = \frac{0 - 0}{0.2} + \frac{\delta_3 - \delta_2}{0.3}$$

$$\begin{bmatrix} -1.4 \\ -1.9 \end{bmatrix} = \begin{bmatrix} \frac{1}{0.1} + \frac{1}{0.3} & -\frac{1}{0.3} \\ -\frac{1}{0.3} & \frac{1}{0.2} + \frac{1}{0.3} \end{bmatrix} \begin{bmatrix} \delta_2 \\ \delta_3 \end{bmatrix} \Rightarrow \begin{bmatrix} \delta_2 \\ \delta_3 \end{bmatrix} = \begin{bmatrix} \frac{1}{0.1} + \frac{1}{0.3} & -\frac{1}{0.3} \\ -\frac{1}{0.3} & \frac{1}{0.2} + \frac{1}{0.3} \end{bmatrix}^{-1} \begin{bmatrix} -1.4 \\ -1.9 \end{bmatrix}$$

$$\begin{bmatrix} \delta_2 \\ \delta_3 \end{bmatrix} = \begin{bmatrix} 13.333 & -3.333 \\ -3.333 & 8.333 \end{bmatrix}^{-1} \begin{bmatrix} -1.4 \\ -1.9 \end{bmatrix} = \begin{bmatrix} -0.18 \\ -0.30 \end{bmatrix}$$

$$P_{21} = \frac{\delta_2 - \delta_1}{X_{21}} = \frac{-0.18 - 0}{0.1} = -1.8 \quad P_{13} = \frac{\delta_3 - \delta_1}{X_{13}} = \frac{0 - (-0.30)}{0.2} = 1.5 \quad P_{23} = \frac{\delta_2 - \delta_3}{X_{23}} = \frac{-0.18 - (-0.30)}{0.3} = 0.4$$

$$P_1 = P_{12} + P_{13} = 1.8 + 1.5 = 3.3$$

فصل دوم: پخش بار اقتصادی

در پخش بار اقتصادی هدف آن است هدف آن است که سیستم قدرت بطریقی بهره برداری شود که همه بارها با حداقل هزینه تامین شوند.

تابع هزینه:

هزینه متغیر (سوخت) + هزینه ثابت = هزینه کل

- در نیروگاههای آبی با تغییر توان تولیدی ژنراتورها، هزینه تولید تغییر نمی نماید.

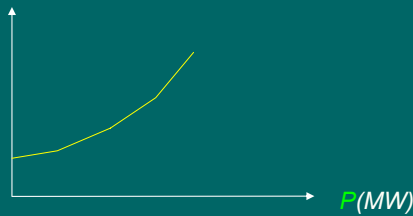
- در نیروگاههای حرارتی، با افزایش توان تولیدی ژنراتورها، سوخت و در نتیجه هزینه افزایش می یابد.

- تابع هزینه یک واحد حرارتی معمولاً بصورت یک معادله درجه 2 مدلسازی می شود:

$$Cost (\$/h = \$/Mj * Mj/h)$$

$$C = \alpha + \beta \cdot P + \gamma \cdot P^2$$

67



مساله پخش بار اقتصادی:

$$\text{Minimize} \quad C = \sum_{i=1}^n C_i(P_{Gi}) \quad \text{: تابع هدف}$$

$$\sum_{i=1}^n P_{Gi} - \sum_{i=1}^n P_{Di} - P_{Loss} = 0 \quad \text{: قید تساوی}$$

$$P_{Gi \min} \leq P_{Gi} \leq P_{Gi \max} \quad i = 1, 2, \dots, n \quad \text{: قیود نامساوی}$$

توانهای تولیدی ژنراتور (P_{Gi}) ها را باید تعیین کنیم.

68

مساله پخش بار اقتصادی با صرفنظر از تلفات و قیود نامساوی:

- اگر طول خطوط کوتاه باشند می توان از تلفات خطوط صرفنظر کرد.
- فرض می کنیم P_{Gi} هر مقداری می توانند باشند، یعنی قیود نامساوی وجود ندارند.
- بنابراین مساله پخش بار اقتصادی بصورت زیر ساده می شود.

$$\begin{aligned} \text{Minimize} \quad C &= \sum_{i=1}^n C_i(P_{Gi}) \\ \sum_{i=1}^n P_{Gi} - \underbrace{\sum_{i=1}^n P_{Di}}_{P_D} &= 0 \end{aligned}$$

69

حل مساله پخش بار اقتصادی با صرفنظر از تلفات و قیود نامساوی:

از روش لاگرانژ استفاده می کیم. برطبق این روش تابع هدف هزینه تعییم یافته

$$C^* = \underbrace{\sum_{k=1}^n C_k(P_{Gk})}_{\text{هزینه}} - \lambda \left(\sum_{k=1}^n P_{Gk} - P_D \right)$$

- λ را ضریب لاگرانژ گویند.

- شرط کمینه بودن C^* آن است که مشتق جزئی آن نسبت به تمام متغیرهای آن یعنی P_{Gi} و λ صفر باشند:

$$\begin{cases} \frac{\partial C^*}{\partial P_{Gi}} = \frac{\partial C_i(P_{Gi})}{\partial P_{Gi}} - \lambda = 0 \Rightarrow \lambda = \frac{\partial C_i(P_{Gi})}{\partial P_{Gi}} = IC_i \\ \frac{\partial C^*}{\partial \lambda} = 0 \Rightarrow \sum_{i=1}^n P_{Gi} - P_D = 0 \end{cases}$$

IC_i را هزینه افزایشی تولید واحد گویند.

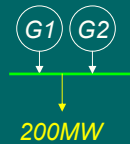
بنابراین: شرط بینه بودن پاسخ آن است که اولاً هزینه افزایشی تمام واحدها یکسان برابر باشند ($IC_1 = IC_2 = \dots = IC_n$). ثانیاً شرط تساوی برقرار باشد.

70

مثال 2-1: پختش بار اقتصادی:

توابع هزینه افزونی دو واحد در یک نیروگاه بصورت زیر است. در صورتیکه مجموع بار مصرفی نیروگاه **200 مگاوات** باشد، توزیع اقتصادی بار را بین دو ژنراتور بدست آورید.

$$\begin{aligned} IC_1 &= 750 + 0.8 P_{G1} \\ IC_2 &= 600 + P_{G2} \end{aligned}$$



: حل

$$\begin{cases} IC_1 = \lambda \Rightarrow 750 + 0.8P_{G1} = \lambda \Rightarrow P_{G1} = \frac{\lambda - 750}{0.8} \\ IC_2 = \lambda \Rightarrow 600 + P_{G2} = \lambda \Rightarrow P_{G2} = \lambda - 600 \\ P_{G1} + P_{G2} - P_D = 0 \Rightarrow \frac{\lambda - 750}{0.8} + \lambda - 600 = 200 \Rightarrow \lambda = 772.22 \end{cases}$$

$$\lambda = 772.2$$

$$71 \quad \begin{cases} P_{G2} = \lambda - 600 = 772.22 - 600 = 172.22 \\ P_{G1} = \frac{\lambda - 750}{0.8} = \frac{772.22 - 750}{0.8} = 27.78 \end{cases}$$

در نظر گرفتن قیود نامساوی در پختش بار اقتصادی :

با یک مثال توضیح می دهیم.
مثال 2-2) توابع هزینه افزونی سه نیروگاه بصورت زیر است. در صورتیکه مجموع بار مصرفی سه نیروگاه **200 مگاوات** باشد، توزیع اقتصادی بار را بین سه نیروگاه بدست آورید.

$$P_{G1} = 50 IC_1 - 30 \quad 10 Mw \leq P_{G1} \leq 70 Mw$$

$$P_{G2} = 40 IC_2 - 20 \quad 10 Mw \leq P_{G2} \leq 60 Mw$$

$$P_{G3} = 70 IC_3 - 10 \quad 30 Mw \leq P_{G3} \leq 90 Mw$$

$$IC_1 = IC_2 = IC_3 = \lambda$$

$$\begin{cases} P_{G1} = 50\lambda - 30 \\ P_{G2} = 40\lambda - 20 \\ P_{G3} = 70\lambda - 10 \end{cases}$$

$$\lambda = 2 \Rightarrow \begin{cases} P_{G1} = 50 \times 2 - 30 = 70 \\ P_{G2} = 40 \times 2 - 20 = 60 \\ P_{G3} = 70 \times 2 - 10 = 130 \end{cases}$$

$$\begin{cases} P_{G3} = 70\lambda - 10 \\ P_{G1} + P_{G2} + P_{G3} = P_D \\ \sum P_G = 70 + 60 + 90 = 220 \\ P_D = 200 \end{cases} \Rightarrow P_{G3} = P_{G3}^{\max} = 90$$

: حل

$$P_{G1} + P_{G2} + P_{G3} = P_D$$

$$\sum P_G = 70 + 60 + 90 = 220 > P_D = 200$$

ادامه حل:

$$\lambda = 1.5 \Rightarrow \begin{cases} P_{G1} = 50 \times 1.5 - 30 = 45 \\ P_{G2} = 40 \times 1.5 - 20 = 40 \\ P_{G3} = 70 \times 1.5 - 10 = 95 > P_{G3}^{\max} = 90 \Rightarrow P_{G3} = P_{G3}^{\max} = 90 \end{cases}$$

$$\sum P_G = 45 + 40 + 90 = 175 < P_D = 200$$

$$\frac{\lambda}{2} = \frac{\sum P_G}{200} \Rightarrow \frac{\lambda - 1.5}{200 - 175} = \frac{1.5 - 2}{175 - 220} \Rightarrow \lambda = 1.778$$

$$\lambda = 1.778 \Rightarrow \begin{cases} P_{G1} = 50 \times 1.778 - 30 = 58.9 \\ P_{G2} = 40 \times 1.778 - 20 = 51.12 \\ P_{G3} = 70 \times 1.778 - 10 = 114.46 > P_{G3}^{\max} = 90 \Rightarrow P_{G3} = P_{G3}^{\max} = 90 \end{cases}$$

$$\sum P_G = 58.9 + 51.12 + 90 = 200.02 \cong P_D = 200$$

$$P_{G1}^{opt} = 58.9 \quad P_{G2}^{opt} = 51.12 \quad P_{G3}^{opt} = 90$$

حل مساله فوق از روش مستقيمه:

$$IC_1 = IC_2 = IC_3 = \lambda$$

$$\begin{cases} P_{G1} = 50\lambda - 30 \\ P_{G2} = 40\lambda - 20 \\ P_{G3} = 70\lambda - 10 \\ P_{G1} + P_{G2} + P_{G3} = P_D \end{cases}$$

$$P_{G1} + P_{G2} + P_{G3} = P_D$$

$$(50\lambda - 30) + (40\lambda - 20) + (70\lambda - 10) = 200$$

$$160\lambda = 260$$

$$\lambda = 1.625$$

$$\begin{cases} P_{G1} = 50\lambda - 30 = 50(1.625) - 30 = 51.25 & \text{در محدوده مجاز است. } P_{G1} \\ P_{G2} = 40\lambda - 20 = 40(1.625) - 20 = 45 & \text{در محدوده مجاز است. } P_{G2} \\ P_{G3} = 70\lambda - 10 = 70(1.625) - 10 = 103.75 > P_{G3}^{\max} = 90 \Rightarrow P_{G3} = 90 & \end{cases}$$

ادامه حل مساله فوق از روش مستقیم:

$$P_{G3} = 90 \text{ MW}$$

$$P'_D = 200 - 90 = 110$$

$$P_{G1} + P_{G2} = P'_D$$

$$(50\lambda' - 30) + (40\lambda' - 20) = 110$$

$$90\lambda' = 160$$

$$\lambda' = 1.778$$

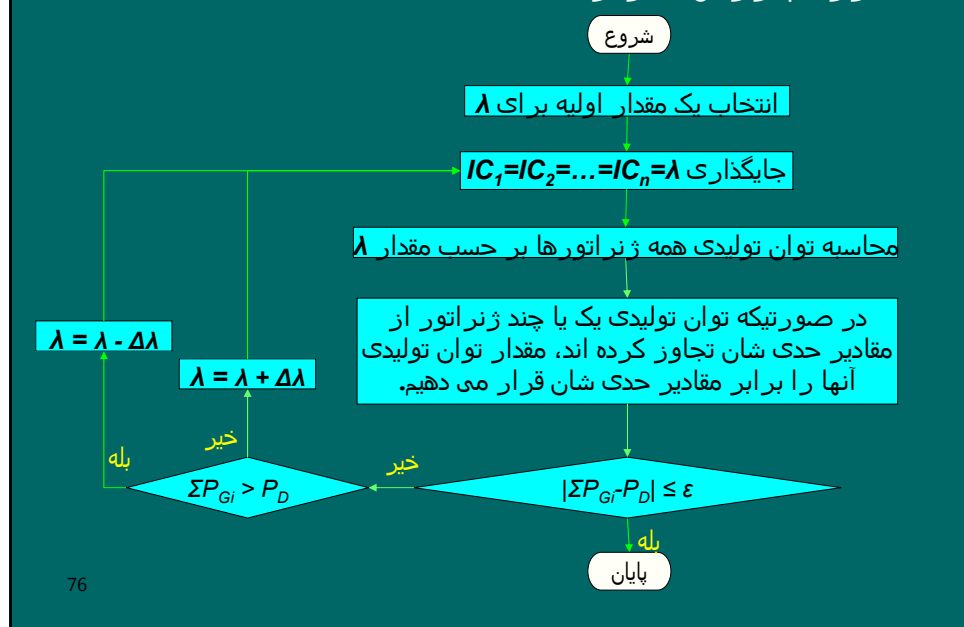
$$\begin{cases} P_{G1} = 50\lambda' - 30 = 50(1.778) - 30 = 58.9 \\ P_{G2} = 40\lambda' - 20 = 40(1.778) - 20 = 51.12 \end{cases}$$

در محدوده مجاز است.

$$P_{G1}^{opt} = 58.9 \quad P_{G2}^{opt} = 51.12 \quad P_{G3}^{opt} = 90$$

75

الگوریتم روش تکرار λ :



76

مساله پخش بار اقتصادی با در نظر گرفتن تلفات انتقال:

$$\text{Minimize} \quad C = \sum_{k=1}^n C_k(P_{Gk}) \quad \text{:تابع هدف:}$$

$$\sum_{k=1}^n P_{Gk} - P_D - P_{loss} = 0 \quad \text{:قید تساوی:}$$

$$P_{Gk\min} \leq P_{Gk} \leq P_{Gk\max} \quad k = 1, 2, \dots, n \quad \text{:قيود نامساوی:}$$

توانهای تولیدی ژنراتور (P_{Gi}) ها را باید تعیین کنیم.

77

حل مساله پخش بار اقتصادی با در نظر گرفتن تلفات:

از روش لاگرانژ استفاده می کیم. برطبق این روش تابع هدف هزینه تعیین یافته را بصورت زیر تعریف می کنیم:

$$C^* = C - \lambda \left(\sum_{k=1}^n P_{Gk} - P_D - P_{loss} \right) = \sum_{k=1}^n C_k(P_{Gk}) - \lambda \left(\sum_{k=1}^n P_{Gk} - P_D - P_{loss} \right)$$

- λ را ضریب لاگرانژ گویند.

- شرط کمینه بودن C^* آن است که مشتق جزئی آن نسبت به تمام متغیرهای آن یعنی

$$\begin{cases} \frac{\partial C^*}{\partial P_{Gi}} = \frac{\partial C_i(P_{Gi})}{\partial P_{Gi}} - \lambda \left(1 - \frac{\partial P_{loss}}{\partial P_{Gi}} \right) = 0 \Rightarrow \lambda = \frac{1}{1 - \frac{\partial P_{loss}}{\partial P_{Gi}}} \cdot \frac{\partial C_i(P_{Gi})}{\partial P_{Gi}} = \left(\frac{1}{1 - ITL_i} \right) IC_i = L_i IC_i \\ \frac{\partial C^*}{\partial \lambda} = 0 \Rightarrow \sum_{k=1}^n P_{Gk} - P_D - P_{loss} = 0 \end{cases}$$

را هزینه افزایشی تولید، ITL_i را تلفات نموی انتقال و L_i را ضریب جبران واحد آن گویند و با روابط زیر تعریف می شوند:

$$78 \quad IC_i = \frac{\partial C_i}{\partial P_{Gi}} \quad ITL_i = \frac{\partial P_{loss}}{\partial P_{Gi}} \quad L_i = \left(\frac{1}{1 - ITL_i} \right)$$

شروط بهینه بودن یک پاسخ در مساله پخش بار اقتصادی:

بنابراین : شرط بهینه بودن پاسخ آن است که

- اولاً حاصلضرب هزینه افزایشی در ضریب جران کلیه واحدها

$$\text{پکسان باشد} \quad (IC_1 \cdot L_1 = IC_2 \cdot L_2 = \dots = IC_n \cdot L_n = \lambda)$$

- ثانیاً شرط تساوی توازن توان برقرار باشد ($\sum P_{Gi} - P_D - P_{loss} = 0$) .

79

رابطه تقریبی تلفات انتقال و توانهای تولیدی:

می توان نشان داد که در حالت کلی در سیستم قدرتی با n ژنراتور، معادله تلفات را می توان بصورت رابطه تقریبی زیر بیان کرد:

$$P_{loss} = \sum_{i=1}^n \sum_{j=1}^n P_{Gi} B_{ij} P_{Gj}$$

شكل ماتریسی رابطه فوق:

$$P_{loss} = P^T \cdot B \cdot P \quad ; \quad P = \begin{bmatrix} P_{G1} \\ \vdots \\ P_{Gn} \end{bmatrix}, \quad B = \begin{bmatrix} B_{11} & \cdots & B_{1n} \\ \vdots & \ddots & \vdots \\ B_{n1} & \cdots & B_{nn} \end{bmatrix}$$

با استفاده از رابطه فوق می توان ITL_i و سپس L_i را بدست آورد.

80

رابطه P_G ها بر حسب P_{loss} را واحد:

$$P = \begin{bmatrix} P_{G1} \\ P_{G2} \end{bmatrix} \quad B = \begin{bmatrix} B_{11} & B_{12} \\ B_{21} & B_{22} \end{bmatrix}$$

$$P_{loss} = P^T \cdot B \cdot P = \begin{bmatrix} P_{G1} \\ P_{G2} \end{bmatrix}^T \begin{bmatrix} B_{11} & B_{12} \\ B_{21} & B_{22} \end{bmatrix} \begin{bmatrix} P_{G1} \\ P_{G2} \end{bmatrix}$$

$$P_{loss} = \begin{bmatrix} P_{G1} & P_{G2} \end{bmatrix} \begin{bmatrix} B_{11}P_{G1} + B_{12}P_{G2} \\ B_{21}P_{G1} + B_{22}P_{G2} \end{bmatrix}$$

$$P_{loss} = B_{11}P_{G1}^2 + B_{12}P_{G1}P_{G2} + B_{21}P_{G1}P_{G2} + B_{22}P_{G2}^2 = \sum_{i=1}^2 \sum_{j=1}^2 B_{ij}P_{Gi}P_{Gj}$$

$$P_{loss} = B_{11}P_{G1}^2 + (B_{12} + B_{21})P_{G1}P_{G2} + B_{22}P_{G2}^2$$

مثال 2-3: پخش بار اقتصادی با در نظر گرفتن تلفات



برای سیستم شکل مقابل، روابط زیر داده شده اند. توانهای تولیدی اقتصادی ژنراتورها را بیابید.

$$IC_1 = 800 + P_{G1}$$

$$IC_2 = 900 + 1.5 P_{G2}$$

$$P_{loss} = 0.0002 P_{G1}^2$$

: حل

$$\begin{cases} ITL_1 = \frac{\partial P_{loss}}{\partial P_{G1}} = 0.0004 P_{G1} \Rightarrow L_1 = \frac{1}{1 - ITL_1} = \frac{1}{1 - 0.0004 P_{G1}} \\ ITL_2 = \frac{\partial P_{loss}}{\partial P_{G2}} = 0 \Rightarrow L_2 = \frac{1}{1 - ITL_2} = 1 \end{cases}$$

ادامه حل مثال 3-2

$$\begin{cases} L_1 IC_1 = \lambda \Rightarrow (\frac{1}{1 - 0.0004 P_{G1}})(800 + P_{G1}) = \lambda \Rightarrow P_{G1} = \frac{\lambda - 800}{1 + 0.0004 \lambda} \\ L_2 IC_2 = \lambda \Rightarrow (1)(900 + 1.5 P_{G2}) = \lambda \Rightarrow P_{G2} = \frac{\lambda - 900}{1.5} \end{cases}$$

انتخاب λ اولیه:

$$P_{G2} = \frac{P_D}{2} = \frac{1200}{2} = 600 \Rightarrow \frac{\lambda - 900}{1.5} = 600 \Rightarrow \lambda = 1800$$

تکرار اول روش تکرار λ :

$$\lambda = 1800 \Rightarrow \begin{cases} P_{G1} = \frac{1800 - 800}{1 + 0.0004 \times 1800} = 581.40 \\ P_{G2} = \frac{1800 - 900}{1.5} = 600 \\ P_{loss} = 0.0002 P_{G1}^2 = 0.0002 (581.40)^2 = 67.60 \end{cases}$$

$$\sum_{i=1}^2 P_{Gi} - P_{loss} = (581.40 + 600) - 67.60 = 1113.8 < P_D = 1200$$

λ باید افزایش یابد.

83

ادامه حل مثال 3-2 روش تکرار λ : تکرار دوم

$$\lambda = 1900 \Rightarrow \begin{cases} P_{G1} = \frac{1900 - 800}{1 + 0.0004 \times 1900} = 625 \\ P_{G2} = \frac{1900 - 900}{1.5} = 666.67 \\ P_{loss} = 0.0002 P_{G1}^2 = 0.0002 (625)^2 = 78.13 \end{cases}$$

$$\sum_{i=1}^2 P_{Gi} - P_{loss} = (625 + 666.67) - 78.13 = 1213.54 > P_D = 1200$$

λ باید کاهش یابد.

$$\frac{\lambda}{1800} - \frac{\sum_{i=1}^2 P_{Gi} - P_{loss}}{1200 - 1213.54} \Rightarrow \frac{\lambda - 1900}{1200 - 1213.54} = \frac{1900 - 1800}{1213.54 - 1113.8} \Rightarrow \lambda = 1886.42$$

84

ادامه حل مثال 2-3:

تکرار سوم روش تکرار A

$$\lambda = 1886.42 \Rightarrow \begin{cases} P_{G1} = \frac{1886.42 - 800}{1 + 0.0004 \times 1886.42} = 619.20 \\ P_{G2} = \frac{1886.42 - 900}{1.5} = 657.61 \\ P_{loss} = 0.0002 P_{G1}^2 = 0.0002(619.20)^2 = 76.68 \end{cases}$$

$$\sum_{i=1}^2 P_{Gi} - P_{loss} = (619.20 + 657.61) - 76.68 = 1200.13 \approx P_D = 1200$$

جواب بهینه :

85 $P_{G1}^{opt} = 619.20 \quad P_{G2}^{opt} = 657.61 \quad P_{loss} = 76.68$

محاسبه ITL ها برای یک سیستم:

در حالت کلی تلفات تابعی از توانهای باسها و توانهای باسها تابعی از دامنه و زوایای ولتاژ باسها هستند. در پخش بار اقتصادی، دامنه ولتاژ ها را ثابت فرض می کنیم و بنابراین تلفات تابعی از زوایای ولتاژ باسها است.

$$P_i = \sum_{k=1}^n |y_{ik}| \|V_i\| V_k | \cos(\delta_i - \delta_k - \theta_{ik}) \quad for \quad i = 1, 2, \dots, n$$

$$\begin{cases} dP_2 = \frac{\partial P_2}{\partial \delta_2} d\delta_2 + \dots + \frac{\partial P_2}{\partial \delta_n} d\delta_n \\ \vdots \\ dP_n = \frac{\partial P_n}{\partial \delta_2} d\delta_2 + \dots + \frac{\partial P_n}{\partial \delta_n} d\delta_n \end{cases} \Rightarrow \begin{bmatrix} dP_2 \\ \vdots \\ dP_n \end{bmatrix} = \begin{bmatrix} \frac{\partial P_2}{\partial \delta_2} & \dots & \frac{\partial P_2}{\partial \delta_n} \\ \vdots & \ddots & \vdots \\ \frac{\partial P_n}{\partial \delta_2} & \dots & \frac{\partial P_n}{\partial \delta_n} \end{bmatrix} \begin{bmatrix} d\delta_2 \\ \vdots \\ d\delta_n \end{bmatrix}$$

$$d\vec{P} = \left[\frac{\partial P}{\partial \delta} \right] d\vec{\delta} \Rightarrow d\vec{\delta} = \left[\frac{\partial P}{\partial \delta} \right]^{-1} d\vec{P}$$

ادامه محاسبه ITL ها برای یک سیستم:

$$\begin{aligned}
 dP_1 &= \frac{\partial P_1}{\partial \delta_2} d\delta_2 + \dots + \frac{\partial P_1}{\partial \delta_n} d\delta_n = \left[\frac{\partial P_1}{\partial \delta_2} \quad \dots \quad \frac{\partial P_1}{\partial \delta_n} \right] \begin{bmatrix} d\delta_2 \\ \vdots \\ d\delta_n \end{bmatrix} \\
 &= \left[\frac{\partial P_1}{\partial \delta} \right]^T d\vec{\delta} = \left[\frac{\partial P_1}{\partial \delta} \right]^T \left(\left[\frac{\partial P}{\partial \delta} \right]^{-1} d\vec{P} \right) = \left(\left[\frac{\partial P_1}{\partial \delta} \right]^T \left[\frac{\partial P}{\partial \delta} \right]^{-1} \right) d\vec{P} = [\alpha_2 \quad \dots \quad \alpha_n] \begin{bmatrix} dP_2 \\ \vdots \\ dP_n \end{bmatrix} \\
 dP_1 &= \alpha_2 dP_2 + \dots + \alpha_n dP_n
 \end{aligned}$$

$$\begin{aligned}
 P_{loss} &= P_1 + P_2 + \dots + P_n \Rightarrow dP_{loss} = dP_1 + dP_2 + \dots + dP_n \\
 dP_{loss} &= (\alpha_2 dP_2 + \dots + \alpha_n dP_n) + dP_2 + \dots + dP_n \\
 dP_{loss} &= (1 + \alpha_2) dP_2 + \dots + (1 + \alpha_n) dP_n \\
 dP_{loss} &= \frac{\partial P_{loss}}{\partial P_2} dP_2 + \dots + \frac{\partial P_{loss}}{\partial P_n} dP_n
 \end{aligned}$$

87

ادامه محاسبه ITL ها برای یک سیستم:

$$\left\{
 \begin{aligned}
 ITL_1 &= \frac{\partial P_{loss}}{\partial P_{G1}} = \frac{\partial P_{loss}}{\partial P_1} = 0 \\
 ITL_2 &= \frac{\partial P_{loss}}{\partial P_{G2}} = \frac{\partial P_{loss}}{\partial P_2} = 1 + \alpha_2 \\
 &\vdots \\
 ITL_n &= \frac{\partial P_{loss}}{\partial P_{Gn}} = \frac{\partial P_{loss}}{\partial P_n} = 1 + \alpha_n
 \end{aligned}
 \right.$$

$$[\alpha_2 \quad \dots \quad \alpha_n] = \left[\frac{\partial P_1}{\partial \delta} \right]^T \left[\frac{\partial P}{\partial \delta} \right]^{-1} = \left[\frac{\partial P_1}{\partial \delta_2} \quad \dots \quad \frac{\partial P_1}{\partial \delta_n} \right] \begin{bmatrix} \frac{\partial P_2}{\partial \delta_2} & \dots & \frac{\partial P_2}{\partial \delta_n} \\ \vdots & \ddots & \vdots \\ \frac{\partial P_n}{\partial \delta_2} & \dots & \frac{\partial P_n}{\partial \delta_n} \end{bmatrix}^{-1}$$

88

فصل سوم : اتصال کوتاه متقارن

حالتهای بررسی عملکرد سیستم قدرت:

1- حالت پایدار (ایستا): **احتلال** در سیستم نداریم و بارها نسبت به زمان ثابت اند. معادلات سیستم جیری غیرخطی اند. توسط پخش بار می‌توان سیستم را تحلیل نمود.

2- حالت دینامیک (پویا) : **احتلالات کوچک** داریم. احتلالات شامل تغییرات جزئی بار حول نقطه کار سیستم هستند. معادلات سیستم دیفرانسیل خطی هستند که می‌توان توسط تبدیل لاپلاس آنها را حل نمود.

3- حالت گذرا : **احتلالات بزرگ** سیستم قدرت را شامل می‌شوند و به سه گروه تقسیم می‌شوند:
 الف) حالتهای گذرای فوق سریع
 ب) حالتهای گذاری نیمه سریع
 ج) حالتهای گذرای کند

89

حالتهای گذرای فوق سریع :

- ناشی از تخلیه الکتریکی صاعقه بر روی خط انتقال و کلید زنی هستند و به آنها **surge** گویند.

- فقط در خطوط انتقال اتفاق می‌افتد و منجر به یک **موج الکترومغناطیس** می‌شوند که با سرعتی نزدیک به سرعت نور منتشر می‌شوند.

- اثرات این امواج:

- در طول خط رفت و برگشت می‌کنند و بر اثر **مقاومت** خطوط به سرعت مستهلك شده و پس از چند رفت و برگشت از بین می‌روند.

- اندوکتانس بزرگ ترانسفورماتورها مانع از ورود آنها به سیم پیچهای ژنراتورها می‌شوند و سبب برگشت آنها می‌شوند ولی دامنه ولتاژهای برگشتی آنها بزرگ است.

- **برقگیرها** این ولتاژهای زیاد را زمین می‌کنند ولی در صورت عمل نکردن برقگیرها، عایقهای خطوط تحمل این ولتاژهای بالا را ندارند و لذا در خط اتصال کوتاه بوجود می‌آورند.

- هدف از مطالعه حالتهای گذرای فوق سریع، یافتن سطح عایق بندی تجهیزات خط است.

90

حالهای گذرای نیمه سریع (اتصال کوتاه ها):

- ناشی از تغییرات ساختاری سریع و غیرعادی سیستم هستند که به آنها خطا (*Fault*) یا اتصال کوتاه می‌گویند.
- علل پیدایش خطاهای عبارتند از:
 - صاعقه
 - سالم نبودن تجهیزات و لوازم سیستم
 - شرایط جوی مانند باد و برف و یخندهان شدید و غیره
 - برخورد وسائل نقلیه زمینی با دکها و برخورد وسائل نقلیه هوایی با هادیهای خطوط انتقال
 - برخورد پرنده‌گان با هادیهای خطوط انتقال و یا ورود حیوانات به پستها و کلید خانه‌ها
 - سقوط درختان بر روی هادیهای خطوط انتقال
 - عوامل تصادفی و اتفاقات غیرقابل پیش‌بینی

91

حالهای گذرای کند :

- اتصال کوتاه‌ها باعث کاهش ولتاژ ژنراتورها و کاهش سریع توان خروجی آنها می‌شوند ولی گاورنر توان مکانیکی ورودی به ژنراتور را کاهش نداده است. بنابراین ژنراتورها تحت گشتاور شتاب دهنده واقع می‌شوند که در صورت تداوم، سبب نوسانات مکانیکی رتور ماشین سنکرون می‌شوند.

92

انواع اتصال کوتاه ها بترتیب شدت خطرناکی:

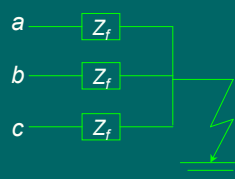
- 1- اتصال کوتاه سه فاز متقارن
- 2- اتصال کوتاه دوفاز
- 3- اتصال کوتاه تکفاز به زمین (SLG)
- 4- از هم گسیختگی و یا پاره شدن هادیهای خطوط انتقال

93

اتصال کوتاه سه فاز متقارن :

- احتمال وقوع آن کم است (حدود 5 درصد) ولی بسیار خطرناک است زیرا انتقال قدرت بکلی قطع می شود و بالاترین جریانهای اتصالی را بوجود می آورد.
- محل اتصالی باید سریعاً از سیستم قدرت جدا شود.
- کاربرد مطالعه این اتصال کوتاه :
 - در حفاظت سیستم و تعیین مقادیر نامی کلیدهای قدرت و رله ها می باشد.
 - بررسی پایداری گذراي سیستم قدرت

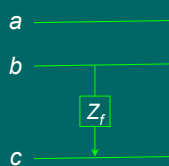
94



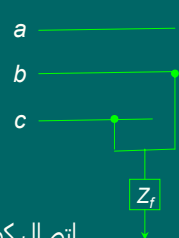
اتصال کوتاه دوفاز :

- دو نوع است:

- دوفاز به هم (LL)
- دوفاز به هم و به زمین (DLG)
- توان انتقالی از خط کم می شود.
- باعث نامتقارنی سیستم قدرت می شود.



اتصال کوتاه LL



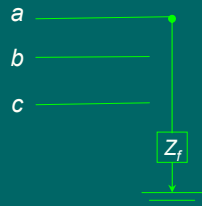
اتصال کوتاه DLG

95

اتصال یکفاز به زمین (SLG) :

- معمولاً بر اثر شکست الکتریکی و ایجاد جرقه روی مقره ها پدید می آید.

- احتمال وقوع آن حدود 75 درصد است.

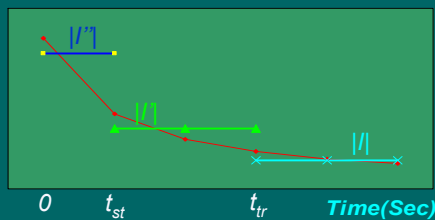


- تذکر : تعداد زیادی از اتصال کوتاه ها خود به خود بـ**برطرف** می شوند. یعنی با کاهش جریان خطا، یونیزاسیون مسیر اتصالی از بین می رود و عایق وضعیت عادی خود را باز می یابد. لذا از **ریکلوزرها** استفاده می شود.

96

تغییرات مقدار موثر جریان اتصال کوتاه ژنراتور سنکرون و تقریب‌های پله‌ای آن:

۱۶۰



- $|I''|$ تقریب پله‌ای جریان اتصال کوتاه زیر گذرا

- $|I'|$ تقریب پله‌ای جریان اتصال کوتاه گذرا

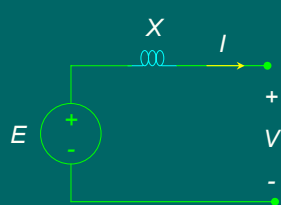
- $|I|$ تقریب پله‌ای جریان اتصال کوتاه پایدار

زمان دوره زیر گذرا که حدود 2 سیکل (0.04 ثانیه) است.

97

زمان دوره گذرا که حدود 25 سیکل (0.5 ثانیه) است.

مدل ژنراتور سنکرون در اتصال کوتاه :



$$E = V + jX \cdot I$$

- مدل ژنراتور سنکرون در حالت‌های زیرگذرا، گذرا و پایدار به شکل بالا است.
فقط

در حالت گذرا به جای X باید E و به جای E باید X را قرار داد.

در حالت زیرگذرا به جای X باید E و به جای E باید X را قرار داد.

98

روش‌های محاسبه اتصال کوتاه متقارن سه فاز در سیستم قدرت:

دو روش وجود دارد:

- 1- روش مستقیم
- 2- روش استفاده از قضیه تونن

99

روش مستقیم محاسبه اتصال کوتاه متقارن سه فاز:

مراحل روش:

- 1- محاسبه ولتاژهای **ترمینالها** و جریانهای ژنراتورها و موتورهای سنکرون با استفاده از پخش بار در **قبل اتصال کوتاه**
- 2- محاسبه ولتاژهای **داخلی** ژنراتورها (E , E' , E'') با استفاده از مدل ژنراتور سنکرون و فرمول آن
- 3- اتصال نقطه مورد نظر به نقطه صفر سیستم و محاسبه جریانهای لازم با ثابت نگه داشتن E , E' , E''

100

مثال 1-3: روش مستقیم اتصال کوتاه

در سیستم قدرت شکل زیر، ولتاژ بار در لحظه اتصال کوتاه $D < 0.02$ بوده است. اتصال کوتاه سه فاز در نقطه D اتفاق می‌افتد. جریان اتصال کوتاه را به روش مستقیم بیابید.

$$X''_G = 0.15 \quad X_T = 0.08$$

$$X_L = 0.04$$

$$P_D = 1.25 \\ 0.9 \text{ lag}$$

$$X''_G = 0.15 \quad X_T = 0.08 \quad X_L = 0.04$$

: حل

101

ادامه حل مثال 1-3

$$|I_D| = \frac{P_D}{|V_D| \cos \phi} = \frac{1.25}{1.02 \times 0.9} = 1.361$$

$$I_D = 1.361 < -\cos^{-1} 0.9 = 1.361 < -25.84^\circ$$

$$E''_G = V_D + j(X'_G + X_T + X_L)I_D = 1.02 < 0 + j(0.15 + 0.08 + 0.04) \times (1.361 < -25.84) = 1.225 < 15.65^\circ$$

$$E''_G = 1.225 < 15.65^\circ$$

$$X''_G = 0.15 \quad X_T = 0.08 \quad X_L = 0.04$$

$$I_f \quad I_D \quad V_D \quad Z_D$$

102

$$I_f = \frac{E''_G}{j(X'_G + X_T + X_L)} = \frac{1.225 < 15.65^\circ}{j(0.15 + 0.08 + 0.04)} = 4.537 < -74.32^\circ$$

روش قضیه تونن برای محاسبه اتصال کوتاه متقارن سه فاز :

مراحل روش:

1- محاسبه کلیه ولتاژها و جریانها در قبل از اتصال کوتاه با استفاده از پخش بار در قبل اتصال کوتاه

2- پیدا کردن مدار معادل تونن از دید نقطه اتصال کوتاه

3- اعمال اتصال کوتاه به مدار معادل تونن و محاسبه جریان اتصال

کوتاه I_f

4- قرار دادن منبع جریان I_f در مدار اولیه و محاسبه اثر اتصال کوتاه در کلیه جریانها و ولتاژها

5- محاسبه جریانها و ولتاژها در بعد از اتصال کوتاه:

$$V^f = V^0 + \Delta V$$

V^f ولتاژ بعد از اتصال کوتاه

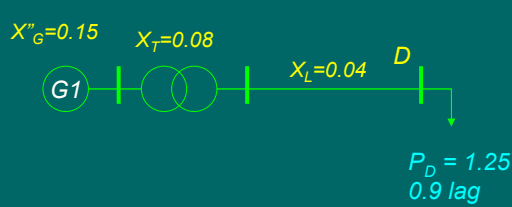
V^0 ولتاژ قبل از اتصال کوتاه

ΔV تغییرات ولتاژ ناشی از اتصال کوتاه

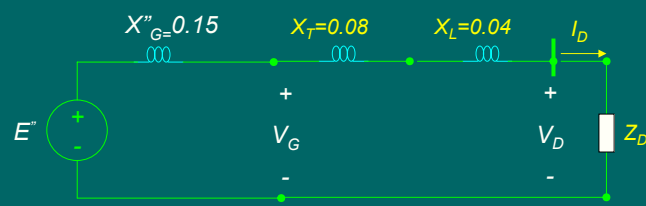
103

مثال 2-3: روش تونن اتصال کوتاه

در سیستم قدرت شکل زیر، ولتاژ بار در لحظه اتصال کوتاه $0 < 1.02$ بوده است. اتصال کوتاه سه فاز در نقطه D اتفاق می افتد. جریان اتصال کوتاه را به روش تونن بیابید.



$$P_D = 1.25 \\ 0.9 \text{ lag}$$



حل:

104

ادامه حل مثال 3

$$|I_D| = \frac{P_D}{|V_D| \cos \phi} = \frac{1.25}{1.02 \times 0.9} = 1.361$$

$$I_D = 1.361 < -\cos^{-1} 0.9 = 1.361 < -25.84^\circ$$

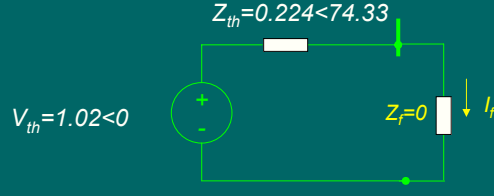


$$Z_D = \frac{V_D}{I_D} = \frac{1.02 < 0}{1.361 < -25.84} = 0.749 < 25.84^\circ$$

$$Z_{th} = j(X_G'' + X_T + X_L) \parallel Z_D = (j0.27) \parallel (0.749 < 25.84^\circ) = 0.224 < 74.33^\circ$$

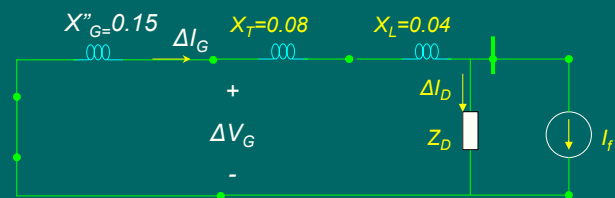
105 $V_{th} = V_D = 1.02 < 0$

ادامه حل مثال 3



$$I_f = \frac{V_{th}}{(Z_{th} + Z_f)} = \frac{1.02 < 0}{(0.224 < 74.33 + 0)} = 4.55 < -74.33^\circ$$

می خواهیم جریان زنر اتور را در بعد اتصال کوتاه محاسبه کنیم:



$$\Delta I_G = \frac{Z_D}{Z_D + j(X_G + X_T + X_L)} I_f = \frac{0.749 < 25.84}{0.749 < 25.84 + j0.27} \times (4.55 < -74.33) = 3.786 < -89.99$$

106 $I_G = I_G^0 + \Delta I_G = 1.361 < -25.84^\circ + 3.786 < -89.99 = 3.419 < 69.02^\circ$

محاسبات قانونمند اتصال کوتاه متقارن

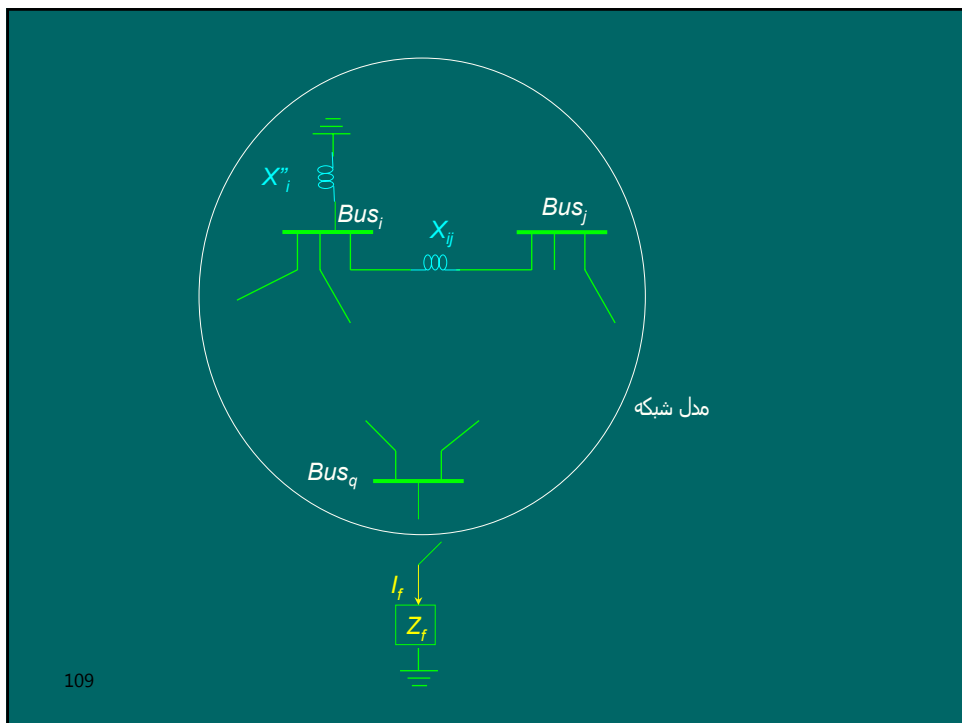
یک شبکه قادر است با n بس در نظر می‌گیریم و فرض می‌کنیم در بس q یک اتصال کوتاه متقارن سه فاز با امپدانس، Z_f رخ داده است. می‌خواهیم ولتاژ بسها و جریانهای خطوط را در بعد از اتصال کوتاه بدست آوریم. مرحله زیر را انجام می‌دهیم:

- 1- فرض می‌کنیم ولتاژ بسها در قبل از اتصال کوتاه مشخص باشند. ولتاژ بسها در قبل از اتصال کوتاه یا بوسیله پخش بار بدست می‌آیند و یا با تقریب ولتاژ تمام بسها در قبل از اتصال کوتاه را $V^0 < 0$ فرض می‌کنیم. در صورت اخیر جریان کلیه خطوط هم در قبل از اتصال کوتاه صفر خواهد بود.

107

- 2- مدار معادل تمام ژنراتورها، خطوط و بارها را با امپدانسهای معادل جایگذاری می‌کنیم. عموماً ساده سازیهای زیر را اعمال می‌کنیم:
 - عموماً از ادمیتانس خازنی خطوط و همچنین مقاومتهای اهمی ژنراتورها، خطوط و بارها صرفنظر می‌کنیم.
 - چون جریانهای اتصال کوتاه نسبت به جریانهای بارها بسیار بزرگتر هستند، عموماً از جریانهای بارها صرفنظر می‌کنیم یعنی امپدانس بارها را اتصال باز در نظر می‌گیریم.
 - ولتاژ داخلی ژنراتورها را صفر می‌کنیم و بسته به اینکه جریانهای زیرگذرا، گذرا و یا پایدار اتصال کوتاه را بخواهیم از X' ، X'' و X''' برای مدل امپدانس ژنراتور استفاده می‌کنیم.
 - نمونه مدل در شکل زیر :

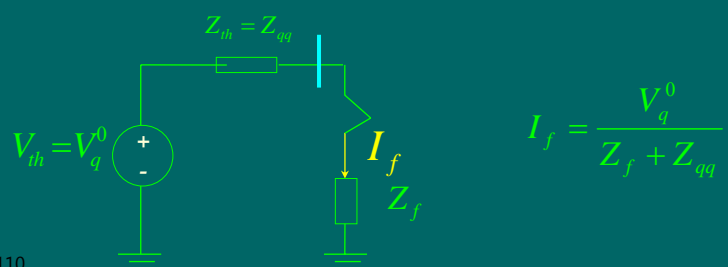
108



-3- ماتریس امپدانس Z_{bus} را برای سیستم مدل شده به طریق فوق بدست می آوریم.

$$Z_{bus} = Y_{bus}^{-1} = \begin{bmatrix} Z_{11} & \dots & Z_{1n} \\ \vdots & \dots & \vdots \\ Z_{n1} & \dots & Z_{nn} \end{bmatrix}$$

-4- مدار معادل تونن را از دید بس q تشکیل می دهیم. ولتاژ تونن برابر V_q^0 و امپدانس تونن برابر Z_{qq} خواهد بود. سپس جریان اتصال کوتاه I_f را از روی مدل تونن بطریق زیر محاسبه می کنیم :



5- با توجه به قضیه تونن تغییرات ولتاژ ناشی از اتصال کوتاه را بصورت زیر محاسبه می کنیم:

$$\begin{bmatrix} \Delta V_1 \\ \vdots \\ \Delta V_i \\ \vdots \\ \Delta V_q \\ \vdots \\ \Delta V_n \end{bmatrix} = \begin{bmatrix} Z_{11} & \cdots & Z_{1q} & \cdots & Z_{1n} \\ \vdots & \vdots & \vdots & \vdots & \vdots \\ Z_{i1} & \cdots & Z_{iq} & \cdots & Z_{in} \\ \vdots & \vdots & \vdots & \vdots & \vdots \\ Z_{q1} & \cdots & Z_{qq} & \cdots & Z_{qn} \\ \vdots & \vdots & \vdots & \vdots & \vdots \\ Z_{n1} & \cdots & Z_{nq} & \cdots & Z_{nn} \end{bmatrix} \begin{bmatrix} 0 \\ \vdots \\ 0 \\ -I_f \\ \vdots \\ 0 \end{bmatrix} \longrightarrow \Delta V_i = Z_{iq}(-I_f) = -\frac{Z_{iq}V_q^0}{Z_f + Z_{qq}}$$

6- ولتاژ تمام بasesها در بعد از اتصال کوتاه را از جمع ولتاژهای قبل از اتصال کوتاه و تغییرات ولتاژ ناشی از اتصال کوتاه بدست می آوریم :

$$V_i^f = V_i^0 + \Delta V_i = V_i^0 - \frac{Z_{iq}V_q^0}{Z_f + Z_{qq}}$$

111

7- جریانهای خطوط در بعد از اتصال کوتاه با استفاده از ولتاژ بasesهای دو انتهای آن محاسبه می شوند. مثلا برای خط L_{ik} داریم :

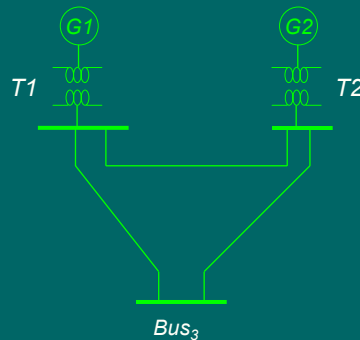
8- ظرفیت اتصال کوتاه (قدرت قطع) بس q را با توجه به تعریف آن بدست می آوریم. طبق تعریف ظرفیت اتصال کوتاه (SCC) یک بس برابر حاصلضرب ولتاژ بس در قبل از اتصال کوتاه در جریان اتصال کوتاه ان بس می باشد.

چون معمولاً حداکثر ظرفیت اتصال کوتاه محدود نظر است بایست حداکثر جریان اتصال کوتاه را در نظر گرفت یعنی باید $z_f = 0$ و برای ژنراتورها از مدل " X_q استفاده نمود. ضمناً دامنه ولتاژ بس در قبل از اتصال کوتاه یک پریونیت فرض می شود.

$$112 \quad SCC_q = |V_q^0| \cdot |I_q^f| = |V_q^0| \cdot \frac{|V_q^0|}{|Z_{th}|} \approx 1 \cdot \frac{1}{X_{th}} = \frac{1}{X_{th}}$$

مثال 3-2: روش قضیه تونن اتصال کوتاه

در سیستم قدرت شکل زیر، در باس 3 یک اتصال کوتاه سه فاز متقارن بی واسطه رخ می دهد. ولتاژ کلیه باسها و جریان خطوط در بعد از اتصال کوتاه و ظرفیت اتصال کوتاه باس 3 را باید. ولتاژ باسها در قبل از اتصال کوتاه را $1 < 0$ فرض نموده و از جریان بارها صرفنظر کنید.



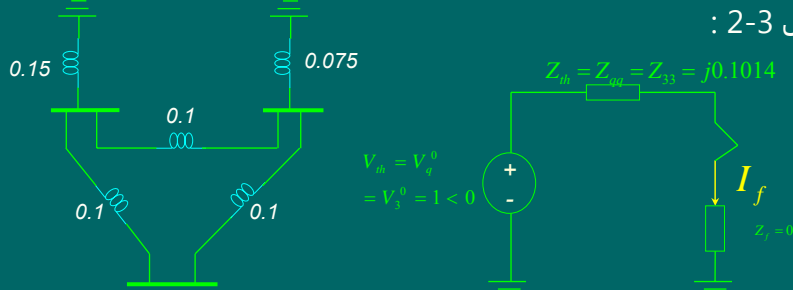
$$X_{g1} + X_{T1} = 0.15 \text{ pu}$$

$$X_{g2} + X_{T2} = 0.075 \text{ pu}$$

$$X_{L12} = X_{L13} = X_{L23} = 0.1 \text{ pu}$$

113

حل مثال 3-2



$$Y_{bus} = \begin{bmatrix} \frac{1}{j0.15} + \frac{1}{j0.1} + \frac{1}{j0.1} & -\frac{1}{j0.1} & \frac{-1}{j0.1} \\ -\frac{1}{j0.1} & \frac{1}{j0.075} + \frac{1}{j0.1} + \frac{1}{j0.1} & \frac{-1}{j0.1} \\ \frac{-1}{j0.1} & \frac{-1}{j0.1} & \frac{1}{j0.1} + \frac{1}{j0.1} \end{bmatrix} = \begin{bmatrix} -j2667 & j10 & j10 \\ j10 & -j3333 & j10 \\ j10 & j10 & -j20 \end{bmatrix}$$

$$Z_{bus} = Y_{bus}^{-1} = \begin{bmatrix} j0.073 & j0.0386 & j0.0558 \\ j0.0386 & j0.0558 & j0.0472 \\ j0.0558 & j0.0472 & j0.1014 \end{bmatrix}$$

$$I_f = \frac{V_q^0}{Z_f + Z_{qq}} = \frac{V_3^0}{Z_f + Z_{33}} = \frac{1 < 0}{0 + j0.1014} = -j9.862 = 9.862 < -90^\circ$$

ادامه حل مثال 2-3

$$\begin{aligned}\Delta V_i &= Z_{iq} (-I_f) \\ \Delta V_1 &= Z_{13} (-I_f) = (j0.0558)(j9.862) = -0.5368 \\ \Delta V_2 &= Z_{23} (-I_f) = (j0.0472)(j9.862) = -0.4541 \\ \Delta V_3 &= Z_{33} (-I_f) = (j0.1014)(j9.862) = -1\end{aligned}$$

$$\begin{aligned}V_i' &= V_i^0 + \Delta V_i \\ V_1' &= V_1^0 + \Delta V_1 = 1 < 0 + (-0.5368) = 0.4632 \\ V_2' &= V_2^0 + \Delta V_2 = 1 < 0 + (-0.4541) = 0.5459 \\ V_3' &= V_3^0 + \Delta V_3 = 1 < 0 + (-1) = 0\end{aligned}$$

$$\begin{aligned}I_{ij}' &= \frac{V_i' - V_j'}{jX_{ij}} \\ I_{12}' &= \frac{V_1' - V_2'}{jX_{12}} = \frac{0.4632 - 0.5459}{j0.1} = j0.8270 \\ SCC_q &= |V_q^0| \cdot |I_q'| = |V_q^0| \cdot \frac{|V_q^0|}{|Z_{th}|} \approx 1 \cdot \frac{1}{X_{th}} = \frac{1}{X_{th}} \\ SCC_3 &= |V_3^0| \cdot |I_3'| = \frac{1}{X_{33}} = \frac{1}{0.1014} = 9.8616 \\ SCC_3 &= |V_3^0| \cdot |I_3'| = 1 \times 9.862 = 9.862\end{aligned}$$

115

فصل چهارم : اتصال کوتاه نامتقارن

مشخصات سیستم دارای تقارن فاز:

- امپدانس بارها در هر سه فاز برابرند.

- امپدانس خطای در هر سه فاز برابر است.

- ولتاژها، جریانها و نیرومحرکه دارای تقارن سه فاز بودند.

- مجموع جبری جریانهای سه فاز صفر بودند درنتیجه بین نقاط خنثی ژنراتور و یا ترانسفورماتور جریان نداریم و افت ولتاژ نداریم. بنابراین تمام نقاط خنثی در سیستم متعادل با زمین هم پتانسیل هستند.

نتایج :

- سیستم یک فاز تحلیل می شود.

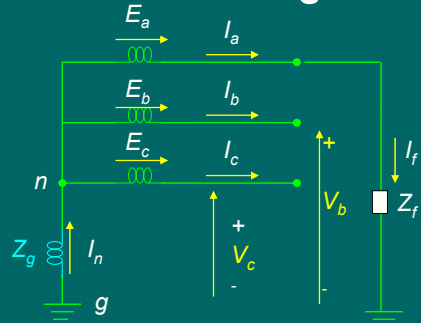
- جریانها و ولتاژهای فازهای دیگر از روی فاز اول دست می آیند.

- توان سه فاز از سه برابر کردن توان یکفاز بدست می آید.

- سیستم نامتعادل: یا **بار نامتعادل** داریم و یا **اتصال کوتاه نامتقارن** رخ داده است.

116

معرفی جریانها و ولتاژهای خنثی



در سیستم نامتقارن نقطه **مبنای زمین** (نقطه **g**) فرض می شود. بنابراین منظور از ولتاژ هر فاز، ولتاژ آن فاز نسبت به زمین است.

$$I_n = I_a + I_b + I_c$$

$$V_n = V_{ng} = -Z_g I_n = -Z_g (I_a + I_b + I_c)$$

$$I_a = I_f \quad I_b = 0 \quad I_c = 0$$

$$V_a = V_{ag} = Z_f I_f$$

$$V_{an} = V_{ag} - V_{ng} = V_a - V_n = V_a + Z_g (I_a + I_b + I_c)$$

117

تعريف α

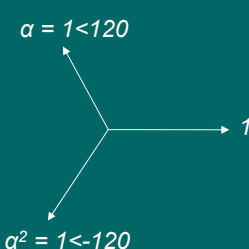
تعريف می کنیم : $\alpha = e^{j120} = 1 < 120^\circ$
اگر α در یک فازور ضرب شود فقط فاز آنرا به اندازه 120 درجه اضافه می کند (در جهت مثلثاتی می چرخاند).
می توان نشان داد:

$$\alpha^2 = \alpha^* = 1 < -120^\circ$$

$$\alpha^3 = 1$$

$$(\alpha^2)^* = \alpha$$

$$1 + \alpha + \alpha^2 = 0$$



118

مولفه های متقارن

می توان نشان داد که هر مجموعه فازور سه فاز نامتقارن را می توان به سه مجموعه مولفه متقارن زیر تجزیه نمود:

$$I_c^+ = \alpha I_a^+$$

الف) مجموعه توالی مثبت (abc): فاز a از فاز b 120 درجه جلوتر است و فاز b از فاز c 120 درجه جلوتر است.

$$I_b^+ = \alpha^2 I_a^+$$

ب) مجموعه توالی منفی (acb): فاز a از فاز b 120 درجه عقب تر است و فاز b از فاز c 120 درجه عقب تر است.

$$I_c^- = \alpha^2 I_a^-$$

$$\xrightarrow{119} \begin{array}{c} I_a^0 \\ I_b^0 = I_a^0 \\ I_c^0 = I_a^0 \end{array}$$

ج) مجموعه توالی صفر : هر سه فاز هم فاز و مساویند.

تجزیه به مولفه های متقارن

$$\begin{cases} I_a = I_a^+ + I_a^- + I_a^0 \\ I_b = I_b^+ + I_b^- + I_b^0 = \alpha^2 I_a^+ + \alpha I_a^- + I_a^0 \\ I_c = I_c^+ + I_c^- + I_c^0 = \alpha I_a^+ + \alpha^2 I_a^- + I_a^0 \end{cases}$$

شکل ماتریسی :

$$\begin{bmatrix} I_a \\ I_b \\ I_c \end{bmatrix} = \begin{bmatrix} 1 & 1 & 1 \\ \alpha^2 & \alpha & 1 \\ \alpha & \alpha^2 & 1 \end{bmatrix} \begin{bmatrix} I_a^+ \\ I_a^- \\ I_a^0 \end{bmatrix} \rightarrow \vec{I}_p = T \vec{I}_s \rightarrow I_s = T^{-1} I_p$$

I_p جریانهای فازی و I_s مولفه های متقارن جریانها هستند.

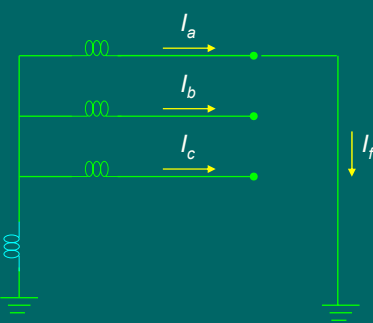
ماتریس تبدیل فورتسلکیو و معکوس آن :

$$120 \quad T = \begin{bmatrix} 1 & 1 & 1 \\ \alpha^2 & \alpha & 1 \\ \alpha & \alpha^2 & 1 \end{bmatrix} \quad T^{-1} = \frac{1}{3} \begin{bmatrix} 1 & \alpha & \alpha^2 \\ 1 & \alpha^2 & \alpha \\ 1 & 1 & 1 \end{bmatrix}$$

مثال 1-4

در ژنراتور بی بار شکل مقابل، یکفاز به زمین اتصال کوتاه شده است. مولفه های متقابل جریان را بر حسب جریان اتصال کوتاه I_f بیابید.

حل:



$$I_s = T^{-1} I_p \rightarrow \begin{bmatrix} I_a^+ \\ I_a^- \\ I_a^0 \end{bmatrix} = \frac{1}{3} \begin{bmatrix} 1 & \alpha & \alpha^2 \\ 1 & \alpha^2 & \alpha \\ 1 & 1 & 1 \end{bmatrix} \begin{bmatrix} I_a = I_f \\ I_b = 0 \\ I_c = 0 \end{bmatrix} \rightarrow I_a^+ = I_a^- = I_a^0 = \frac{1}{3} I_f$$

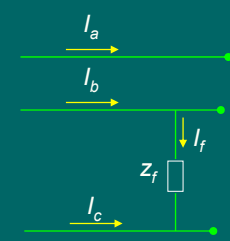
نتیجه: اگر یکی از خطوط سه فاز به زمین اتصال کند، دامنه مجموعه مولفه های مثبت، منفی و صفر مساوی خواهد بود.

121

مثال 2-4

در شبکه شکل مقابل، دو فاز به هم توسط امپدانس z_f اتصال کوتاه شده اند. مولفه های متقابل جریان را بر حسب جریان اتصال کوتاه I_f بیابید.

حل:



$$I_s = T^{-1} I_p \rightarrow \begin{bmatrix} I_a^+ \\ I_a^- \\ I_a^0 \end{bmatrix} = \frac{1}{3} \begin{bmatrix} 1 & \alpha & \alpha^2 \\ 1 & \alpha^2 & \alpha \\ 1 & 1 & 1 \end{bmatrix} \begin{bmatrix} I_a = 0 \\ I_b = I_f \\ I_c = -I_f \end{bmatrix} \rightarrow \begin{cases} I_a^+ = \frac{j}{\sqrt{3}} I_f \\ I_a^- = -\frac{j}{\sqrt{3}} I_f \\ I_a^0 = 0 \end{cases}$$

نتیجه: در اتصال کوتاه خط به خط، دامنه مولفه های مثبت و منفی جریان مساویند و جریان مولفه صفر ندارد.

122

3-4 مثال

ثابت کنید ولتاژ های خط به خط هیچگاه مولفه توالي صفر ندارند.

حل:

$$V_s = T^{-1} V_p \rightarrow \begin{bmatrix} V_{ab}^+ \\ V_{ab}^- \\ V_{ab}^0 \end{bmatrix} = \frac{1}{3} \begin{bmatrix} 1 & \alpha & \alpha^2 \\ 1 & \alpha^2 & \alpha \\ 1 & 1 & 1 \end{bmatrix} \begin{bmatrix} V_{ab} \\ V_{bc} \\ V_{ca} \end{bmatrix}$$

$$\rightarrow V_{ab}^0 = \frac{1}{3} (V_{ab} + V_{bc} + V_{ca}) = \frac{1}{3} (V_a - V_b + V_b - V_c + V_c - V_a) = 0$$

123

4-4 مثال

نشان دهید سیم نول فقط وقتی جریان دارد که جریانها مولفه صفر داشته باشند.

حل:

$$I_s = T^{-1} I_p \rightarrow \begin{bmatrix} I_a^+ \\ I_a^- \\ I_a^0 \end{bmatrix} = \frac{1}{3} \begin{bmatrix} 1 & \alpha & \alpha^2 \\ 1 & \alpha^2 & \alpha \\ 1 & 1 & 1 \end{bmatrix} \begin{bmatrix} I_a \\ I_b \\ I_c \end{bmatrix}$$

$$\rightarrow I_a^0 = \frac{1}{3} (I_a + I_b + I_c) = \frac{1}{3} I_n \quad \rightarrow \text{If } I_a^0 = 0 \Rightarrow \begin{cases} I_n = 0 \\ V_n = -Z_g I_n = 0 \end{cases}$$

نتیجه: تنها جریان توالي صفر، جریان و ولتاژ نول را پدید می آورد.

124

مثال 5-4

نشان دهید توان کل در یک سیستم نامتعادل برابر با مجموع مولفه های متقارن توان می باشد.

$$\begin{aligned}
 S = P + jQ &= V_a I_a^* + V_b I_b^* + V_c I_c^* = [V_a \quad V_b \quad V_c] \begin{bmatrix} I_a^* \\ I_b^* \\ I_c^* \end{bmatrix} = \\
 V_p^* I_p^* &= (TV_s)^T (TI_s)^* = V_s^T T^T T^* I_s^* = V_s^T (3U) I_s^* = 3V_s^T I_s^* \\
 &= 3[V_a^+ \quad V_a^- \quad V_a^0] \begin{bmatrix} I_a^+ \\ I_a^- \\ I_a^0 \end{bmatrix}^* = 3V_a^+ I_a^+ + 3V_a^- I_a^- + 3V_a^0 I_a^0 \\
 &= S^+ + S^- + S^0
 \end{aligned}$$

125

ادامه مثال 5-4

$$\begin{aligned}
 T^T T^* &= \begin{bmatrix} 1 & 1 & 1 \\ \alpha^2 & \alpha & 1 \\ \alpha & \alpha^2 & 1 \end{bmatrix}^T \begin{bmatrix} 1 & 1 & 1 \\ \alpha^2 & \alpha & 1 \\ \alpha & \alpha^2 & 1 \end{bmatrix}^* = \begin{bmatrix} 1 & \alpha^2 & \alpha \\ 1 & \alpha & \alpha^2 \\ 1 & 1 & 1 \end{bmatrix} \begin{bmatrix} 1 & 1 & 1 \\ \alpha & \alpha^2 & 1 \\ \alpha^2 & \alpha & 1 \end{bmatrix} = \\
 &= \begin{bmatrix} 1+\alpha^3+\alpha^3 & 1+\alpha^4+\alpha^2 & 1+\alpha^2+\alpha \\ 1+\alpha^4+\alpha^2 & 1+\alpha^3+\alpha^3 & 1+\alpha^2+\alpha \\ 1+\alpha^2+\alpha & 1+\alpha^2+\alpha & 1+1+1 \end{bmatrix} = 3 \begin{bmatrix} 1 & 0 & 0 \\ 0 & 1 & 0 \\ 0 & 0 & 1 \end{bmatrix} = 3U
 \end{aligned}$$

126

معادلات کار ژنراتور سنکرون در بار نامتقارن

شکل کلی معادلات کار ژنراتور سنکرون:

$$\begin{bmatrix} V_{an} \\ V_{bn} \\ V_{cn} \end{bmatrix} = \begin{bmatrix} E_a \\ E_b \\ E_c \end{bmatrix} - \begin{bmatrix} Z_{aa} & Z_{ab} & Z_{ac} \\ Z_{ba} & Z_{bb} & Z_{bc} \\ Z_{ca} & Z_{cb} & Z_{cc} \end{bmatrix} \begin{bmatrix} I_a \\ I_b \\ I_c \end{bmatrix}$$

چون هر سه فاز شبیه هم هستند و بعلت تقارن دوره ای فازها عناصر ماتریس امپدانس ژنراتور عبارتند از:

$$Z_{aa} = Z_{bb} = Z_{cc} = Z_1$$

$$Z_{ab} = Z_{bc} = Z_{ca} = Z_2$$

$$Z_{ac} = Z_{eb} = Z_{ba} = Z_3$$

$$Zp = \begin{bmatrix} Z_{aa} & Z_{ab} & Z_{ac} \\ Z_{ba} & Z_{bb} & Z_{bc} \\ Z_{ca} & Z_{cb} & Z_{cc} \end{bmatrix} = \begin{bmatrix} Z_1 & Z_2 & Z_1 \\ Z_3 & Z_1 & Z_1 \\ Z_2 & Z_3 & Z_1 \end{bmatrix}$$

شکل ماتریسی معادلات کار ژنراتور:

$$V_p = E_p - Z_p I_p$$

127

بیان معادلات کار ژنراتور بر حسب مولفه ها

$$V_p = E_p - Z_p I_p$$

$$TV_s = E_p - Z_p (TI_s)$$

$$V_s = \underbrace{T^{-1} E_p}_{E_s} - (\underbrace{T^{-1} Z_p T}_{Z_s}) I_s$$

$$V_s = E_s - Z_s I_s$$

$$E_s = T^{-1} E_p = \frac{1}{3} \begin{bmatrix} 1 & \alpha & \alpha^2 \\ 1 & \alpha^2 & \alpha \\ 1 & 1 & 1 \end{bmatrix} \begin{bmatrix} E_a \\ E_b \\ E_c \end{bmatrix} = \frac{1}{3} \begin{bmatrix} 1 & \alpha & \alpha^2 \\ 1 & \alpha^2 & \alpha \\ 1 & 1 & 1 \end{bmatrix} \begin{bmatrix} E_a \\ \alpha^2 E_a \\ \alpha E_a \end{bmatrix} = \begin{bmatrix} E_a \\ 0 \\ 0 \end{bmatrix}$$

$$Z_s = T^{-1} Z_p T = \frac{1}{3} \begin{bmatrix} 1 & \alpha & \alpha^2 \\ 1 & \alpha^2 & \alpha \\ 1 & 1 & 1 \end{bmatrix} \begin{bmatrix} Z_1 & Z_2 & Z_3 \\ Z_3 & Z_1 & Z_2 \\ Z_2 & Z_3 & Z_1 \end{bmatrix} \begin{bmatrix} 1 & 1 & 1 \\ \alpha^2 & \alpha & 1 \\ \alpha & \alpha^2 & 1 \end{bmatrix} = \begin{bmatrix} Z^+ & 0 & 0 \\ 0 & Z^- & 0 \\ 0 & 0 & Z^0 \end{bmatrix}$$

$$Z^+ = Z_1 + \alpha^2 Z_2 + \alpha Z_3 \quad Z^- = Z_1 + \alpha Z_2 + \alpha^2 Z_3 \quad Z^0 = Z_1 + Z_2 + Z_3$$

128

نتیجه معادلات کار ژنراتور بر حسب مولفه ها

$$V_s = E_s - Z_s I_s \Rightarrow \begin{bmatrix} V_{an}^+ \\ V_{an}^- \\ V_{an}^0 \end{bmatrix} = \begin{bmatrix} E_a \\ 0 \\ 0 \end{bmatrix} - \begin{bmatrix} Z^+ & 0 & 0 \\ 0 & Z^- & 0 \\ 0 & 0 & Z^0 \end{bmatrix} \begin{bmatrix} I_a^+ \\ I_a^- \\ I_a^0 \end{bmatrix}$$

$$\begin{cases} V_{an}^+ = E_a - Z^+ I_a^+ \\ V_{an}^- = -Z^- I_a^- \\ V_{an}^0 = -Z^0 I_a^0 \end{cases}$$

نتایج :

1- چون Z_s قطری است بین سه مولفه متقارن هیچ گونه تزویجی وجود ندارد
یعنی ولتاژ هر مولفه فقط به جریان همان مولفه بستگی دارد.

2- تنها مولفه توالی **ثبت** دارای نیرو محركه القائی E_a است.

3- مولفه توالی Z^0 , Z^+ , Z^- با هم **مساوی** نیستند. بنابراین نمی توان فقط یک
مولفه را بدست آورد و سایر مولفه ها را از روی آن محاسبه کرد.

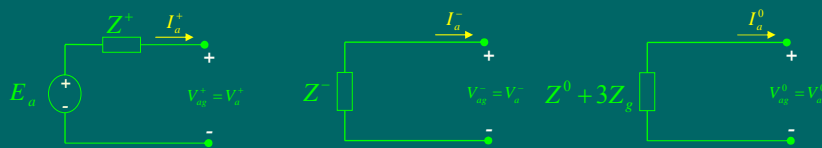
129

شبکه های توالی معادل ژنراتور سنکرون

زمین (g) مبنای می باشد:

$$V_{ag} = V_{an} + V_{ng} = V_{an} - Z_g (I_a + I_b + I_c)$$

$$\begin{cases} V_{ag}^+ = V_{an}^+ - Z_g (I_a^+ + I_b^+ + I_c^+) = V_{an}^+ - Z_g \times 0 = V_{an}^+ = E_a - Z^+ I_a^+ \\ V_{ag}^- = V_{an}^- - Z_g (I_a^- + I_b^- + I_c^-) = V_{an}^- - Z_g \times 0 = V_{an}^- = -Z^- I_a^- \\ V_{ag}^0 = V_{an}^0 - Z_g (I_a^0 + I_b^0 + I_c^0) = V_{an}^0 - 3Z_g I_a^0 = -(Z^0 + 3Z_g) I_a^0 \end{cases}$$

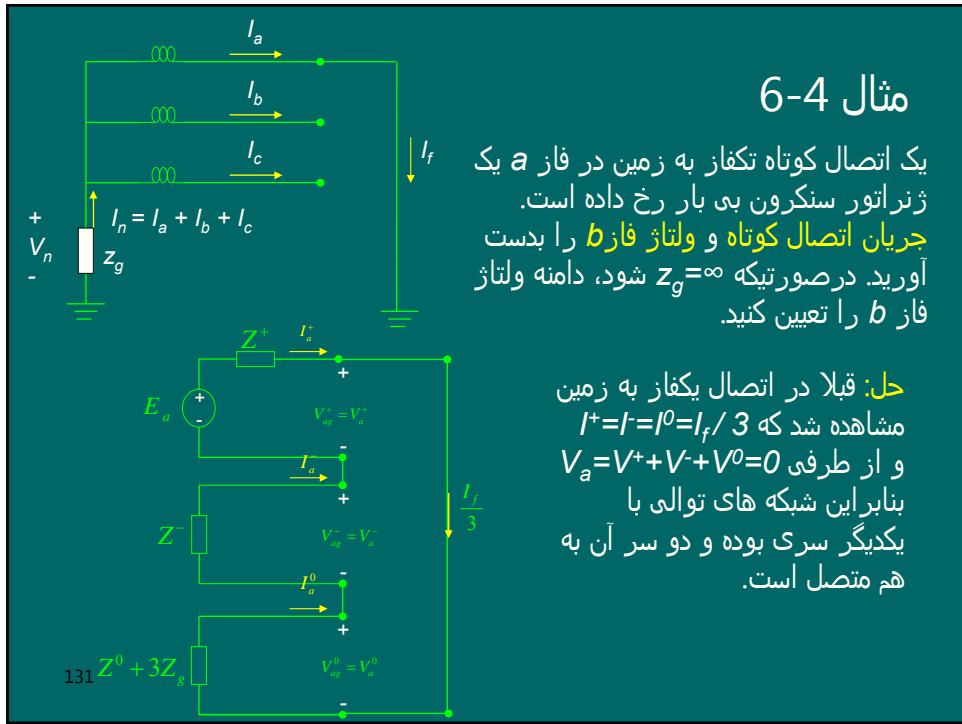


130

مثال 6-4

یک اتصال کوتاه تکفاز به زمین در فاز a یک ژنراتور سنکرون بی بار رخ داده است. جریان اتصال کوتاه و ولتاژ فاز b را بدست آورید. در صورتیکه $Z_g = \infty$ شود، دامنه ولتاژ فاز b را تعیین کنید.

حل: قبل از اتصال یکفاز به زمین مشاهده شد که $I^+ = I^- = I_f / 3$ و از طرفی $V_a = V^+ + V^- + V^0 = 0$ بنابراین شبکه های توالی با یکدیگر سری بوده و دو سر آن به هم متصل است.



ادامه حل مثال 6-4

$$I_a^+ = I_a^- = I_a^0 = \frac{I_f}{3} = \frac{E_a}{(Z^+ + Z^- + Z^0 + 3Z_g)} \Rightarrow I_f = \frac{3E_a}{(Z^+ + Z^- + Z^0 + 3Z_g)}$$

$$\begin{bmatrix} V_a \\ V_b \\ V_c \end{bmatrix} = \begin{bmatrix} 1 & 1 & 1 \\ \alpha^2 & \alpha & 1 \\ \alpha & \alpha^2 & 1 \end{bmatrix} \begin{bmatrix} V_a^+ \\ V_a^- \\ V_a^0 \end{bmatrix} \Rightarrow V_b = \alpha^2 V_a^+ + \alpha V_a^- + V_a^0$$

$$V_b = \alpha^2 (E_a - Z^+ I_a^+) + \alpha (-Z^- I_a^-) + (-Z^0 - 3Z_g) I_a^0$$

$$V_b = \alpha^2 (E_a - Z^+ I_a^+) + \alpha (-Z^- I_a^+) + (-Z^0 - 3Z_g) I_a^+$$

$$V_b = \alpha^2 E_a - (\alpha^2 Z^+ + \alpha Z^- + Z^0 + 3Z_g) I_a^+$$

$$V_b = \alpha^2 E_a - (\alpha^2 Z^+ + \alpha Z^- + Z^0 + 3Z_g) \frac{E_a}{(Z^+ + Z^- + Z^0 + 3Z_g)}$$

$$\lim_{z_g \rightarrow \infty} |V_b| = |\alpha^2 - 1| |E_a| = \sqrt{3} |E_a|$$

نتیجه: در اتصال کوتاه یک فاز ژنراتور به زمین، وقتی نقطه نول به زمین اتصال باز باشد، دامنه ولتاژ فازهای سالم برابر ولتاژ خط می شود.

امپدانس‌های توالی خطوط

$$\begin{bmatrix} \Delta V_{ag} \\ \Delta V_{bg} \\ \Delta V_{cg} \end{bmatrix} = \begin{bmatrix} Z_1 & Z_2 & Z_2 \\ Z_2 & Z_1 & Z_2 \\ Z_2 & Z_2 & Z_1 \end{bmatrix} \begin{bmatrix} I_a \\ I_b \\ I_c \end{bmatrix}$$

می‌توان نشان داد که شکل کلی معادلات افت ولتاژ خطوط در حالت نامتقارن بصورت زیر است:

شکل ماتریسی و تبدیل به مولفه‌های متقارن:

$$\Delta V_p = Z_p I_p \Rightarrow T \Delta V_s = Z_p (T I_s) \Rightarrow \Delta V_s = \underbrace{(T^{-1} Z_p T)}_{Z_s} I_s \Rightarrow \Delta V_s = Z_s I_s$$

$$Z_s = T^{-1} Z_p T = \frac{1}{3} \begin{bmatrix} 1 & \alpha & \alpha^2 \\ 1 & \alpha^2 & \alpha \\ 1 & 1 & 1 \end{bmatrix} \begin{bmatrix} Z_1 & Z_2 & Z_2 \\ Z_2 & Z_1 & Z_2 \\ Z_2 & Z_2 & Z_1 \end{bmatrix} \begin{bmatrix} 1 & 1 & 1 \\ \alpha^2 & \alpha & 1 \\ \alpha & \alpha^2 & 1 \end{bmatrix} = \begin{bmatrix} Z^+ & 0 & 0 \\ 0 & Z^- & 0 \\ 0 & 0 & Z^0 \end{bmatrix}$$

$$Z^+ = Z^- = Z_1 - Z_2 = j\omega \frac{\mu_0}{2\pi} \ln\left(\frac{D}{R_a}\right) \quad Z^0 = Z_1 + 2Z_2 = j\omega \frac{\mu_0}{2\pi} \ln\left(\frac{D_a^6}{R_a R'^3 D^2}\right)$$

نتایج:

-1- ماتریس Z_s قطری است.

-2- زیرا خط انتقال عنصر پسیو (غیرفعال) است.

133

مدل توالی خط انتقال



مدل توالی مثبت خط انتقال:



مدل توالی منفی خط انتقال:



مدل توالی صفر خط انتقال:

134

امپدانس‌های توالی مثبت و منفی ترانسفورماتورها

چون ترانس عنصر پسیو و ایستا است در صورت تغییر توالی ولتاژها، امپدانس نشتی آن تغییر نخواهد کرد یعنی :

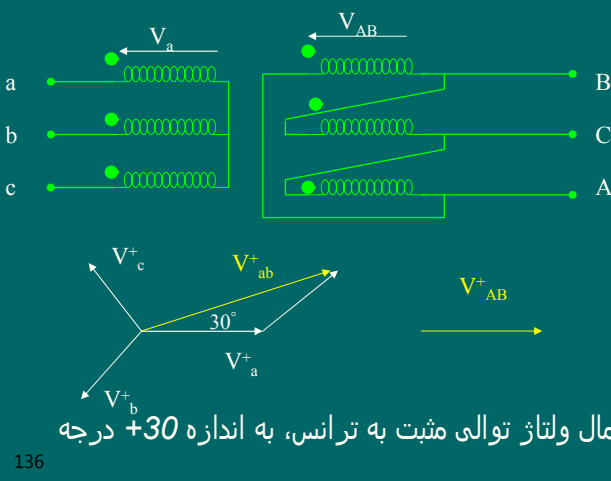
$$Z^+ = Z^- = Z_{\text{Leakage}}$$

تذکر: اگر یک ترانسفورماتور سه فاز مولفه‌های توالی مثبت ولتاژ و جریان را به اندازه α درجه جابجا کند، مولفه‌های توالی منفی ولتاژ و جریان را به اندازه $-\alpha$ درجه جابجا خواهد کرد.

135

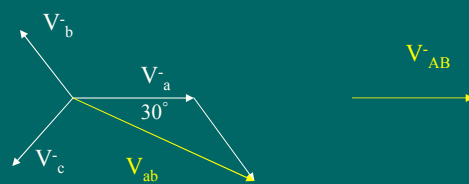
تحقیق جهت جابجائی فاز در ترانسفورماتورها

به یک ترانس $Y\Delta$ یکبار ولتاژ توالی مثبت و بار دیگر ولتاژ توالی منفی اعمال کنید و مقدار و جهت جابجائی فاز بین اولیه و ثانویه را بدست آورید و با هم مقایسه کنید.



136

ادامه تحقیق جهت جابجایی فاز در ترانسفورماتورها



- مشاهده می شود که با اعمال ولتاژ توالی منفی به ترانس، به اندازه 30° درجه جابجایی فاز داریم.

137

مدل توالی مثبت و منفی ترانسفورماتور



مدل توالی مثبت ترانسفورماتور:



مدل توالی منفی ترانسفورماتور :

$$Z^+ = Z^- = Z_{Leakage}$$

138

نکاتی در مورد توالی صفر ترانسها

۱- امپدانس مغناطیس کنندگی یک ترانس بسیار بزرگ است. بنابراین در عمل آن را اتصال باز می‌گیرند یعنی از جریان مغناطیس کنندگی صرفنظر می‌شود:

۲- چون از جریان مغناطیس کنندگی صرفنظر می‌شود، هر گاه از یک طرف جریان نگزارد از دیگر نیز جریان نمی‌گذرد.

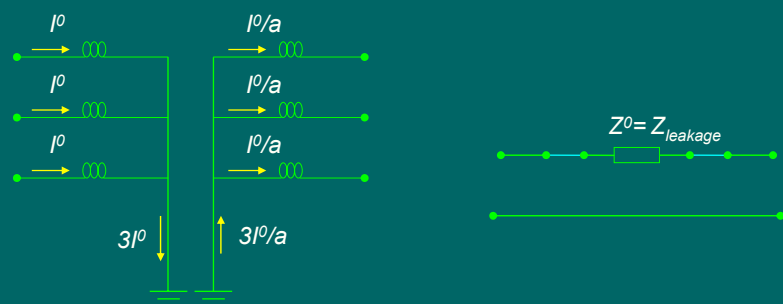
۳- در اتصال Δ ، وقتی جریانهای هم فاز I^0 می‌توانند جاری شوند که نقطه حنثی زمین شده باشد.

۴- در اتصال Δ ، جریانهای توالی صفر I^0 بصورت گردشی هستند و در خطوط خروجی، این جریانها وجود ندارند زیرا مسیر برگشت ندارند.

139

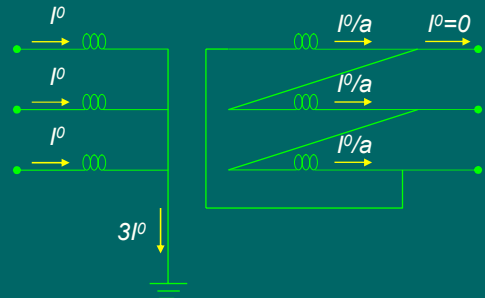
مدل توالی صفر ترانس ستاره زمین شده-ستاره زمین شده

جریانهای I^0 تنها بوسیله امپدانس نشتی آنها محدود می‌شوند.

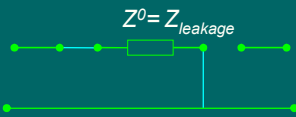


140

مدل توالی صفر ترانس ستاره زمین شده - مثلث

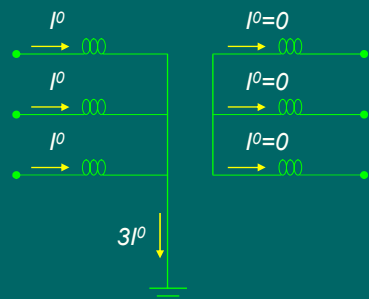


امکان عبور جریان در هر دو طرف وجود دارد ولی در طرف مثلث جریانها گردشی آند و در خط جریان توالی صفر وجود ندارد.

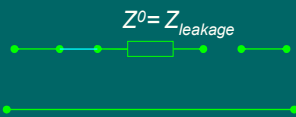


141

مدل توالی صفر ترانس ستاره زمین شده - ستاره



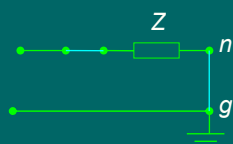
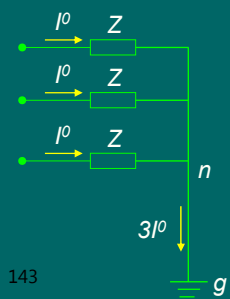
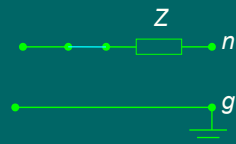
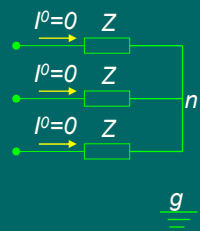
چون در طرف ستاره جریان توالی صفر نمی‌توانند جریان یابند، در طرف ستاره زمین شده هم جریان نداریم.



142

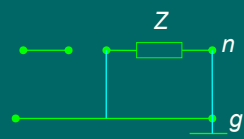
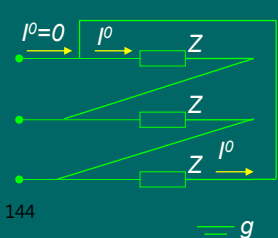
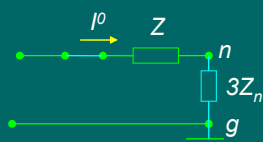
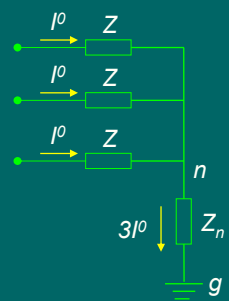
شبکه های توالی صفر در مدارها

مبنای زمین است.



143

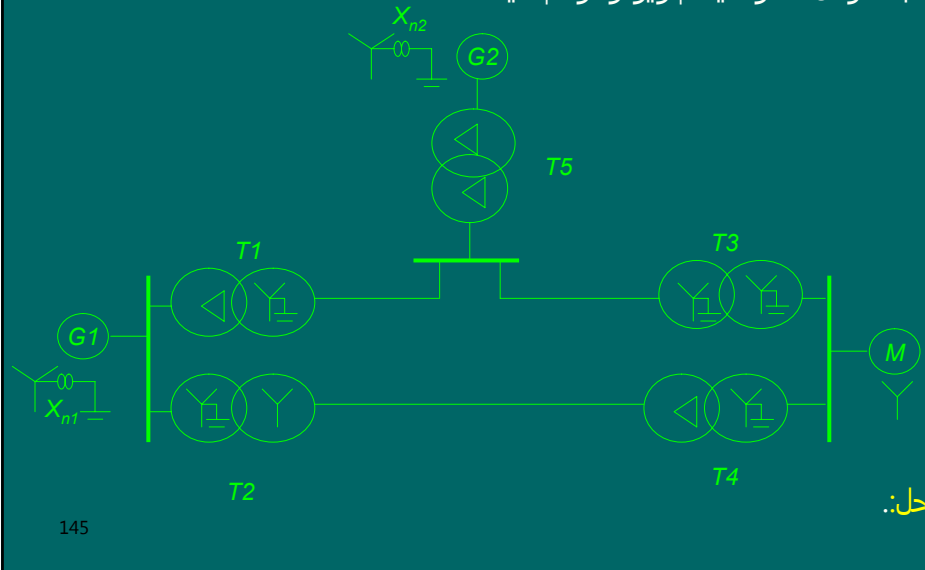
ادامه شبکه های توالی صفر در مدارها



144

7-4 مثال

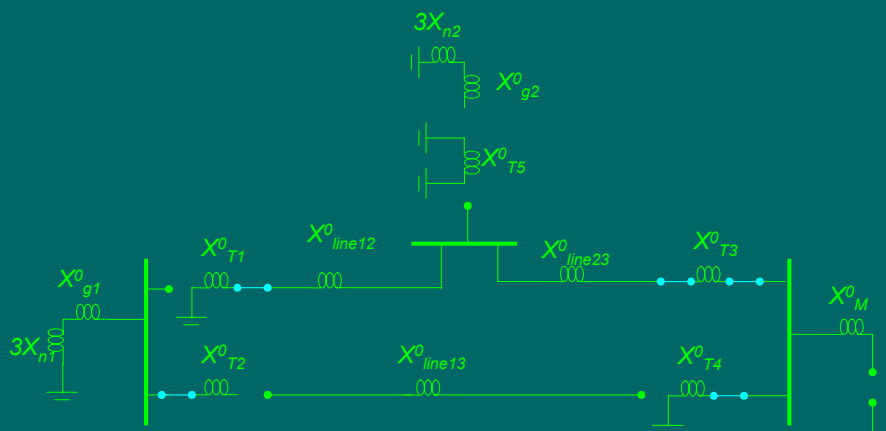
شبکه توالی صفر سیستم زیر را رسم کنید.



145

حل

حل مثال 7-4



146

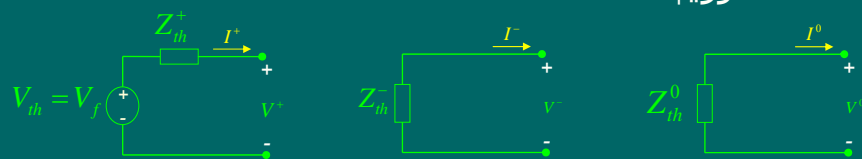
روشهای حل اتصال کوتاه نامتقارن

- 1- روش حل با استفاده از مدار معادل تونن شبکه های توالی و اتصال آنها برای فالتهای متداول
- 2- روش حل با استفاده از فرمولهای کلی برای فالتهای غیرمتداول و سیستمهای بزرگ

147

مراحل روش اتصال شبکه های توالی

- 1- جریانهای عناصر سیستم و ولتاژ محل اتصال کوتاه (V_f) را در قبل از اتصال کوتاه محاسبه می کنیم.
- 2- V_f را بعنوان ولتاژ تونن شبکه از دیدگاه نقطه اتصال کوتاه شده در نظر می گیریم که فقط در مدار معادل مثبت ظاهر می شود.
- 3- شبکه های توالی مثبت، منفی و صفر سیستم را رسم می کنیم.
- 4- امپدانس معادل تونن هر یک از شبکه های توالی را از دیدگاه نقطه اتصال کوتاه شده تعیین می کنیم و مدارهای معادل تونن شبکه های توالی را بدست می آوریم.

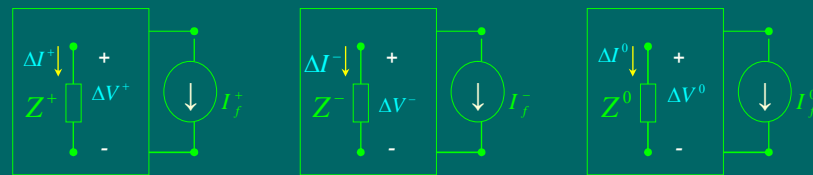


148

ادامه مراحل روش اتصال شبکه های توالی

5- با توجه به نوع اتصال کوتاه، شبکه های توان توالی را بصورت مناسب به هم وصل می کنیم و از اتصال آنها مولفه های جریان اتصال کوتاه یعنی I_f^+ , I_f^- و I_f^0 را بدست می آوریم.

6- منابع جریان با اندازه های I_f^+ , I_f^- و I_f^0 را به شبکه های توالی سیستم با منابع داخلی صفرشده اعمال نموده و مولفه های تغییرات ولتاژها و جریانهای عناصر مورد نیاز سیستم را محاسبه می کنیم.



149

ادامه مراحل روش اتصال شبکه های توالی

7- تغییرات ولتاژ و جریانهای فازها را در عناصر مورد نیاز از تبدیل فورتسکیو بدست می آوریم:

$$\Delta V_p = T \cdot \Delta V_s = \begin{bmatrix} 1 & 1 & 1 \\ \alpha^2 & \alpha & 1 \\ \alpha & \alpha^2 & 1 \end{bmatrix} \begin{bmatrix} \Delta V^+ \\ \Delta V^- \\ \Delta V^0 \end{bmatrix} = \begin{bmatrix} \Delta V_a \\ \Delta V_b \\ \Delta V_c \end{bmatrix}$$

$$\Delta I_p = T \cdot \Delta I_s = \begin{bmatrix} 1 & 1 & 1 \\ \alpha^2 & \alpha & 1 \\ \alpha & \alpha^2 & 1 \end{bmatrix} \begin{bmatrix} \Delta I^+ \\ \Delta I^- \\ \Delta I^0 \end{bmatrix} = \begin{bmatrix} \Delta I_a \\ \Delta I_b \\ \Delta I_c \end{bmatrix}$$

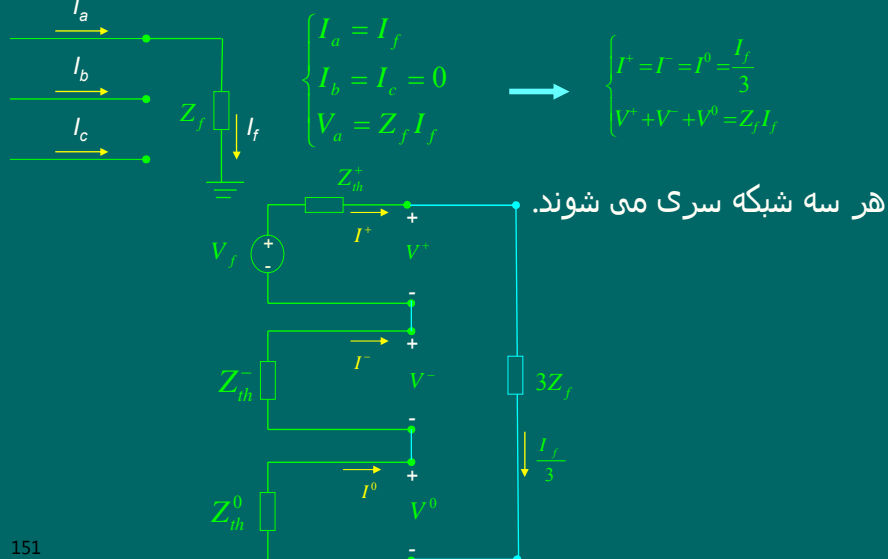
8- با جمع ولتاژ و جریانهای فازها در قبل از اتصال کوتاه و تغییرات ولتاژ و جریانهای ناشی از اتصال کوتاه، ولتاژ و جریانهای بعد از اتصال کوتاه را بدست می آوریم:

$$V_p^f = V_p^0 + \Delta V_p = \begin{bmatrix} V_a^0 \\ V_b^0 \\ V_c^0 \end{bmatrix} + \begin{bmatrix} \Delta V_a \\ \Delta V_b \\ \Delta V_c \end{bmatrix} = \begin{bmatrix} V_a^f \\ V_b^f \\ V_c^f \end{bmatrix}$$

$$I_p^f = I_p^0 + \Delta I_p = \begin{bmatrix} I_a^0 \\ I_b^0 \\ I_c^0 \end{bmatrix} + \begin{bmatrix} \Delta I_a \\ \Delta I_b \\ \Delta I_c \end{bmatrix} = \begin{bmatrix} I_a^f \\ I_b^f \\ I_c^f \end{bmatrix}$$

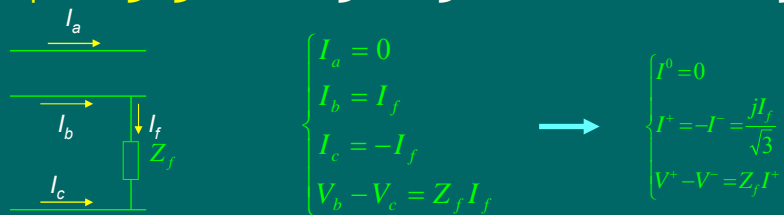
150

نحوه اتصال شبکه های توالی در اتصال تکفاز به زمین

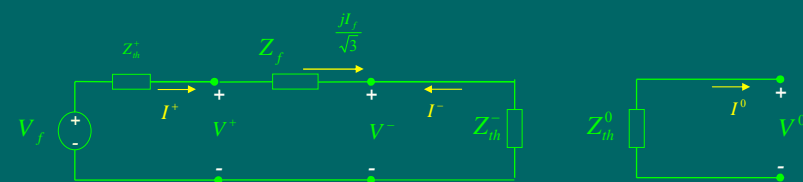


151

نحوه اتصال شبکه های توالی در اتصال دوفاز به هم

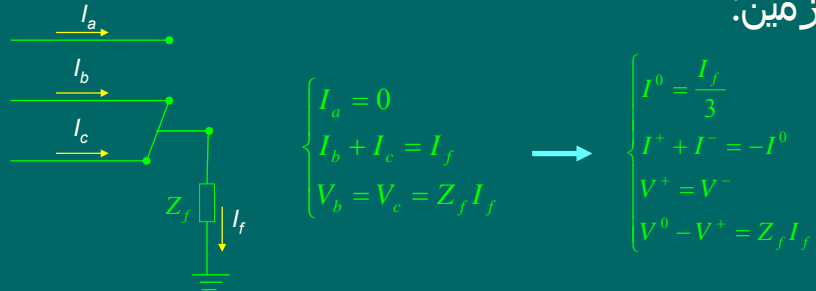


شبکه های مثبت و منفی موازی می شوند و شبکه صفر باز است.



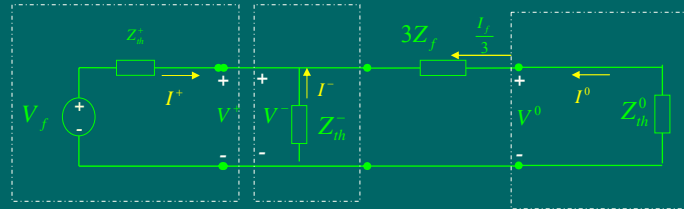
152

نحوه اتصال شبکه های توالی در اتصال دوفاز به هم و به زمین:



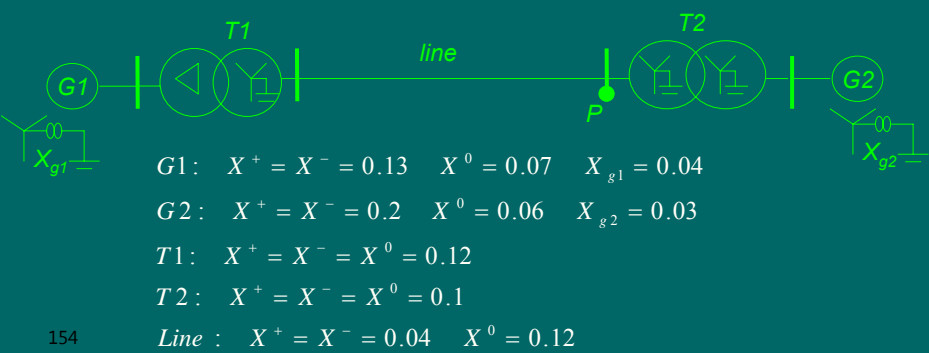
هر سه شبکه توالی موارد می شوند.

153



مثال 8-4

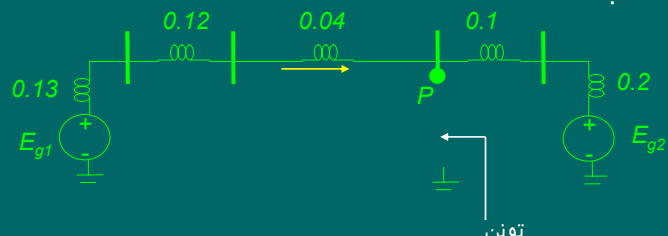
-در سیستم قدرت شکل فوق، در نقطه P یک اتصال کوتاه دوفاز به هم و به زمین با امپدانس $Z_f = j0.02$ رخ می دهد. شبکه در قبل از اتصال کوتاه بی بار و ولتاژ تمامی باسها $<0> 1$ فرض می شود. جریان خط انتقال را در بعد از اتصال کوتاه برای هر فاز محاسبه کنید.



154

حل مثال 8-4

مدل توالی مثبت شبکه:

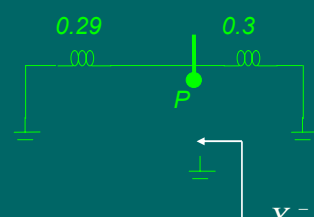
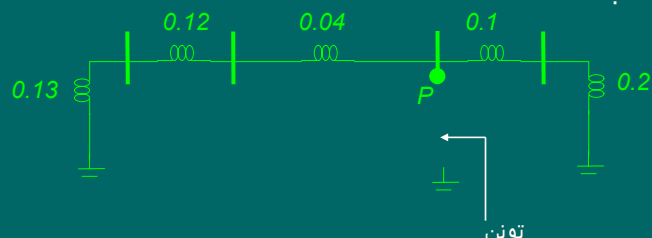


$$X_{th}^+ = 0.29 \parallel 0.3 = 0.147$$

155

ادامه حل مثال 8-4

مدل توالی منفی شبکه:

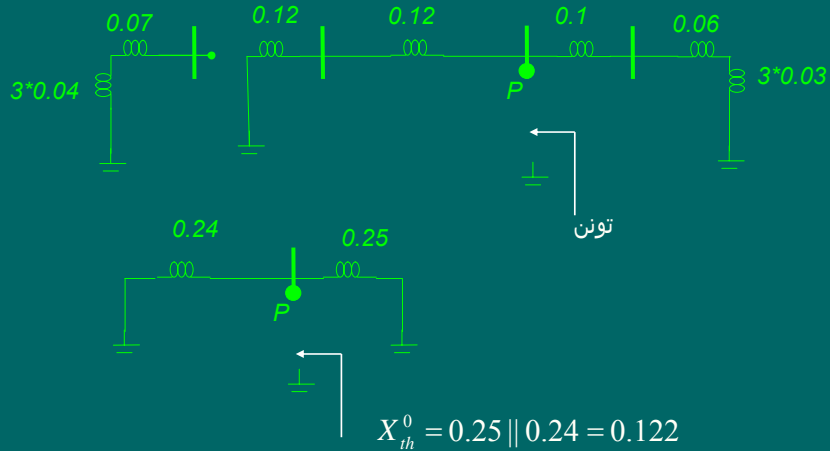


$$X_{th}^- = 0.29 \parallel 0.3 = 0.147$$

156

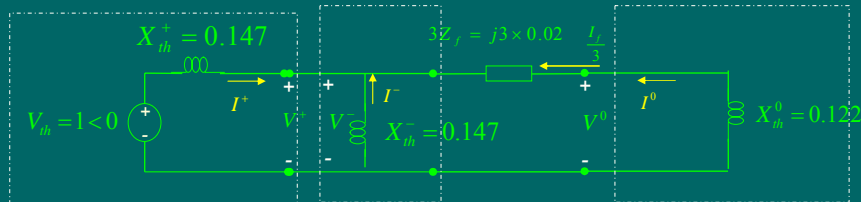
ادامه حل مثال 8-4

مدل توالی صفر شبکه:



157

ادامه حل مثال 8-4



$$I^+ = \frac{V_{th}}{j[X_{th}^+ + (X_{th}^- \parallel (3Z_f + X_{th}^0))]} = \frac{1 < 0}{j[0.147 + (0.147 \parallel (3 \times 0.02 + 0.122))]} = -j4.38$$

$$I^- = -\frac{(3Z_f + X_{th}^0)}{j[X_{th}^- + (3Z_f + X_{th}^0)]} I^+ = -\frac{j(3 \times 0.02 + 0.122)}{j[0.147 + (3 \times 0.02 + 0.122)]} (-j4.38) = j2.423$$

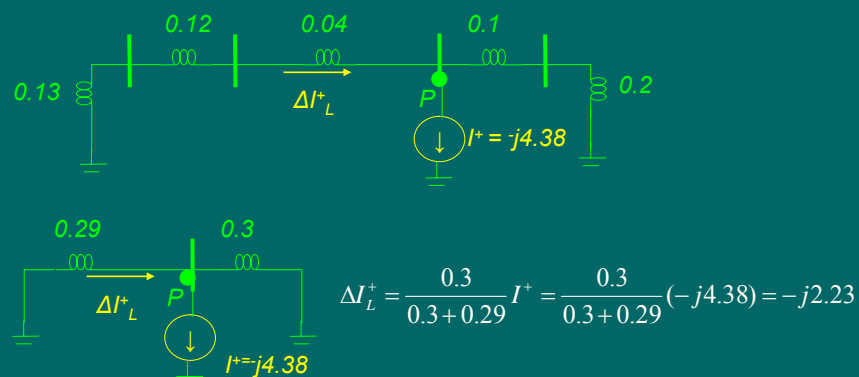
$$I^0 = -(I^+ + I^-) = -(-j4.38 + j2.423) = j1.957$$

$$I_f = 3I^0 = 3 \times j1.957 = j5.871$$

158

ادامه حل مثال 8-4

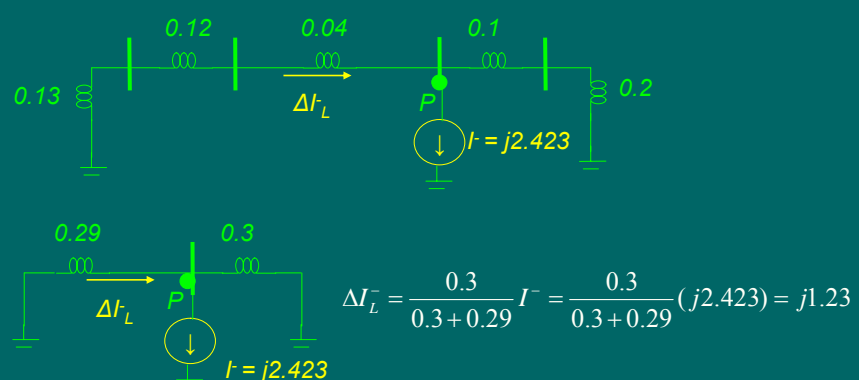
محاسبه مولفه مثبت جریان خط:



159

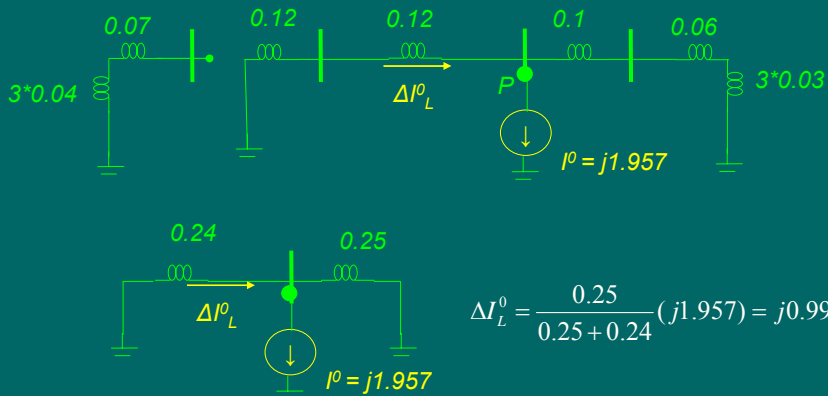
ادامه حل مثال 8-4

محاسبه مولفه منفی جریان خط:



160

ادامه حل مثال 8-4 : محاسبه مولفه صفر جریان خط



161

ادامه حل مثال 8-4 : محاسبه جریان فازی خط

تغییرات جریان فازهای خط ناشی از اتصال کوتاه:

$$\begin{bmatrix} \Delta I_{La} \\ \Delta I_{Lb} \\ \Delta I_{Lc} \end{bmatrix} = \begin{bmatrix} 1 & 1 & 1 \\ \alpha^2 & \alpha & 1 \\ \alpha & \alpha^2 & 1 \end{bmatrix} \begin{bmatrix} \Delta I_L^+ = -j2.23 \\ \Delta I_L^- = j1.23 \\ \Delta I_L^0 = j0.999 \end{bmatrix} = \begin{bmatrix} -j0.001 \\ -2.996 + j1.499 \\ 2.996 + j1.499 \end{bmatrix} = \begin{bmatrix} 0.001 < -90^\circ \\ 3.35 < 153.4^\circ \\ 3.35 < 26.58^\circ \end{bmatrix}$$

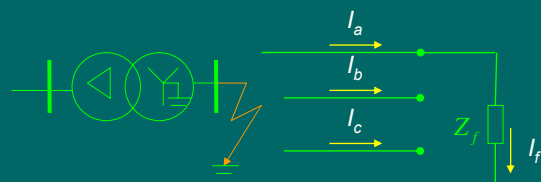
جریان فازهای خط در بعد از اتصال کوتاه:

$$\begin{bmatrix} I_a^f \\ I_b^f \\ I_c^f \end{bmatrix} = \begin{bmatrix} I_a^o \\ I_b^o \\ I_c^o \end{bmatrix} + \begin{bmatrix} \Delta I_a \\ \Delta I_b \\ \Delta I_c \end{bmatrix} = \begin{bmatrix} 0 \\ 0 \\ 0 \end{bmatrix} + \begin{bmatrix} 0.001 < -90^\circ \\ 3.35 < 153.4^\circ \\ 3.35 < 26.58^\circ \end{bmatrix} = \begin{bmatrix} 0.001 < -90^\circ \\ 3.35 < 153.4^\circ \\ 3.35 < 26.58^\circ \end{bmatrix}$$

162

9-4 مثال

در ثانویه یک ترانسفورماتور مثلث-ستاره زمین شده یک اتصال کوتاه تکفارز به زمین رخ داده است و جریان اتصال کوتاه $j0.9P_u$ -برقرار است. جریانهای خط در هر فاز اولیه ترانسفورماتور را حساب کنید؟



حل:

محاسبه مولفه های جریان اتصال کوتاه در ثانویه:

$$I_s = T^{-1} I_p \rightarrow \begin{bmatrix} I_2^+ \\ I_2^- \\ I_2^0 \end{bmatrix} = \frac{1}{3} \begin{bmatrix} 1 & \alpha & \alpha^2 \\ 1 & \alpha^2 & \alpha \\ 1 & 1 & 1 \end{bmatrix} \begin{bmatrix} I_{a2} = I_f = -j0.9 \\ I_{b2} = 0 \\ I_{c2} = 0 \end{bmatrix}$$

$$I_2^+ = I_2^- = I_2^0 = \frac{1}{3}(-j0.9) = -j0.3$$

163

مدل مثبت ترانس:	مدل منفی ترانس:	ادامه حل:
$I_1^+ = I_2^+ = -j0.3$	$I_1^- = I_2^- = -j0.3$	

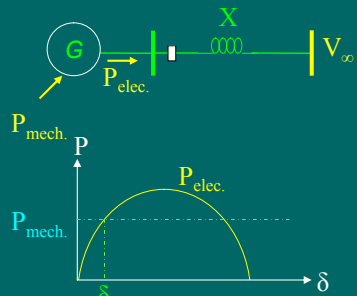
مدل صفر ترانس:	$I_1^0 = 0$

$$\begin{bmatrix} I_{al} \\ I_{bl} \\ I_{cl} \end{bmatrix} = \begin{bmatrix} 1 & 1 & 1 \\ \alpha^2 & \alpha & 1 \\ \alpha & \alpha^2 & 1 \end{bmatrix} \begin{bmatrix} I_1^+ = -j0.3 \\ I_1^- = -j0.3 \\ I_1^0 = 0 \end{bmatrix} \Rightarrow \begin{cases} I_{al} = -j0.6 \\ I_{bl} = 0.3 < (-120-90) + 0.3 < (120-90) = j0.3 \\ I_{cl} = 0.3 < (120-90) + 0.3 < (-120-90) = j0.3 \end{cases}$$

164

فصل پنجم : پایداری گذراي سیستم قدرت

- اتصال یک ژنراتور به یک باس بی نهایت از طریق یک خط به راکتانس X (سیستم دومنطقه ای):



- در حالت عادی : توان الکتریکی و توان مکانیکی در یک زاویه قدرت مشخص δ_0 برابر اند:

- چون اکثر خطا (اتصال کوتاه)‌ها گذرا هستند و خود به خود از بین می‌روند اگر خطای در خط رخ دهد، **ریکلوزر** (رله‌های) خط، خطا را تشخیص داده و فرمان به قطع خط می‌دهند و مجدداً پس از چند سیکل فرمان به وصل خط می‌دهند.
- در حین خطا چون توان الکتریکی خروجی کمتر از توان مکانیکی ورودی است، ژنراتور سرعت می‌گیرد.

165

سنکرونیزم

- اگر فرمان وصل مجدد ریکلوزرها خیلی زود باشد ممکن است اتصال کوتاه از بین نرفته باشد (زیرا مثلاً عایق هوای بین خطوط که یونیزه شده، هنوز ترمیم نیافرته باشد).

- اگر فرمان وصل مجدد دیر باشد، ژنراتور آنقدر سرعت گرفته که دیگر حتی با وصل به شبکه و قرار گرفتن بار بر روی آن، سرعت آن کم نشده و اصطلاحاً نمی‌تواند **سنکرونیزم** خود را با شبکه حفظ کند و **نایدار** می‌شود.

- مدت زمان قطع خط چقدر باشد تا ژنراتور پس از وصل پایدار بماند؟

166

تعریف زاویه قدرت

- اگر ω سرعت زاویه ای ژنراتور

- θ موقعیت زاویه ای رتور

- ω_0 سرعت زاویه ای سنکرون ژنراتور و

- اختلاف سرعت سرعت روتور نسبت به سرعت سنکرون باشد.

$$\omega = \omega_0 + \Delta \omega$$

$$\omega = \frac{d\theta}{dt} \Rightarrow d\theta = \omega dt \Rightarrow \int_{\theta_0}^{\theta} d\theta = \int_0^t \omega dt$$

$$\theta = \int_0^t \omega dt + \theta_0 = \int_0^t (\omega_0 + \Delta \omega) dt + \theta_0 = \omega_0 t + \underbrace{\int_0^t \Delta \omega dt}_{\delta} + \theta_0 = \omega_0 t + \delta$$

$$\delta = \theta - \omega_0 t = \int_0^t \Delta \omega dt + \theta_0$$

- بنابراین δ انتگرال سرعت نسبی روتور نسبت به سرعت سنکرون است.

167

مشتق اول زاویه قدرت

$$\delta = \theta - \omega_0 t = \int_0^t \Delta \omega dt + \theta_0$$

$$\frac{d\delta}{dt} = \dot{\delta} = \Delta \omega$$

168

بحث در مورد زاویه قدرت

- در حالت کار عادی ژنراتور:

$$P_{elec} = P_{mech} \Rightarrow \omega = \omega_0 \Rightarrow \Delta\omega = 0 \Rightarrow \delta = \int_0^t \Delta\omega dt + \theta_0 = \theta_0 = \text{constant}$$

- اگر سرعت ژنراتور بیشتر از سرعت سنکرون باشد:

$$\omega > \omega_0 \Rightarrow \Delta\omega > 0 \Rightarrow \delta \uparrow = \int_0^t \Delta\omega dt + \theta_0$$

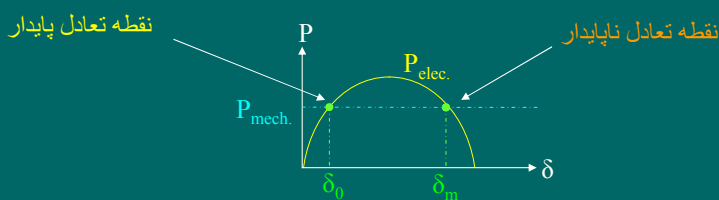
- اگر سرعت ژنراتور کمتر از سرعت سنکرون باشد:

$$\omega < \omega_0 \Rightarrow \Delta\omega < 0 \Rightarrow \delta \downarrow = \int_0^t \Delta\omega dt + \theta_0$$

169

نقاط تعادل پایدار و ناپایدار

- در حالت کار عادی ژنراتور:



- اگر $\delta_m > \delta > \delta_0$ شود، توان مکانیکی از توان الکتریکی بیشتر شده و ژنراتور ناپایدار می شود.

- اگر $\delta < \delta_0$ شود، توان مکانیکی از توان الکتریکی کمتر شده و ژنراتور به نقطه تعادل پایدارش بر می گردد.

170

تعریف ثابت اینرسی

ثابت اینرسی به صورت نسبت انرژی جنبشی در فرکانس سنکرون به توان ظاهری ژنراتور تعریف می شود. بنابراین:

$$H = \frac{W_{Kin}^0}{S} \Rightarrow W_{Kin}^0 = H \cdot S$$

دیمانسیون ثابت اینرسی **ثانیه** است.

171

انرژی جنبشی در یک ژنراتور :

$$\begin{aligned} \frac{W_{kin}}{W_{Kin}^0} &= \frac{\frac{1}{2}I\omega^2}{\frac{1}{2}I\omega_0^2} = \left(\frac{\omega}{\omega_0}\right)^2 = \left(\frac{\omega_0 + \Delta\omega}{\omega_0}\right)^2 = \left(1 + \frac{\Delta\omega}{\omega_0}\right)^2 = 1 + 2\left(\frac{\Delta\omega}{\omega_0}\right) + \left(\frac{\Delta\omega}{\omega_0}\right)^2 \approx 1 + 2\left(\frac{\Delta\omega}{\omega_0}\right) \\ W_{kin} &= W_{Kin}^0 \left(1 + 2\frac{\dot{\delta}}{\omega_0}\right) = W_{Kin}^0 \left(1 + 2\frac{\dot{\delta}}{\omega_0}\right) \\ \frac{dW_{kin}}{dt} &= \frac{d}{dt} \left[W_{Kin}^0 \left(1 + 2\frac{\dot{\delta}}{\omega_0}\right) \right] = \frac{\overset{H.S}{\cancel{W_{Kin}^0}}}{\underset{2\pi f_0}{\cancel{\omega_0}}} \frac{d\dot{\delta}}{dt} = \frac{W_{Kin}^0}{\pi f_0} \frac{d\dot{\delta}}{dt} = \frac{H.S}{\pi f_0} \ddot{\delta} \end{aligned}$$

172

معادله نوسان :

$$P_m - P_e = \frac{dW_{kin}}{dt} = \frac{H.S}{\pi f_0} \ddot{\delta}$$

معادله نوسان را پریوینیت می کنیم:

$$P_m - P_e = \frac{H}{\pi f_0} \ddot{\delta}$$

$$\ddot{\delta} = \frac{\pi f_0}{H} (P_m - P_e)$$

173

شرط پایدار شدن ژنراتور

- اگر بر اثر یک خطا، با گذشت چندین ثانیه زمان δ همواره افزایش یابد، ژنراتور **ناپایدار** خواهد شد ولی اگر δ پس از یک دوره افزایش، شروع به کاهش نماید، ژنراتور **پایدار** خواهد شد.
- تغییرات δ نسبت به زمان را می توان با حل معادله نوسان مشاهده نمود.
- اگر ژنراتور پایدار شود در یک نقطه **مشتق δ صفر** خواهد بود.

174

معیار سطوح مساوی

$$\ddot{\delta} = \frac{\pi f_0}{H} (P_m - P_e)$$

$$\ddot{\delta} = \frac{d \dot{\delta}}{dt} = \frac{d \dot{\delta}}{d \delta} \frac{d \delta}{dt} = \dot{\delta} \frac{d \dot{\delta}}{d \delta} = \frac{\pi f_0}{H} (P_m - P_e)$$

$$\dot{\delta} d \dot{\delta} = \frac{\pi f_0}{H} (P_m - P_e) d \delta$$

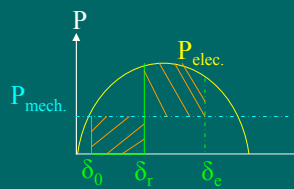
$$\int_{\dot{\delta}(0)=0}^{\dot{\delta}(t)} \dot{\delta} d \dot{\delta} = \int_{\delta_0}^{\delta(t)} \frac{\pi f_0}{H} (P_m - P_e) d \delta$$

$$\frac{1}{2} \dot{\delta}^2 = \int_{\delta_0}^{\delta(t)} \frac{\pi f_0}{H} (P_m - P_e) d \delta$$

$$\dot{\delta} = \sqrt{2 \frac{\pi f_0}{H} \int_{\delta_0}^{\delta(t)} (P_m - P_e) d \delta}$$

$$175 \quad \text{if } \dot{\delta} = 0 \Rightarrow \int_{\delta_0}^{\delta(t)} (P_m - P_e) d \delta = 0$$

ادامه معیار سطوح مساوی



$$\int_{\delta_0}^{\delta_e} (P_m - P_e) d \delta = 0$$

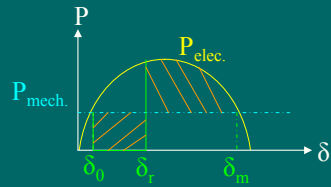
$$\int_{\delta_0}^{\delta_r} (P_m - P_e) d \delta + \int_{\delta_r}^{\delta_e} (P_m - P_e) d \delta = 0$$

$$\underbrace{\int_{\delta_0}^{\delta_r} (P_m - P_e) d \delta}_{A_{acc}} = \underbrace{\int_{\delta_r}^{\delta_e} (P_e - P_m) d \delta}_{A_{dec}}$$

$$A_{acc} = A_{dec}$$

نتیجه: اگر سطح شتاب دهنده مساوی سطح شتاب گیرنده باشد، ژنراتور پایدار می‌ماند.

بررسی پایداری بوسیله معیار سطوح مساوی



زاویه وصل است.

$$A_{acc} = \int_{\delta_0}^{\delta_r} (P_m - P_e) d\delta \quad A_{dec}^{\max} = \int_{\delta_r}^{\delta_m} (P_e - P_m) d\delta$$

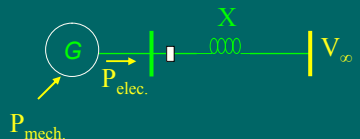
if $A_{acc} < A_{dec}^{\max}$ \Rightarrow Stable

if $A_{acc} > A_{dec}^{\max}$ \Rightarrow Unstable

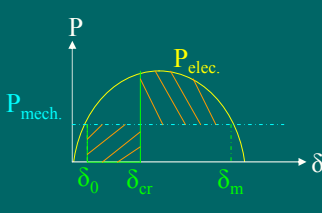
if $A_{acc} = A_{dec}^{\max}$ \Rightarrow Critical

177

مثال 1-5



یک ژنراتور با $P_{max} = 2.4$ از طریق یک خط انتقال توان 0.67 پریونیت را به یک بسیاری نهایت تحولی می‌دهد. اگر در خط انتقال یک اتصال کوتاه سه فاز رخ دهد و ریکلوزر خط را برای لحظاتی قطع کند. زاویه بحرانی رفع اتصال کوتاه را بیابید.



$$P_e(\delta_0) = P_{max} \sin \delta_0 = P_m$$

$$2.4 \sin \delta_0 = 0.67$$

$$\delta_0 = 16.21^\circ = 0.283 \text{ rad}$$

$$\delta_m = \pi - \delta_0 = \pi - 0.283 \text{ rad} = 2.859 \text{ rad} = 163.79^\circ$$

$$A_{acc} = \int_{\delta_0}^{\delta_r} (P_m - P_e) d\delta$$

$$= \int_{0.283 \text{ rad}}^{\delta_{cr}} (0.67 - 0) d\delta = 0.67(\delta_{cr} - 0.283 \text{ rad})$$

$$A_{acc} = 0.67 \delta_{cr} - 0.19$$

178

ادامه حل مثال 1-6

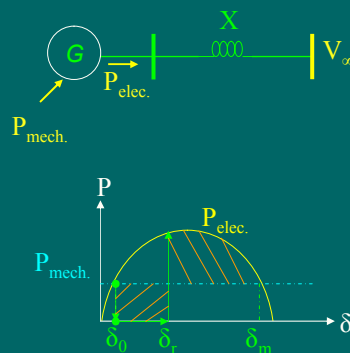
$$\begin{aligned}
 A_{dec}^{\max} &= \int_{\delta_{cr}}^{\delta_m} (P_e - P_m) d\delta \\
 &= \int_{\delta_{cr}}^{2.859^{rad}} (2.4 \sin \delta - 0.67) d\delta = \\
 &= -2.4 \cos(2.859^{rad}) + 2.4 \cos \delta_{cr} - 0.67(2.859^{rad} - \delta_{cr}) \\
 A_{dec}^{\max} &= 0.389 + 2.4 \cos \delta_{cr} + 0.67 \delta_{cr} \\
 A_{acc} &= A_{dec}^{\max} \\
 0.67 \delta_{cr} - 0.19 &= 0.389 + 2.4 \cos \delta_{cr} + 0.67 \delta_{cr} \\
 2.4 \cos \delta_{cr} &= -0.19 - 0.389 \\
 \delta_{cr} &= 1.814^{rad} = 104^\circ
 \end{aligned}$$

179

مثال 2-5

یک ژنراتور با حداکثر قدرت 2 و ثابت اینرسی 5 ثانیه و فرکانس 50 هرتز توسط یک خط انتقال به یک بارس بی نهات متصل است و توان یک پریونیت را به آن تحویل می‌دهد. اگر خط انتقال به مدت 0.2 ثانیه قطع شده و دوباره وصل شود. آیا ژنراتور پایدار خواهد ماند یا خیر؟

حل: ابتدا شکل رارسم می‌کنیم:



180

ادامه حل مثال 2-5

زاویه معادل 0.2 ثانیه را

محاسبه می کنیم

for $0 \leq t \leq 0.2 \text{ sec}$:

$$\ddot{\delta} = \frac{\pi f_0}{H} (P_m - P_e) = \frac{50\pi}{5} (1 - 0) = 10\pi$$

$$\ddot{\delta} = \frac{d \dot{\delta}}{dt} = 10\pi \Rightarrow d \dot{\delta} = 10\pi dt$$

$$\int_{\dot{\delta}(0)=0}^{\dot{\delta}(t)} d \dot{\delta} = \int_{t=0}^t 10\pi dt$$

$$\dot{\delta} - 0 = 10\pi(t - 0)$$

$$\frac{d \delta}{dt} = 10\pi t \Rightarrow d \delta = 10\pi t dt$$

$$\int_{\delta_0}^{\delta(t)} d \delta = \int_{t=0}^t 10\pi t dt$$

$$\delta(t) - \delta_0 = \frac{10\pi}{2} (t^2 - 0^2)$$

$$\delta(t) = \frac{10\pi}{2} t^2 + \delta_0$$

181

ادامه حل مثال 2-5

: δ_0 محاسبه

$$P_e(\delta_0) = P_{\max} \sin \delta_0 = P_m$$

$$2 \sin \delta_0 = 1$$

$$\delta_0 = 30^\circ = 0.524 \text{ rad}$$

$$\delta_m = \pi - \delta_0 = \pi - 0.524 \text{ rad} = 2.618 \text{ rad} = 150^\circ$$

: δ_r محاسبه

$$\delta(t) = \frac{10\pi}{2} t^2 + \delta_0$$

$$\delta_r = \delta(0.2) = \frac{10\pi}{2} 0.2^2 + 0.524 = 1.152 \text{ rad} = 66.0^\circ$$

182

ادامه حل مثال 2-5

$$A_{acc} = \int_{\delta_0}^{\delta_e} (P_m - P_e) d\delta$$

$$= \int_{0.524^{rad}}^{1.152} (1 - 0) d\delta = (1.152 - 0.524) = 0.628$$

محاسبه سطح شتاب دهنده:

$$A_{dec}^{\max} = \int_{\delta_r}^{\delta_e} (P_e - P_m) d\delta$$

$$= \int_{1.152}^{2.618^{rad}} (2 \sin \delta - 1) d\delta =$$

$$= -2(\cos(2.618^{rad}) - \cos(1.152^{rad})) - (2.618^{rad} - 1.152^{rad})$$

$$A_{dec}^{\max} = 1.08$$

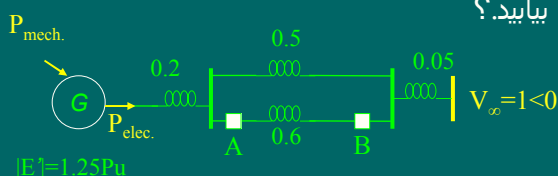
محاسبه حداقل سطح شتاب گیرنده:

$$A_{acc} = 0.628 < A_{dec}^{\max} = 1.08 \Rightarrow Stable$$

183

مثال 3-5

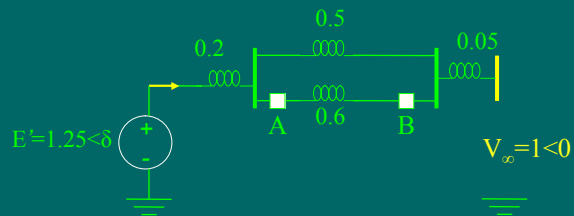
در سیستم قدرت شکل زیر هنگامیکه ژنراتور توان یک پربونیت را به سیستم تحويل می دهد، یک اتصال کوتاه سه فاز متقارن دقیقا در وسط خط **AB** رخ می دهد. سپس کلیدهای **A** و **B** بطور همزمان عمل نموده و اتصال کوتاه را برطرف می کنند. زاویه بحرانی رفع اتصال کوتاه را بیابید.؟



حل: ابتدا شکل را رسم می کنیم:

184

حل: شکل در حالت قبل از اتصال کوتاه:



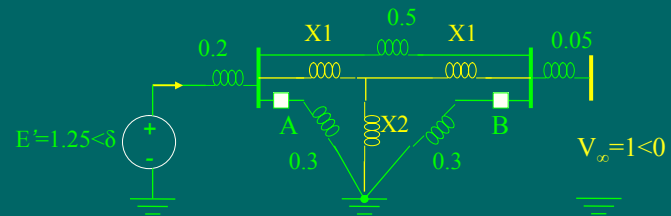
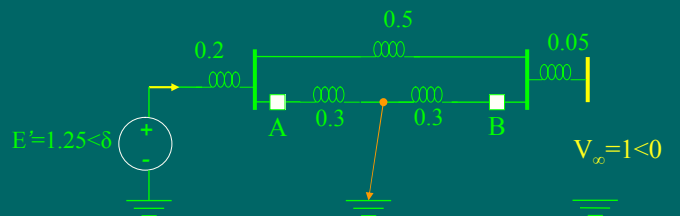
$$X_{el} = 0.2 + (0.5 \parallel 0.6) + 0.05 = 0.523$$

$$P_{el} = \frac{1.25 \times 1}{0.523} \sin(\delta - 0) = 2.39 \sin \delta$$

$$P_{el} = P_m \Rightarrow 2.39 \sin \delta_0 = 1 \Rightarrow \delta_0 = 24.72^\circ = 0.43 \text{ rad}$$

185

حل: شکل در حالت حین اتصال کوتاه:

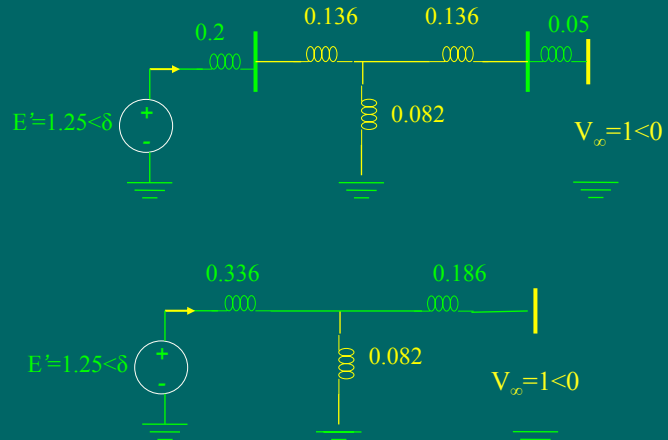


$$X_1 = \frac{0.5 \times 0.3}{0.5 + 0.3 + 0.3} = 0.136$$

$$X_2 = \frac{0.3 \times 0.3}{0.5 + 0.3 + 0.3} = 0.082$$

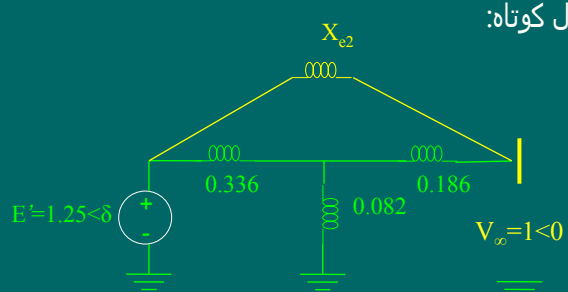
186

حل: ادامه حالت حين اتصال کوتاه:



187

حل: ادامه حالت حين اتصال کوتاه:

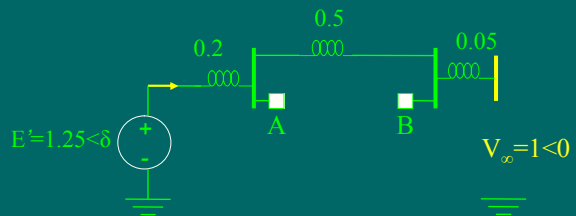


$$X_{e2} = \frac{0.336 \times 0.186 + 0.336 \times 0.082 + 0.186 \times 0.082}{0.082} = 1.284$$

$$P_{e2} = \frac{1.25 \times 1}{1.284} \sin(\delta - 0) = 0.97 \sin \delta$$

188

حل: شکل در حالت بعد از رفع اتصال کوتاه (قطع خط (AB)):

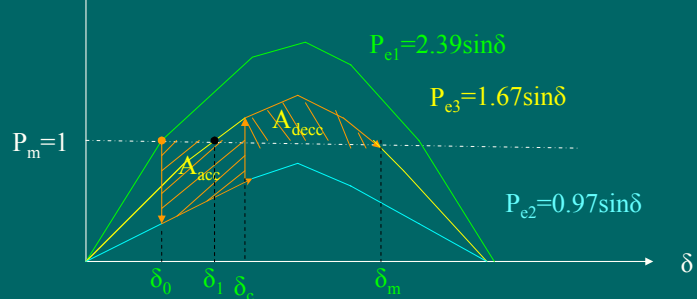


$$X_{e3} = 0.2 + 0.5 + 0.05 = 0.75$$

$$P_{e3} = \frac{1.25 \times 1}{0.75} \sin(\delta - 0) = 1.67 \sin \delta$$

189

ادامه حل: شکل را رسم می کنیم:



$$P_{e3} = P_m \Rightarrow 1.67 \sin \delta_1 = 1 \Rightarrow \delta_1 = 36.78^\circ = 0.64^{\text{rad}}$$

$$\delta_m = \pi - \delta_1 = \pi - 0.64^{\text{rad}} = 2.45^{\text{rad}} = 57.30^\circ$$

190

ادامه حل مثال 3-5

محاسبه سطح شتاب دهنده:

$$\begin{aligned} A_{acc} &= \int_{\delta_0}^{\delta_c} (P_m - P_e) d\delta = \int_{0.431^{rad}}^{\delta_c} (1 - 0.97 \sin \delta) d\delta \\ &= (\delta_c - 0.431) + 0.97(\cos \delta_c - \cos 0.431^{rad}) = \\ &= \delta_c + 0.97 \cos \delta_c - 1.312 \end{aligned}$$

محاسبه سطح شتاب گیرنده:

$$\begin{aligned} A_{dec}^{\max} &= \int_{\delta_c}^{\delta_m} (P_e - P_m) d\delta = \int_{\delta_c}^{2.45^{rad}} (1.67 \sin \delta - 1) d\delta = \\ &= -1.67(\cos 2.45^{rad} - \cos \delta_c) - (2.45^{rad} - \delta_c) \\ A_{dec}^{\max} &= \delta_c + 1.67 \cos \delta_c - 1.164 \end{aligned}$$

$$A_{acc} = A_{dec}^{\max}$$

$$\delta_c + 0.97 \cos \delta_c - 1.312 = \delta_c + 1.67 \cos \delta_c - 1.164$$

$$0.7 \cos \delta_c = -0.148$$

$$\delta_c = 102.2^\circ$$

191

مثال 3-6

در سیستم قدرت شکل زیر هنگامیکه ژنراتور توان یک پریونیت را به سیستم تحويل می دهد، یک اتصال کوتاه سه فاز متقاضی در نقطه P رخ می دهد. سپس کلیدهای A و B بطور همزمان عمل نموده و اتصال کوتاه را برطرف می کنند. زاویه بحرانی برطرف نمودن اتصال کوتاه را محاسبه کنید.

solu

192

فصل ششم : کنترل دینامیکی سیستم قدرت

- هدف این فصل : چگونگی نگهداشتن سیستم قدرت در حالت کار نرمال در هنگام تغییرات کم بار
- این کار توسط **کنترل پیوسته و خودکار** سیستم قدرت انجام می‌گیرد.
- در ژنراتورهای بزرگ **دو حلقه کنترل** اصلی داریم:
 - 1- حلقه کنترل خودکار ولتاژ (**AVR**) برای تنظیم ولتاژ
 - 2- حلقه کنترل خودکار بار-فرکانس (**ALFC**) برای تنظیم توان
- حقیقی خروجی و فرکانس که خود از دو حلقه تشکیل شده است:
- حلقه **ALFC** اولیه که سریع به تغییر فرکانس پاسخ می‌دهد و لی فرکانس را بطور **غیردقیق** کنترل می‌کند.
- حلقه **ALFC** ثانویه که کنترل به تغییر فرکانس پاسخ می‌دهد و لی فرکانس را بطور **دقیق** تنظیم می‌کند.

193

تابع انتقال یک سیستم خطی

- تابع انتقال نسبت خروجی به ورودی است.

- سیستم بدون تأخیر

$$u(s) \longrightarrow [K] \longrightarrow y(s) = k \cdot u(s)$$

$$\text{تابع انتقال : } G(s) = \frac{y(s)}{u(s)} = k$$

194

تابع انتقال یک سیستم خطی با تأخیر



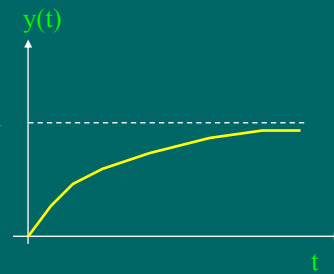
$$G(s) = \frac{y(s)}{u(s)} = \frac{K}{1 + ST} \quad \begin{array}{l} \text{کین (بهره)} \\ \text{ثابت زمانی تأخیر} \end{array}$$

if $u(s) = \frac{A}{s}$

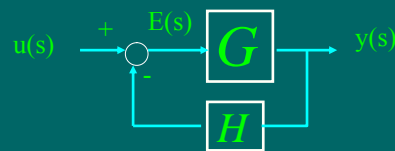
$$y(s) = G(s)u(s) = \frac{K}{1 + sT} \cdot \frac{A}{s} = KA \left(\frac{1}{s} - \frac{1}{s + \frac{1}{T}} \right)$$

$$y(t) = KA \left(1 - e^{-\frac{t}{T}} \right) \quad \text{for } t \geq 0$$

195



تابع انتقال یک سیستم مدار بسته



$$y = G \cdot E = G(u - Hy) = Gu - GHy$$

$$y = \frac{Gu}{1 + GH}$$

$$\text{تابع انتقال : } G'(s) = \frac{y(s)}{u(s)} = \frac{G}{1 + GH}$$

$$u(s) \longrightarrow G' = \frac{G}{1 + GH} \longrightarrow y(s)$$

196

ادامه تابع انتقال یک سیستم مدار بسته

$$\text{if } \begin{cases} u(s) = \frac{A}{s} \\ G = \frac{K}{1+sT} \\ H = 1 \end{cases}$$

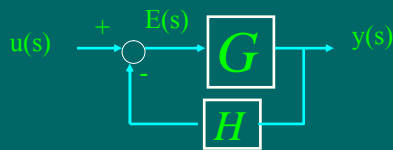
$$G' = \frac{G}{1+GH} = \frac{\frac{K}{1+sT}}{1+\left(\frac{K}{1+sT}\right) \times 1} = \frac{\left(\frac{K}{K+1}\right)}{1+s\left(\frac{T}{K+1}\right)} = \frac{K'}{1+sT'}$$

$$K' = \frac{K}{K+1} \quad T' = \frac{T}{K+1}$$

$$y(t) = K'A\left(1 - e^{-\frac{t}{T'}}\right) = \left(\frac{K}{K+1}\right)A\left(1 - e^{-\left(\frac{t}{K+1}\right)}\right) \quad \text{for } t \geq 0$$

197

خطا در یک سیستم مدار بسته



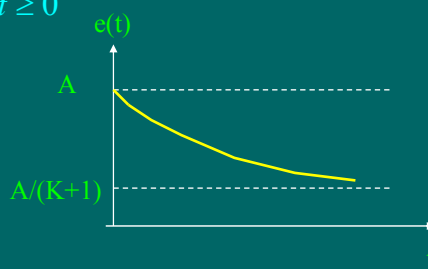
$$\text{خطا: } E = u - Hy = u - H\left(\frac{G \cdot u}{1 + G \cdot H}\right) = \frac{u}{1 + G \cdot H}$$

198

رسم تابع زمانی خطا در سیستم مدار بسته

$$if \quad \begin{cases} u(s) = \frac{A}{s} \\ G = \frac{K}{1+sT} \\ H = 1 \end{cases} \quad E = \frac{u}{1+GH} = \frac{\left(\frac{A}{s}\right)}{1+\left(\frac{K}{1+sT}\right)\times 1} = \frac{A(1+ST)}{s(ST+1+K)} = \frac{A}{K+1} \left(\frac{1}{s} - \frac{k}{s + \frac{K+1}{T}} \right)$$

$$e(t) = \left(\frac{A}{K+1} \right) \left(1 + ke^{\frac{-kt}{k+1}} \right) \quad for \quad t \geq 0$$



199

تابع انتقال برای یک سیستم پیچیده

- تابع انتقال سیستمهای پیچیده را از قاعده میسون بدست می آوریم:
- قاعده میسون برای یک سیستم تک حلقه ای با یک ورودی:

$$Y = \frac{PU}{1-L}$$

Y : خروجی

U : ورودی

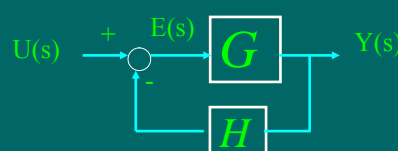
L : حلقه

P : مسیر ورودی U تا خروجی

200

مثال 1-6

- بدست آوردن **خروجی و خطای** برای یک سیستم مدار بسته با استفاده از قاعده میسون:



- بدست آوردن **خروجی**:

$$P = G \quad L = -GH$$

$$\text{تابع انتقال خروجی : } Y = \frac{P \cdot U}{1 - L} = \frac{G \cdot U}{1 - (-GH)} = \frac{G \cdot U}{1 + GH}$$

$$P = 1 \quad L = -GH \quad \text{بدست آوردن خطای :}$$

$$\text{تابع انتقال خطای : } E = \frac{P \cdot U}{1 - L} = \frac{1 \cdot U}{1 - (-GH)} = \frac{U}{1 + GH}$$

قاعده میسون برای یک سیستم دو حلقه ای

- قاعده میسون برای یک سیستم دو حلقه ای با دو ورودی:

$$Y = \frac{P_1 U_1 + P_2 U_2}{1 - (L_1 + L_2) + L_1 L_2}$$

Y: خروجی

U_1 و U_2 : ورودیها

L_1 و L_2 : حلقه ها

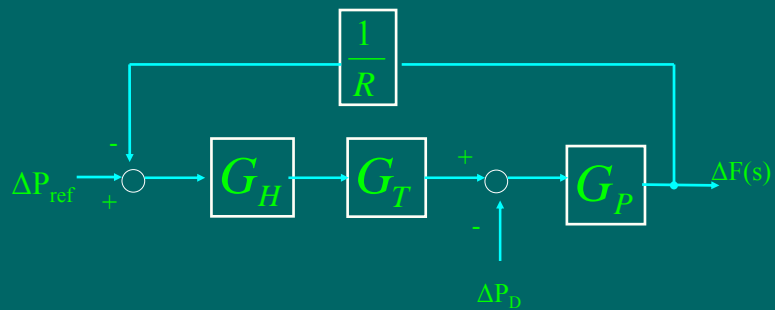
$L_1 \cdot L_2$: موقعی است که اشتراک نداشته باشند.

P_1 : مسیر ورودی U_1 تا خروجی

P_2 : مسیر ورودی U_2 تا خروجی

مثال 2-6

- قاعده میسون برای یک سیستم تک حلقه ای با دو ورودی:



203

حل مثال 2-6

: خروجی -

$$L_1 = -G_H G_T G_P \left(\frac{1}{R} \right) \quad L_2 = 0$$

$$U_1 = \Delta P_{ref} \quad U_2 = \Delta P_D$$

$$P_1 = G_H G_T G_P \quad P_2 = -G_P$$

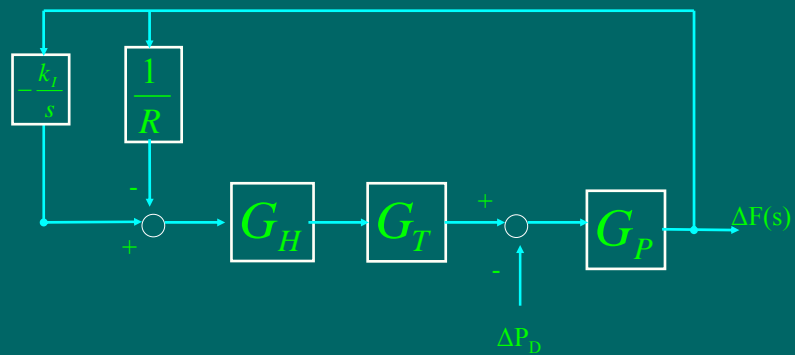
$$\Delta F = \frac{P_1 U_1 + P_2 U_2}{1 - (L_1 + L_2) + L_1 L_2} = \frac{(G_H G_T G_P) \Delta P_{ref} + (-G_P) \Delta P_D}{1 - \left(-G_H G_T G_P \left(\frac{1}{R} \right) + 0 \right) + 0}$$

$$\Delta F = \frac{(G_H G_T G_P) \Delta P_{ref} + (-G_P) \Delta P_D}{1 + G_H G_T G_P \left(\frac{1}{R} \right)}$$

204

مثال 3-6

- قاعده میسون برای یک سیستم دو حلقه ای با یک ورودی:



205

حل مثال 3-6

: خروجی -

$$L_1 = -G_H G_T G_P \left(\frac{1}{R} \right) \quad L_2 = G_H G_T G_P \left(\frac{-K_I}{s} \right)$$

$$U = \Delta P_D \quad P = -G_P$$

$$\Delta F = \frac{PU}{1 - (L_1 + L_2) + L_1 L_2} = \frac{(-G_P) \Delta P_D}{1 - \left(-G_H G_T G_P \left(\frac{1}{R} \right) + G_H G_T G_P \left(\frac{-K_I}{s} \right) \right) + 0}$$

$$\Delta F = \frac{(-G_P) \Delta P_D}{1 + G_H G_T G_P \left(\frac{1}{R} + \frac{K_I}{s} \right)}$$

206

محاسبه مقدار نهائی (*steady state*)

$$y_{ss} = \lim_{t \rightarrow \infty} y(t) = \lim_{s \rightarrow 0} sY(s)$$

207

مثال 4-6: محاسبه مقدار نهائی سیستم با تأخیر

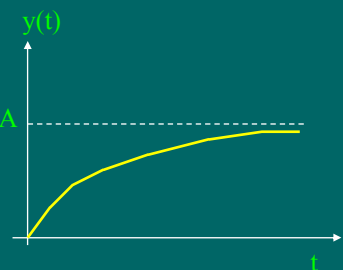
$$U(s) \xrightarrow{\boxed{\frac{K}{1+ST}}} Y(s)$$

$$Y(s) = \frac{K}{1+ST} U(s)$$

$$\text{if } U(s) = \frac{A}{s}$$

$$Y(s) = G(s)u(s) = \frac{K}{1+sT} \cdot \frac{A}{s} = KA \left(\frac{1}{s} - \frac{1}{s + \frac{1}{T}} \right)$$

$$y(t) = KA \left(1 - e^{-\frac{t}{T}} \right) \quad \text{for } t \geq 0$$



208

حل مثال با استفاده از قضیه مقدار نهائی

$$y_{ss} = \lim_{t \rightarrow \infty} y(t) = \lim_{t \rightarrow \infty} KA \left(1 - e^{-\frac{t}{T}} \right) = KA$$
$$y_{ss} = \lim_{s \rightarrow 0} sY(s) = \lim_{s \rightarrow 0} s \left(\frac{K}{1+sT} \cdot \frac{A}{s} \right) = \lim_{s \rightarrow 0} \left(\frac{KA}{1+sT} \right) = KA$$

209

پایداری

if $\lim_{t \rightarrow \infty} |y(t)| < \infty \Rightarrow y \text{ is stable}$

$$Y(S) = K \frac{s^m + \alpha_{m-1}s^{m-1} + \dots + \alpha_1s + \alpha_0}{s^n + \beta_{n-1}s^{n-1} + \dots + \beta_1s + \beta_0} U(s)$$

$$Y(S) = K \frac{(s - z_1)(s - z_2) \dots (s - z_m)}{(s - p_1)(s - p_2) \dots (s - p_n)} U(s)$$

صفرهاي سيستم آند.

قطبهای سیستم آند.

- شرط پایداری آن است که همه قطبهاي سیستم سمت چپ محور $j\omega$ باشند.

210

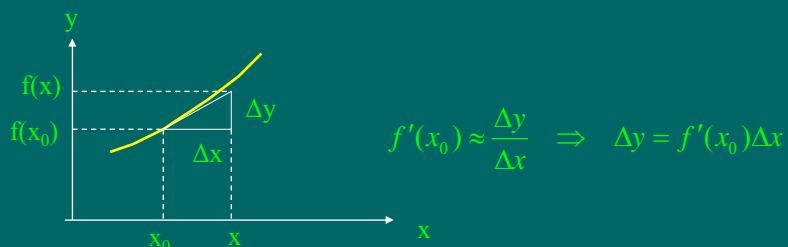
تغییرات سیگنال کوچک

- در این فصل چون فقط کنترل اغتشاشات کوچک (مثلا تغییرات کوچک بار) مدنظر است، بنابراین همه متغیرها فقط تغییرات کوچکی حول نقطه کار خود دارند. لذا با وجود اینکه بیشتر عناصر سیستم غیر خطی هستند، ولی می‌توان آنها را در محدوده این تغییرات کوچک خطی فرض کرد. به همین دلیل :
- اولاً همه متغیرها را با گذاردن علامت Δ در قبل از آن متغیر نمایش می‌دهیم، به معنی اینکه فقط تغییرات کوچک آنها مد نظر است.
- ثانیا همه عناصر حول نقطه کار خطی می‌شوند. یعنی معادلات دیفرانسیل خطی با ضرائب ثابت داریم که می‌توان با تبدیل لاپلاس حل نمود.

211

تقریب خطی در سیگنال کوچک

- تابع غیرخطی $y=f(x)$ را در نظر می‌گیریم. اگر x تغییرات کوچک حول x_0 داشته باشد. با توجه به شکل می‌توان نوشت:



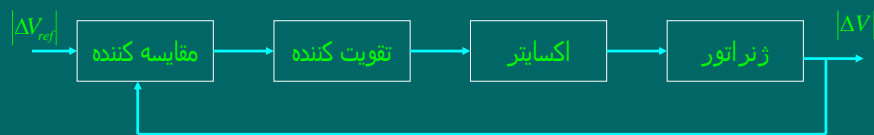
- بنابراین رابطه Δy با Δx تقریباً یک خط با شیب $f'(x_0)$ است.
- رابطه y با x غیر خطی است ولی رابطه تغییرات آنها حول نقطه کار خطی است.

212

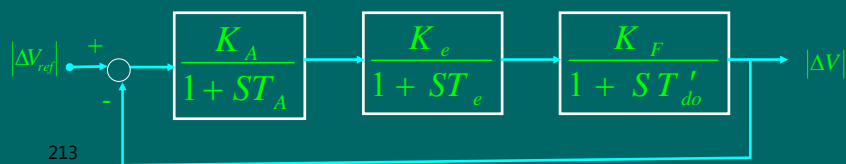
حلقه کنترل اتوماتیک ولتاژ (AVR)

- ولتاژ ژنراتور سنکرون توسط حلقه AVR در یک مقدار مبنا کنترل می شود.

- اجزای حلقه AVR :

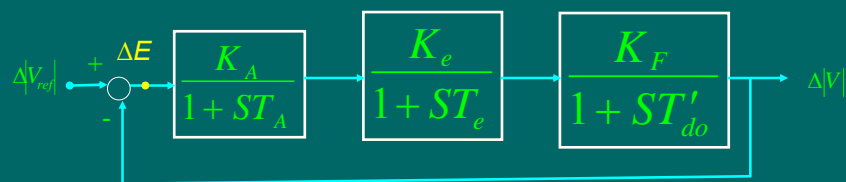


- مدل کنترلی حلقه AVR :



بررسی استاتیکی حلقه کنترل AVR

- محاسبه خطای حالت ماندگار:



$$\Delta E = \frac{P.U}{1-L} = \frac{1 \cdot \Delta |V_{ref}|}{1 - \left(-\frac{K_A K_e K_F}{(1+ST_A)(1+ST_e)(1+ST'_{do})} \right)} = \frac{\Delta |V_{ref}|}{1 + \frac{K_A K_e K_F}{(1+ST_A)(1+ST_e)(1+ST'_{do})}}$$

214

ادامه محاسبه خطای حالت ماندگار کنترل AVR

$$\text{if } \Delta|V_{ref}| = \frac{A}{s} :$$

$$\Delta E(s) = \frac{\frac{A}{s}}{1 + \frac{K_A K_e K_F}{(1+ST_A)(1+ST_e)(1+ST'_{do})}}$$

$$\Delta e_{ss} = \lim_{s \rightarrow 0} s\Delta E(s) = \lim_{s \rightarrow 0} s \left(\frac{\frac{A}{s}}{1 + \frac{K_A K_e K_F}{(1+ST_A)(1+ST_e)(1+ST'_{do})}} \right) = \frac{A}{1 + \underbrace{K_A K_e K_F}_K} = \frac{A}{1 + K}$$

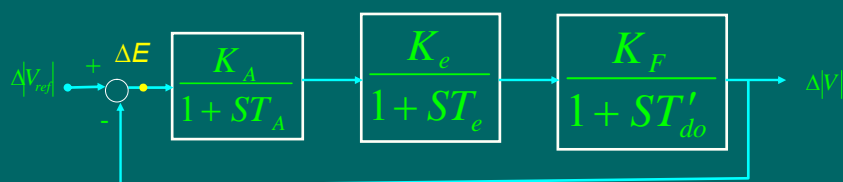
$$\Delta e_{ss} = \frac{A}{1 + K} \leq 0.01A \Rightarrow K \geq 99$$

- ملاحظه می شود که خطای حالت ماندگار صفر نیست و اگر بخواهیم خطای کوچک (کمتر از یک درصد ورودی) باشد باید K یک عدد بزرگتر از 99 باشد.

215

بررسی دینامیکی حلقه کنترل AVR

- بررسی پایداری حلقه کنترل AVR :



$$\Delta|V| = \frac{P.U}{1-L} = \frac{\frac{K_A K_e K_F}{(1+ST_A)(1+ST_e)(1+ST'_{do})} \Delta|V_{ref}|}{1 - \left(-\frac{K_A K_e K_F}{(1+ST_A)(1+ST_e)(1+ST'_{do})} \right)} = \frac{K_A K_e K_F \Delta|V_{ref}|}{(1+ST_A)(1+ST_e)(1+ST'_{do}) + K_A K_e K_F}$$

$$\Delta|V| = \frac{K \Delta|V_{ref}|}{(1+ST_A)(1+ST_e)(1+ST'_{do}) + K} = \frac{K \Delta|V_{ref}|}{(1+ST_A)(1+ST_e)(1+ST'_{do}) + K} = 0$$

216

مکان هندسی ریشه های مخرج تابع انتقال

- بررسی پایداری حلقه کنترل AVR:

$$(1+ST_A)(1+ST_e)(1+ST'_{do}) + K = 0$$

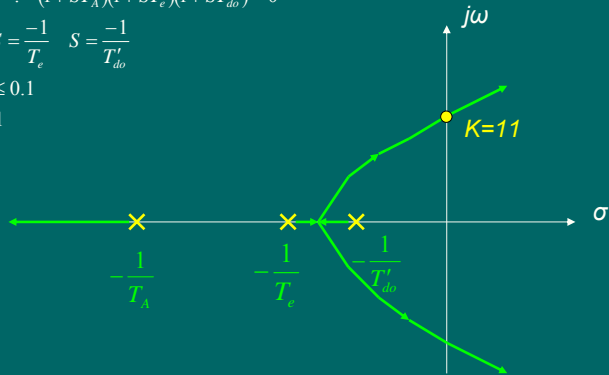
$$\text{if } K=0 \quad : \quad (1+ST_A)(1+ST_e)(1+ST'_{do}) = 0$$

$$S = \frac{-1}{T_A} \quad S = \frac{-1}{T_e} \quad S = \frac{-1}{T'_{do}}$$

$$0.02 \leq T_A \leq 0.1$$

$$0.5 \leq T_e \leq 1$$

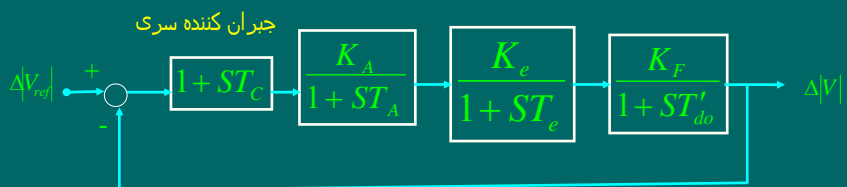
$$T'_{do} \approx 10$$



مکان هندسی ریشه ها نشان می دهد که تا حدود $K=11$ حلقه کنترل فوق پایدار است اما در صورت داشتن K کوچک خطا های حالت دائم بزرگ است بنابراین نیاز به کنترل کننده می باشد.²¹⁷

جبران کننده سری برای حلقه AVR

- بررسی پایداری حلقه کنترل AVR با جبران کننده سری:



$$\Delta V = \frac{PU}{1-L} = \frac{\frac{K_A K_e K_F (1+ST_C)}{(1+ST_A)(1+ST_e)(1+ST'_{do})} \Delta V_{ref}}{1 - \left(-\frac{K_A K_e K_F (1+ST_C)}{(1+ST_A)(1+ST_e)(1+ST'_{do})} \right)} = \frac{K_A K_e K_F (1+ST_C) \Delta V_{ref}}{(1+ST_A)(1+ST_e)(1+ST'_{do}) + K_A K_e K_F (1+ST_C)}$$

$$\frac{\Delta V}{\Delta V_{ref}} = \frac{K(1+ST_C)}{(1+ST_A)(1+ST_e)(1+ST'_{do}) + K(1+ST_C)}$$

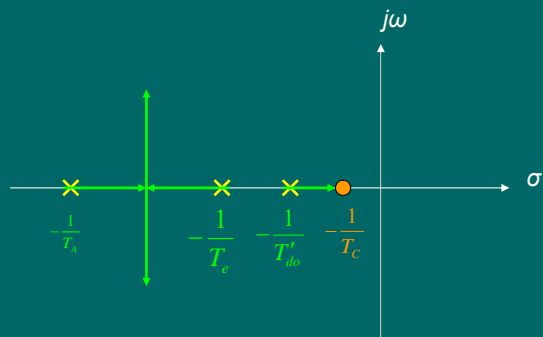
$$(1+ST_A)(1+ST_e)(1+ST'_{do}) + K(1+ST_C) = 0$$

²¹⁸

مکان هندسی ریشه های مخرجتابع انتقال جدید

- بررسی پایداری حلقه کنترل AVR با وجود جبران کننده سری:

$$(1+ST_A)(1+ST_e)(1+ST'_{do}) + K(1+ST_c) = 0$$



ملاحظه می شود که مکان هندسی ریشه ها به ازای همه مقادیر K در سمت چپ محور ωj قرار دارد بنابراین سیستم کنترل فوق همواره پایدار است.
219

حلقه کنترل بار-فرکانس (ALFC)

- سیستم کنترل بار-فرکانس با کنترل فرکانس توازن توان تولیدی و مصرفی را برقرار می کند
- مناطق کنترل:

- سیستم قدرت تک منطقه ای
- الف) با یک ژنراتور
- ب) با چند ژنراتور
- سیستم قدرت دو منطقه ای
- سیستم قدرت چند منطقه ای

220

سیستم قدرت تک منطقه ای با یک ژنراتور

- اجزاء حلقه کنترل بار-فرکانس:



- سیستم تنظیم سرعت (*Speed Governing System*) شامل:

- تغییر دهنده سرعت (*speed Changer*)

- تنظیم کننده سرعت (*Speed Governor*)

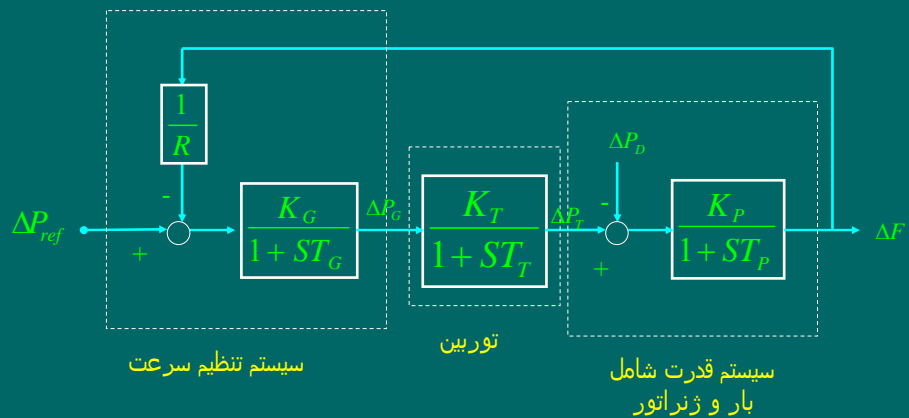
- تقویت کننده هیدرولیکی (*hydraulic Amplifier*)

- شیر کنترل بخار (*Control Valve*)

- حلقه فوق را کنترل بار-فرکانس اولیه (*Primary ALFC*) می نامند.

حلقه کنترل بار-فرکانس اولیه

- اجزاء حلقه کنترل بار-فرکانس:



R : ضریب تنظیم گاورنر بر حسب $\text{Hz} / \text{Pu. Mw}$

مدل‌سازی سیستم قدرت

$$\Delta P_T - \Delta P_D = \frac{dW_{kin}}{dt} + D' \cdot \Delta f$$

↓ ↓ ↓ ↓
 تغییرات نولیدی تغییرات بار تغییرات انرژی تغییرات بار بعلت
 توان توربین جنسی ژنراتور تغییر فرکانس

223

محاسبه مشتق انرژی جنبشی

$$\begin{aligned}
 \frac{W_{kin}}{W_{kin}^0} &= \frac{\frac{1}{2} I \omega^2}{\frac{1}{2} I \omega_0^2} = \left(\frac{\omega}{\omega_0} \right)^2 = \left(\frac{2 \pi f}{2 \pi f_0} \right)^2 = \left(\frac{f}{f_0} \right)^2 = \left(\frac{f_0 + \Delta f}{f_0} \right)^2 = \\
 &= \left(1 + \frac{\Delta f}{f_0} \right)^2 = 1 + 2 \left(\frac{\Delta f}{f_0} \right) + \left(\frac{\Delta f}{f_0} \right)^2 \approx 1 + 2 \left(\frac{\Delta f}{f_0} \right) \\
 W_{kin} &= W_{kin}^0 \left(1 + 2 \left(\frac{\Delta f}{f_0} \right) \right) = H \cdot S_n \left(1 + 2 \left(\frac{\Delta f}{f_0} \right) \right) \\
 \frac{dW_{kin}}{dt} &= \frac{2 H \cdot S_n}{f_0} \frac{d\Delta f}{dt}
 \end{aligned}$$

224

ادامه مدلسازی سیستم قدرت

$$\Delta P_T - \Delta P_D = \frac{dW_{kin}}{dt} + D' \cdot \Delta f$$

$$\Delta P_T - \Delta P_D = \frac{2H \cdot S_n}{f_0} \frac{d\Delta f}{dt} + D' \cdot \Delta f$$

- معادله فوق را پریونیت می کنیم:

$$\frac{\Delta P_T}{S_n} - \frac{\Delta P_D}{S_n} = \frac{2H \cdot S_n}{f_0 S_n} \frac{d\Delta f}{dt} + \underbrace{\left(\frac{D'}{S_n} \right)}_D \Delta f$$

$$\Delta P_T - \Delta P_D = \frac{2H}{f_0} \frac{d\Delta f}{dt} + D \cdot \Delta f$$

- از معادله فوق تبدیل لاپلاس می گیریم:

225

ادامه مدلسازی سیستم قدرت

$$\Delta P_T - \Delta P_D = \frac{2H}{f_0} \frac{d\Delta f}{dt} + D \cdot \Delta f$$

$$\Delta P_T(s) - \Delta P_D(s) = \frac{2H}{f_0} s \Delta F(s) + D \cdot \Delta F(s)$$

$$\Delta F(s) = \frac{\Delta P_T(s) - \Delta P_D(s)}{\frac{2H}{f_0} s + D}$$

$$\Delta F(s) = \left(\frac{1}{D} \right) \frac{\Delta P_T(s) - \Delta P_D(s)}{1 + \left(\frac{2H}{Df_0} \right) s} = K_p \frac{\Delta P_T(s) - \Delta P_D(s)}{1 + sT_p}$$

$$K_p = \frac{1}{D} \quad T_p = \frac{2H}{Df_0}$$

K_p : بهره سیستم قدرت

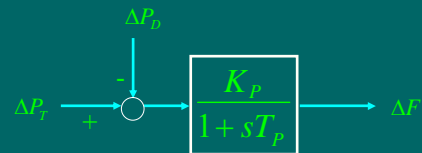
T_p : ثابت زمانی تاخیر سیستم قدرت

D : دروپ بر حسب MW/Hz

226

مدل نهائی سیستم قدرت

$$\Delta F(s) = \left(\frac{K_p}{1 + sT_p} \right) (\Delta P_T(s) - \Delta P_D(s))$$



227

محاسبه دروپ

- دروپ به بار بستگی دارد و با محاسبه تغییرات بار به تغییرات فرکانس بدست می آید که معمولاً این تغییرات خطی فرض می شوند.
بنابراین:

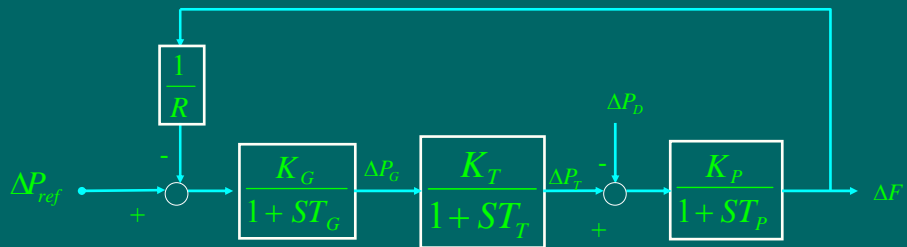
$$D = \frac{P_D^0}{f^0}$$

- یعنی دروپ برابر نسبت بار در فرکانس سنکرون به فرکانس سنکرون است.

228

بررسی استاتیکی حلقه $ALFC$ اولیه

- محاسبه پاسخ حالت ماندگار سیستم کنترل $ALFC$ اولیه:



$$\Delta F = \frac{P_1 U_1 + P_2 U_2}{1 - L} = \frac{\left(\frac{K_G}{1+sT_G} \right) \left(\frac{K_T}{1+sT_T} \right) \left(\frac{K_P}{1+sT_P} \right) \Delta P_{ref} - \left(\frac{K_P}{1+sT_P} \right) \Delta P_D}{1 - \left(-\frac{1}{R} \left(\frac{K_G}{1+sT_G} \right) \left(\frac{K_T}{1+sT_T} \right) \left(\frac{K_P}{1+sT_P} \right) \right)}$$

229

پاسخ حالت ماندگار کنترل نشده

- محاسبه پاسخ حالت ماندگار سیستم کنترل $ALFC$ اولیه در حالت بدون کنترل:

$$\Delta F = \left(\frac{K_P}{1+sT_P} \right) \frac{\left(\frac{K_G}{1+sT_G} \right) \left(\frac{K_T}{1+sT_T} \right) \Delta P_{ref} - \Delta P_D}{1 + \frac{1}{R} \left(\frac{K_G}{1+sT_G} \right) \left(\frac{K_T}{1+sT_T} \right) \left(\frac{K_P}{1+sT_P} \right)}$$

$$if \quad \Delta P_{ref} = 0 \quad , \quad \Delta P_D = \frac{\Delta P_D}{S}$$

$$\Delta F = \frac{\left(\frac{K_P}{1+sT_P} \right) \left(-\frac{\Delta P_D}{S} \right)}{1 + \frac{1}{R} \left(\frac{K_G}{1+sT_G} \right) \left(\frac{K_T}{1+sT_T} \right) \left(\frac{K_P}{1+sT_P} \right)}$$

230

ادامه پاسخ حالت ماندگار کنترل نشده

$$\Delta f_{ss} = \lim_{s \rightarrow 0} s\Delta F(s) = \lim_{s \rightarrow 0} s \frac{\left(\frac{K_p}{1+sT_p} \right) \left(-\frac{\Delta P_d}{S} \right)}{1 + \frac{1}{R} \left(\frac{K_G}{1+sT_G} \right) \left(\frac{K_T}{1+sT_T} \right) \left(\frac{K_p}{1+sT_p} \right)}$$

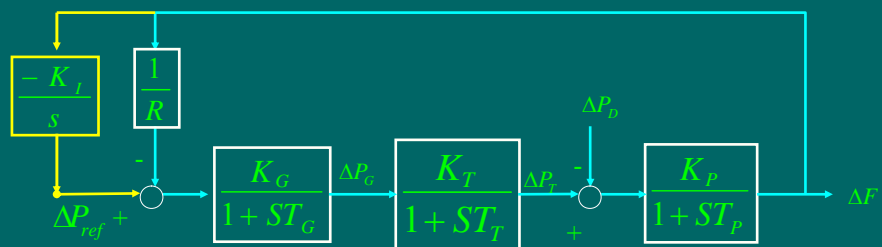
$$\Delta f_{ss} = \frac{\left(\frac{K_p}{1+0} \right) \left(-\Delta P_d \right)}{1 + \frac{1}{R} \left(\frac{K_G}{1+0} \right) \left(\frac{K_T}{1+0} \right) \left(\frac{K_p}{1+0} \right)} = \frac{-K_p \Delta P_d}{1 + \frac{K_G K_T K_p}{R}}$$

$$K_G K_T \approx 1$$

$$\Delta f_{ss} = \frac{-K_p \Delta P_d}{1 + \frac{K_p}{R}} = \frac{-\Delta P_d}{\frac{1}{K_p} + \frac{1}{R}} = \frac{-\Delta P_d}{D + \frac{1}{R}} = \frac{-\Delta P_d}{\beta}$$

- ملاحظه می شود که در حالت بدون کنترل، فرکانس خطای حالت دائم دارد. بنابراین از کنترل کننده استفاده می کنیم.
231

حلقه کنترل انتگرالگیر ALFC



$$\Delta F = \left(\frac{K_p}{1+sT_p} \right) \frac{-\Delta P_d}{1 + \left(\frac{1}{R} + \frac{K_L}{s} \right) \left(\frac{K_G}{1+sT_G} \right) \left(\frac{K_T}{1+sT_T} \right) \left(\frac{K_p}{1+sT_p} \right)}$$

حلقه کنترل در برگیرنده انتگرالگیر را حلقه ثانویه کنترل-بار فرکانس می گویند.
232

محاسبه مقدار نهائی تغییرات فرکانس در حالت کنترل شده

$$\Delta F = \left(\frac{K_p}{1+sT_p} \right) \frac{-\Delta P_D}{1 + \left(\frac{1}{R} + \frac{K_I}{s} \right) \left(\frac{K_G}{1+sT_G} \right) \left(\frac{K_T}{1+sT_T} \right) \left(\frac{K_p}{1+sT_p} \right)}$$

if $\Delta P_D(s) = \frac{\Delta P_D}{s}$, $K_G K_T \approx 1$

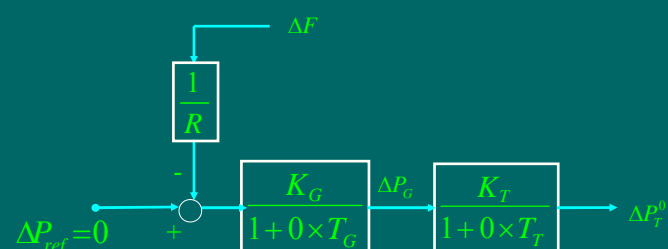
$$\Delta f_{ss} = \lim_{s \rightarrow 0} s\Delta F(s) = \lim_{s \rightarrow 0} s \left(\frac{K_p}{1+sT_p} \right) \frac{-\frac{\Delta P_D}{s}}{1 + \left(\frac{1}{R} + \frac{K_I}{s} \right) \left(\frac{K_G}{(1+sT_G)(1+sT_T)(1+sT_p)} \right)} = 0$$

- ملاحظه می شود که این در حالت کنترل شده، مقدار دائم تغییرات فرکانس صفر می شود. بنابراین حلقه ثانویه تنظیم دقیق فرکانس را انجام می دهد.

233

محاسبه ضریب تنظیم گاورنر

- برای تعیین ضریب تنظیم گاورنر (R) توان توربین را مقدار کمی افزایش داده و مقدار دائم تغییر فرکانس ژنراتور را در حالت بی بار و بدون کنترل اندازه می گیرند.

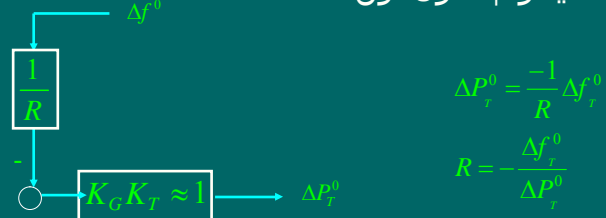


$$\Delta F = \left(\frac{K_p}{1+sT_p} \right) \frac{-\Delta P_D}{1 + \left(\frac{1}{R} + \frac{K_I}{s} \right) \left(\frac{K_G}{1+sT_G} \right) \left(\frac{K_T}{1+sT_T} \right) \left(\frac{K_p}{1+sT_p} \right)}$$

234

ادامه محاسبه ضریب تنظیم گاورنر

- پس از ساده سازی دیاگرام کنترل فوق:



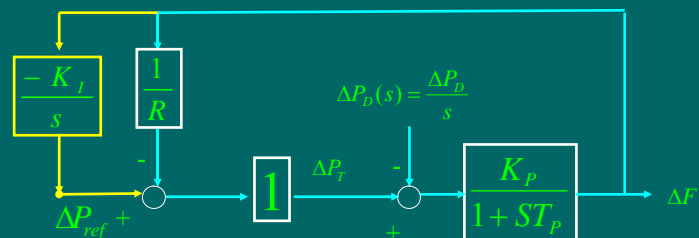
235

بررسی دینامیکی حلقه کنترل ALFC

- در حلقه های کنترل بار فرکانس از T_P و T_T در مقابل T_G در مقابله صرفنظر می کنیم در اینصورت :

$$\left(\frac{K_G}{1+sT_G} \right) \left(\frac{K_T}{1+sT_r} \right) = \left(\frac{K_G}{1+s \times 0} \right) \left(\frac{K_T}{1+s \times 0} \right) = K_G K_T \approx 1$$

- بنابراین حلقه های کنترل بار-فرکانس بصورت زیر ساده می شود:



- از دیاگرام فوق ΔF را محاسبه می کنیم:

236

ادامه بررسی دینامیکی حلقه کنترل ALFC

$$\Delta F = \frac{PU}{1-L} = \frac{\left(\frac{K_p}{1+sT_p}\right)\Delta P_D(s)}{1+\left(\frac{K_p}{1+sT_p}\right)\left(\frac{1}{R} + \frac{K_I}{s}\right)} = \frac{K_p}{T_p} \frac{s\left(\frac{\Delta P_D}{s}\right)}{s^2 + \frac{1}{T_p}\left(1 + \frac{K_p}{R}\right)s + \frac{K_p K_I}{T_p}}$$

$$\Delta F = \frac{K_p}{T_p} \frac{\Delta P_D}{s^2 + \frac{1}{T_p}\left(1 + \frac{K_p}{R}\right)s + \frac{K_p K_I}{T_p}}$$

- مخرج کسر دو ریشه دارد. اگر میان معادله درجه دوم مخرج صفر باشد دو ریشه مضاعف (یک ریشه) داریم :

$$\Delta = \frac{1}{T_p^2} \left(1 + \frac{K_p}{R}\right)^2 - 4 \times 1 \times \frac{K_p K_I}{T_p} = 0 \Rightarrow K_I = \frac{1}{4K_p T_p} \left(1 + \frac{K_p}{R}\right)^2 = K_{Icrit}$$

237

بحث در مورد مقادیر K_I

```

if   K_I = K_Icrit   :  Δ = 0  Critical _ state
if   K_I > K_Icrit   :  Δ < 0  Under _ damped _ state
if   K_I < K_Icrit   :  Δ > 0  Over _ damped _ state

```

- شکل خروجی :

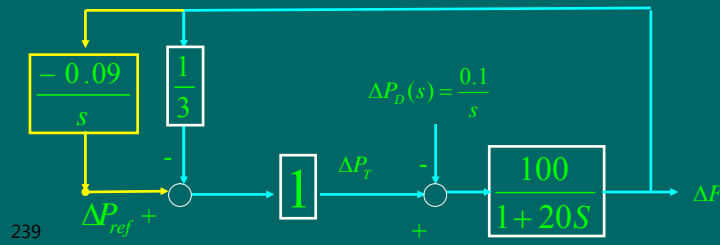
238

مثال

- برای سیستم کنترل بار-فرکانس زیر مطابق می باشد
 الف) خروجی $\Delta F(s)$ و خطای حالت دائم فرکانس وقتی حلقه ثانویه وجود نداشته باشد.

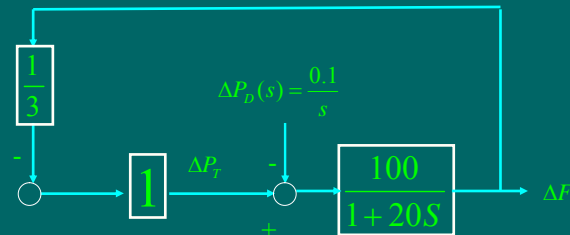
ب) خروجی $\Delta F(s)$ و خطای حالت دائم فرکانس وقتی حلقه ثانویه وجود داشته باشد.

$$\Delta f(t) \quad (ج)$$



239

- حل الف) شکل بدون حلقه ثانویه

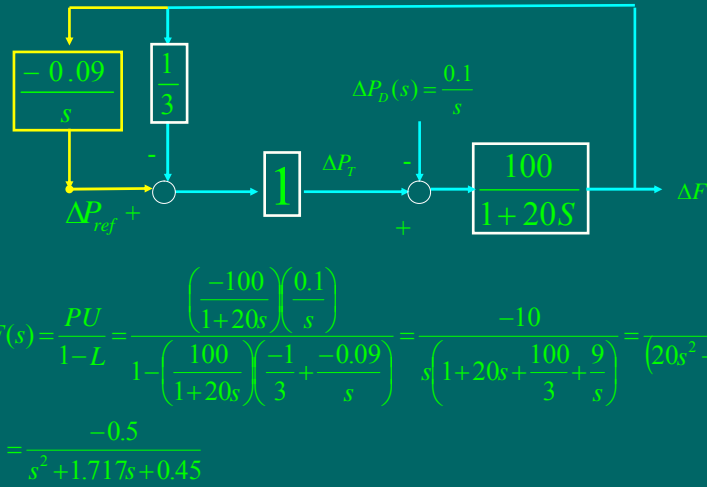


$$\Delta F(s) = \frac{PU}{1-L} = \frac{\left(\frac{-100}{1+20s}\right)\left(\frac{0.1}{s}\right)}{1-\left(\frac{100}{1+20s}\right)\left(\frac{-1}{3}\right)} = \frac{-10}{s\left(1+20s+\frac{100}{3}\right)} = \frac{-0.5}{s(s+1.717)}$$

$$\Delta f^0 = \Delta f_{ss} = \lim_{s \rightarrow 0} s\Delta F(s) = \lim_{s \rightarrow 0} s\left(\frac{-0.5}{s(s+1.717)}\right) = -0.291 Hz$$

240

- حل ب) شکل با حلقه ثانویه



241

- حل ج) حلقه ثانویه وجود دارد

$$\Delta F(s) = \frac{-0.5}{s^2 + 1.717s + 0.45} = \frac{-0.5}{(s + 0.323)(s + 1.395)}$$

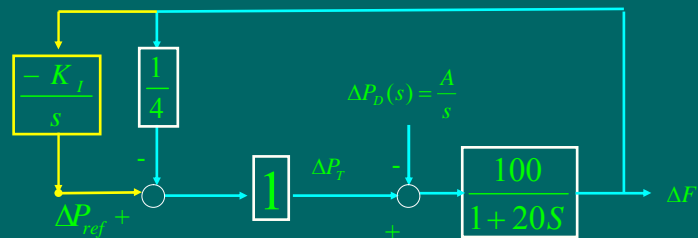
$$\Delta F(s) = \frac{0.466}{s + 1.395} - \frac{0.466}{s + 0.323}$$

$$\Delta f(t) = 0.466 \left(e^{-1.395t} - e^{-0.323t} \right) \quad \text{for } t \geq 0$$

242

مثال

- برای سیستم کنترل بار-فرکانس زیر حدود K_I را چنان تعیین کنید تا پاسخ فوق میرا (غیر نوسانی) داشته باشیم.



243

(حل)

$$F(s) = \frac{PU}{1-L} = \frac{\left(\frac{-100}{1+20s}\right)\left(\frac{A}{s}\right)}{1-\left(\frac{100}{1+20s}\right)\left(\frac{-1}{4} + \frac{-K_I}{s}\right)} =$$

$$= \frac{-100A}{s\left(1+20s + \frac{100}{4} + \frac{100K_I}{s}\right)} = \frac{-100A}{(20s^2 + 26s + 100K_I)} = \frac{-5A}{(s^2 + 1.3s + 5K_I)}$$

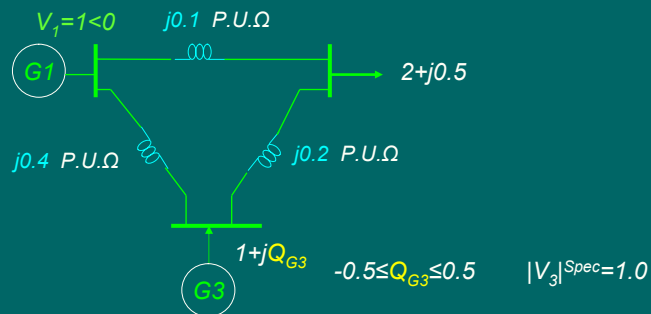
$$\Delta = 1.3^2 - 4 \times 5K_I > 0$$

$$K_I < 0.0845$$

244

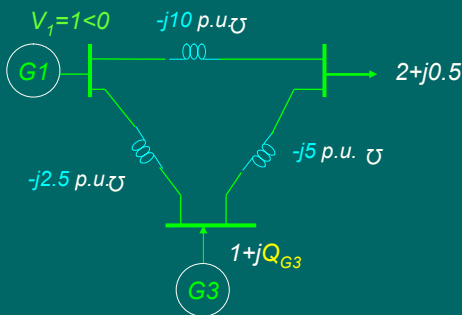
تمرین

در شکل زیر بس 3 از نوع کنترل ولتاژ است. ولتاژ باسها را با استفاده از پختش بار نیوتن-رافسون و پس از یک مرحله تکرار بدست آورید.



245

حل: ابتدا محاسبه ماتریس ادمیتانس:



$$Y_{bus} = \begin{bmatrix} y_{11} & y_{12} & y_{13} \\ y_{21} & y_{22} & y_{23} \\ y_{31} & y_{32} & y_{33} \end{bmatrix} = \begin{bmatrix} -j12.5 & j10 & j2.5 \\ j10 & -j15 & j5 \\ j2.5 & j5 & -j7.5 \end{bmatrix}$$

246

تمرین

هزینه افزونی تولید انرژی دو نیروگاه یک سیستم قدرت عبارتست از:

$$\begin{aligned} IC_1 &= 800 + P_1 \quad \text{for } 300 \leq P_1 \leq 600 \\ IC_2 &= 600 + P_2 \quad \text{for } 500 \leq P_2 \leq 800 \end{aligned}$$

اگر **بار** کل سیستم **1000** مگاوات باشد،

الف) توزیع اقتصادی بار بین دو نیروگاه را محاسبه کنید.

ب) اگر بار بطور **مساوی** بین دو نیروگاه تقسیم شود، در هر ساعت چقدر **زیان خواهیم** داشت؟

حل:

247

(حل الف)

$$\begin{aligned} IC_1 = 800 + P_1 = \lambda &\Rightarrow P_1 = \lambda - 800 \\ IC_2 = 600 + P_2 = \lambda &\Rightarrow P_2 = \lambda - 600 \\ P_1 + P_2 = P_D &\Rightarrow (\lambda - 800) + (\lambda - 600) = 1000 \Rightarrow \lambda = 1200 \\ \begin{cases} P_1 = \lambda - 800 = 1200 - 800 = 400 \text{ Mw} \\ P_2 = \lambda - 600 = 1200 - 600 = 600 \text{ Mw} \end{cases} \end{aligned}$$

چون هر دو توان در محدوده های مجازشان هستند، جوابهای بهینه قابل قبول اند.

248

(حل ب)

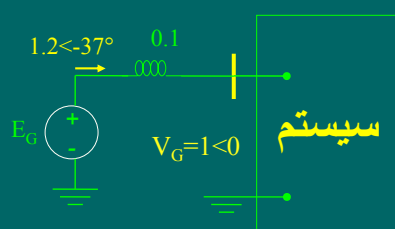
$$\begin{aligned}
 C_1 &= \int IC_1 dP_1 = \int (800 + P_1) dP_1 = 800P_1 + 0.5P_1^2 + k_1 \\
 C_2 &= \int IC_2 dP_2 = \int (600 + P_2) dP_2 = 600P_2 + 0.5P_2^2 + k_2 \\
 C &= C_1(P_1) + C_2(P_2) \\
 \Delta C &= [C_1(500) + C_2(500)] - [C_1(400) + C_2(600)] = \\
 \Delta C &= [(800 \times 500 + 0.5(500)^2 + k_1) + (600 \times 500 + 0.5(500)^2 + k_2)] - \\
 &\quad [(800 \times 400 + 0.5(400)^2 + k_1) + (600 \times 600 + 0.5(600)^2 + k_2)] = \\
 &= [525000 + 425000] - [400000 + 540000] = 10000
 \end{aligned}$$

249

تمرین

یک ژنراتور با راکتانس 0.1pu در ولتاژ ترمینال 0° و جریان $1.2 < -37^\circ$ یک سیستم را تغذیه می‌کند. در این هنگام یک اتصال کوتاه سه فاز متقارن به واسطه در ترمینالهای ژنراتور رخ می‌دهد. جریان اتصال کوتاه چقدر است؟

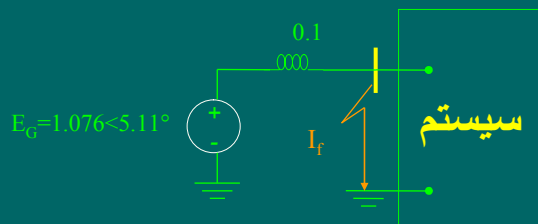
حل: در قبل از اتصال کوتاه:



$$E_G = 1 < 0 + j0.1(1.2 < -37^\circ) = 1.076 < 5.11^\circ$$

250

در بعد از اتصال کوتاه:



$$I_f = \frac{1.076 < 5.11^\circ}{j0.1} = 10.76 < 84.89$$

251

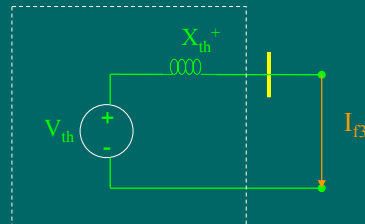
تمرین

یک ژنراتور با راکتانس 0.1^{pu} در ولتاژ ترمینال 1^{pu} و جریان $1.2 < -37^\circ$ یک سیستم را تغذیه می‌کند. در این هنگام یک اتصال کوتاه سه فاز متقاضی با امپدانس اتصال کوتاه $Z = j0.05^{pu}$ در ترمینالهای ژنراتور رخ می‌دهد. جریان اتصال کوتاه چقدر است؟

252

تمرین

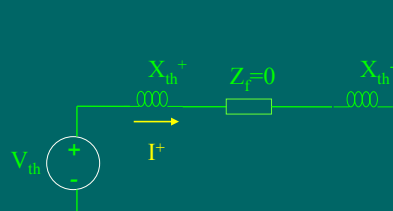
یک سیستم قدرت بی بار مفروض است. در یکی از بخش‌های این سیستم، یک اتصال کوتاه سه فاز متقاضی بی واسطه رخ می‌دهد و جریان اتصال کوتاه $5A$ برقرار می‌شود. اگر در همان بخش و در همان شرایط به جای اتصال کوتاه متقاضی، اتصال کوتاه بی واسطه دو فاز به هم رخ دهد؛ جریان اتصال کوتاه چقدر خواهد شد؟ امپدانس مولفه‌های مثبت و منفی همه عناصر سیستم با هم مساوی هستند.



حل: مدار معادل در اتصال کوتاه سه فاز:

$$|I_{f3}| = \left| \frac{V_{th}}{jX_{th}^+} \right| = 5 \Rightarrow \left| \frac{V_{th}}{X_{th}^+} \right| = 5$$

253



ادامه حل:
مدار معادل در اتصال کوتاه دو فاز به هم:

$$|I^+| = \left| \frac{V_{th}}{jX_{th}^+ + jX_{th}^-} \right| = \left| \frac{V_{th}}{jX_{th}^+ + jX_{th}^+} \right| = \frac{1}{2} \left| \frac{V_{th}}{X_{th}^+} \right| = \frac{1}{2} \times 5$$

$$I^+ = \frac{jI_{f2}}{\sqrt{3}} \Rightarrow I_{f2} = -j\sqrt{3}I^+$$

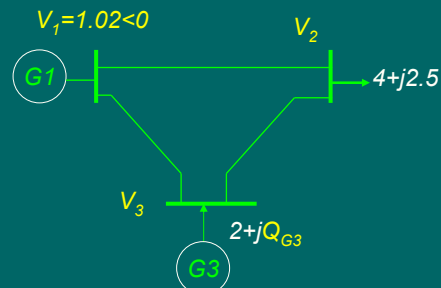
$$|I_{f2}| = |-j\sqrt{3}I^+| = \sqrt{3}|I^+| = \sqrt{3}\left(\frac{1}{2} \times 5\right)$$

$$|I_{f2}| = \frac{\sqrt{3}}{2} |I_{f3}|$$

نتیجه: در شرایطی شبیه مساله فوق، جریان اتصال کوتاه دو فاز $\sqrt{3}/2$ برابر جریان اتصال کوتاه سه فاز است.

254

تمرین



در سیستم قدرت شکل مقابل باس ۱، باس مینا است. با استفاده از روش نیوتن رافسون و پس از یک مرحله تکرار تعیین کنید که زنرآنور ۳ چقدر توان را کمیو باید تولید کند تا ولتاژ باس ۳ در مقدار 1.01μ کنترل شود؟ ماتریس ادمیتانس سیستم عبارت است از:

$$Y_{bus} = \begin{bmatrix} -j50 & j20 & j30 \\ j20 & -j52 & j32 \\ j30 & j32 & -j62 \end{bmatrix}$$

255

حل:

$$P_2^{sch} = P_{G2} - P_{D2} = 0 - 4 = -4$$

$$P_3^{sch} = P_{G3} - P_{D3} = 2 - 0 = 2$$

$$Q_2^{sch} = Q_{G2} - Q_{D2} = 0 - 2.5 = -2.5$$

$$Q_3^{sch} = Q_{G3} - Q_{D3} = Q_{G3} - 0 = Q_{G3}$$

محاسبه توانهای تزریقی باسها:

تکرار اول:

$$V_1 = 1.02 < 0 \quad V_2 = 1 < 0 \quad V_3 = |V_3|^{spec} = 1.01 < 0$$

$$\begin{aligned} f_{p2}^{(0)} &= \sum_{k=1}^n |y_{2k}| |V_2| |V_k| \cos(\delta_2 - \delta_k - \theta_{2k}) \\ &= |y_{21}| |V_2| |V_1| \cos(\delta_2 - \delta_1 - \theta_{21}) + |y_{22}| |V_2| |V_2| \cos(\delta_2 - \delta_2 - \theta_{22}) + |y_{23}| |V_2| |V_3| \cos(\delta_2 - \delta_3 - \theta_{23}) \\ &= 20 \times 1 \times 1.02 \times \cos(0 - 0 - 90) + 52 \times 1 \times 1 \times \cos(0 - 0 + 90) + 32 \times 1 \times 1.01 \times \cos(0 - 0 - 90) \\ &= 0 \end{aligned}$$

$$\begin{aligned} f_{q2}^{(0)} &= \sum_{k=1}^n |y_{2k}| |V_2| |V_k| \sin(\delta_2 - \delta_k - \theta_{2k}) \\ &= 20 \times 1 \times 1.02 \times \sin(0 - 0 - 90) + 52 \times 1 \times 1 \times \sin(0 - 0 + 90) + 32 \times 1 \times 1.01 \times \sin(0 - 0 - 90) \\ &= -0.4 \end{aligned}$$

256

:حل اهداف

$$\begin{aligned}
f_{p3}^{(0)} &= \sum_{k=1}^n |y_{3k}| |V_3| |V_k| |V_i| \cos(\delta_3 - \delta_i - \theta_{3k}) \\
&= |y_{31}| |V_3| |V_1| \cos(\delta_3 - \delta_1 - \theta_{31}) + |y_{32}| |V_3| |V_2| \cos(\delta_3 - \delta_2 - \theta_{32}) + |y_{33}| |V_3| |V_3| \cos(\delta_3 - \delta_3 - \theta_{33}) \\
&= 30 \times 1.01 \times 1.02 \times \cos(0 - 0 - 90) + 32 \times 1.01 \times 1 \times \cos(0 - 0 - 90) + 62 \times 1.01 \times 1.01 \times \cos(0 - 0 + 90) \\
&= 0 \\
f_{q3}^{(0)} &= \sum_{k=1}^n |y_{3k}| |V_3| |V_k| \sin(\delta_3 - \delta_i - \theta_{3k}) \\
&= |y_{31}| |V_3| |V_1| \sin(\delta_3 - \delta_1 - \theta_{31}) + |y_{32}| |V_3| |V_2| \sin(\delta_3 - \delta_2 - \theta_{32}) + |y_{33}| |V_3| |V_3| \sin(\delta_3 - \delta_3 - \theta_{33}) \\
&= 30 \times 1.01 \times 1.02 \times \sin(0 - 0 - 90) + 32 \times 1.01 \times 1 \times \sin(0 - 0 - 90) + 62 \times 1.01 \times 1.01 \times \sin(0 - 0 + 90) \\
&= 0.020
\end{aligned}$$

$$Q_3^{sch} = f_{q3}^{(0)} = 0.02 = Q_{G3}$$

$$\Delta P_2 = P_2^{sch} - f_{p2}^{(0)} = -4 - 0 = -4$$

$$\Delta P_3 = P_3^{sch} - f_{p3}^{(0)} = 2 - 0 = 2$$

$$\Delta Q_2 = Q_2^{sch} - f_{q2}^{(0)} = -2.5 - (-0.4) = -2.1$$

$$\Delta Q_3 = Q_3^{sch} - f_{q3}^{(0)} = 0.02 - 0.02 = 0$$

257

:حل اهداف

$$\begin{bmatrix} \Delta P_2 \\ \Delta P_3 \\ \Delta Q_2 \\ \Delta Q_3 = 0 \end{bmatrix} = \begin{bmatrix} H_{22} & H_{23} & N_{22} & N_{23} \\ H_{32} & H_{33} & N_{32} & N_{33} \\ J_{22} & J_{23} & L_{22} & L_{23} \\ J_{32} & J_{33} & L_{32} & L_{33} \end{bmatrix} \begin{bmatrix} \Delta \delta_2 \\ \Delta \delta_3 \\ \frac{\Delta |V_2|}{|V_2|^{(0)}} \\ \frac{\Delta |V_3|}{|V_3|^{(0)}} = 0 \end{bmatrix}$$

$$H_{22} = -f_{q2}^{(0)} - B_{22} |V_2|^2 = -0.4 - (-52) \times (1)^2 = 51.6$$

$$H_{33} = -f_{q3}^{(0)} - B_{33} |V_3|^2 = -(0.02) - (-62) \times (1.01)^2 = 63.2262$$

$$H_{23} = |y_{23}| |V_2| |V_3| \sin(\delta_2 - \delta_3 - \theta_{23}) = 32 \times 1 \times 1.01 \times \sin(0 - 0 - 90) = -32.32$$

$$H_{32} = |y_{32}| |V_3| |V_2| \sin(\delta_3 - \delta_2 - \theta_{32}) = 32 \times 1.01 \times 1 \times \sin(0 - 0 - 90) = -32.32$$

$$N_{22} = f_{p2}^{(0)} + G_{22} |V_2|^2 = 0 + 0 \times 1^2 = 0$$

$$N_{32} = |y_{32}| |V_3| |V_2| \cos(\delta_3 - \delta_2 - \theta_{32}) = 32 \times 1.01 \times 1 \times \cos(0 - 0 - 90) = 0$$

$$J_{22} = f_{p2}^{(0)} - G_{22} |V_2|^2 = 0 - 0 \times 1^2 = 0$$

$$J_{23} = -|y_{23}| |V_2| |V_3| \cos(\delta_2 - \delta_3 - \theta_{23}) = 32 \times 1 \times 1.01 \times \cos(0 - 0 - 90) = 0$$

$$258 \quad L_{22} = f_{q2}^{(0)} - B_{22} |V_2|^2 = (-0.4) - (-52) \times (1)^2 = 51.6$$

دایره حل:

$$\begin{bmatrix} \Delta P_2 \\ \Delta P_3 \\ \Delta Q_2 \end{bmatrix} = \begin{bmatrix} H_{22} & H_{23} & N_{22} \\ H_{32} & H_{33} & N_{32} \\ J_{22} & J_{23} & L_{22} \end{bmatrix} \begin{bmatrix} \Delta \delta_2 \\ \Delta \delta_3 \\ \frac{\Delta |V_2|}{|V_2|^{old}} \end{bmatrix}$$

$$\begin{bmatrix} -4 \\ 2 \\ -2.1 \end{bmatrix} = \begin{bmatrix} 51.6 & -32.32 & 0 \\ -32.32 & 63.2262 & 0 \\ 0 & 0 & 51.6 \end{bmatrix} \begin{bmatrix} \Delta \delta_2 \\ \Delta \delta_3 \\ \frac{\Delta |V_2|}{|V_2|^{old}} \end{bmatrix}$$

$$\begin{bmatrix} \Delta \delta_2 \\ \Delta \delta_3 \\ \frac{\Delta |V_2|}{|V_2|^{old}} \end{bmatrix} = \begin{bmatrix} 51.6 & -32.32 & 0 \\ -32.32 & 63.2262 & 0 \\ 0 & 0 & 51.6 \end{bmatrix}^{-1} \begin{bmatrix} -4 \\ 2 \\ -2.1 \end{bmatrix} = \begin{bmatrix} -0.0849 \\ -0.0118 \\ -0.0407 \end{bmatrix}$$

$$\delta_2^{new} = \delta_2^{old} + \Delta \delta_2 = 0 + (-0.0849) = -0.0849 rad = 4.864^\circ$$

$$\delta_3^{new} = \delta_3^{old} + \Delta \delta_3 = 0 + (-0.0118) = -0.0118 rad = 0.676^\circ$$

$$|V_2|^{new} = |V_2|^{old} + \Delta |V_2| = 1 + (-0.0407) \times 1 = 0.9593$$

$$|V_3|^{new} = |V_3|^{spec} = 1.01$$

$$V_2 = 0.9593 < 4.864^\circ \quad V_3 = 1.01 < 0.676^\circ$$

259

دایره حل:

$$\delta_2^{new} = \delta_2^{old} + \Delta \delta_2 = 0 + (-0.0849) = -0.0849 rad = 4.864^\circ$$

$$\delta_3^{new} = \delta_3^{old} + \Delta \delta_3 = 0 + (-0.0118) = -0.0118 rad = 0.676^\circ$$

$$|V_2|^{new} = |V_2|^{old} + \Delta |V_2| = 1 + (-0.0407) \times 1 = 0.9593$$

$$|V_3|^{new} = |V_3|^{spec} = 1.01$$

$$V_2 = 0.9593 < 4.864^\circ \quad V_3 = 1.01 < 0.676^\circ$$

$$\begin{aligned} Q_3^{sh} &= \sum_{k=1}^6 |y_{ik}| |V_i| |V_k| \sin(\delta_i - \delta_j - \theta_{ik}) \\ &= |y_{13}| |V_1| |V_3| \sin(\delta_3 - \delta_1 - \theta_{13}) + |y_{12}| |V_1| |V_2| \sin(\delta_2 - \delta_1 - \theta_{12}) + |y_{13}| |V_1| |V_3| \sin(\delta_3 - \delta_1 - \theta_{13}) \\ &= 30 \times 1.01 \times 1.02 \times \sin(0.676 - 0 - 90) + 32 \times 1.01 \times 0.9593 \times \sin(0.676 - 4.864 - 90) + 62 \times 1.01 \times 1.01 \times \sin(0.676 - 0.676 + 90) \\ &= 1.4206 \end{aligned}$$

$$Q_3^{sh} = Q_{G3} - Q_{D3} \Rightarrow Q_{G3} = Q_3^{sh} + Q_{D3} = 1.4206 + 0 = 1.4206$$

260

تمرین

توابع هزینه افزونی سه نیروگاه بصورت زیر است. در صورتیکه مجموع بار مصرفی سه نیروگاه 1500 مگاوات باشد، توزیع اقتصادی بار بین سه نیروگاه را به روش مستقیم بدست آورید.

$$IC_1 = 800 + P_1 \quad 200 \leq P_1 \leq 600 \text{ Mw}$$

$$IC_2 = 600 + P_2 \quad 300 \leq P_2 \leq 700 \text{ Mw}$$

$$IC_3 = 700 + P_3 \quad 100 \leq P_3 \leq 400 \text{ Mw}$$

حل:

$$IC_1 = IC_2 = IC_3 = \lambda \Rightarrow \begin{cases} P_1 = \lambda - 800 \\ P_2 = \lambda - 600 \\ P_3 = \lambda - 700 \end{cases}$$

$$P_1 + P_2 + P_3 = P_D$$

$$(\lambda - 800) + (\lambda - 600) + (\lambda - 700) = 1500$$

$$\lambda = 1200$$

$$\begin{cases} P_1 = \lambda - 800 = 1200 - 800 = 400 \\ P_2 = \lambda - 600 = 1200 - 600 = 600 \end{cases} \quad \text{در محدوده مجاز قرار دارد.}$$

$$261 \quad \begin{cases} P_3 = \lambda - 700 = 1200 - 700 = 500 > P_3^{\max} = 400 \Rightarrow P_3 = P_3^{\max} = 400 \\ \end{cases} \quad \text{در محدوده مجاز قرار دارد.}$$

ادامه حل:

$$P'_D = P_D - P_3 = 1500 - 400 = 1100$$

$$P_1 + P_2 = P'_D$$

$$(\lambda' - 800) + (\lambda' - 600) = 1100$$

$$\lambda' = 1250$$

$$\begin{cases} P_1 = \lambda' - 800 = 1250 - 800 = 450 \\ P_2 = \lambda' - 600 = 1250 - 600 = 650 \end{cases} \quad \text{در محدوده مجاز قرار دارد.}$$

$$\begin{cases} \\ \end{cases} \quad \text{در محدوده مجاز قرار دارد.}$$

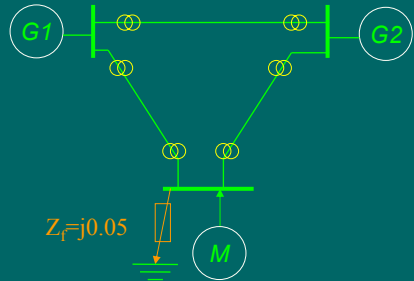
جوابهای بهینه:

$$P_1^{opt} = 450$$

$$P_2^{opt} = 650$$

$$P_3^{opt} = 400$$

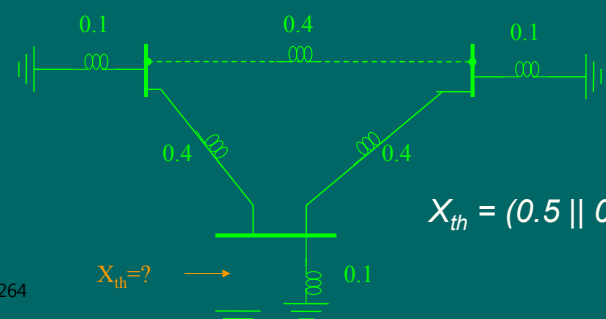
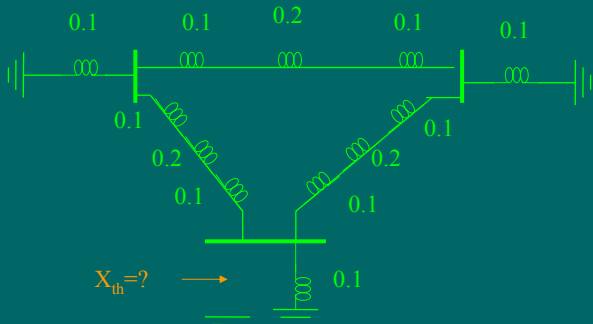
تمرین



در سیستم قدرت شکل را کنایس همه خطوط 0.2 و راکتائس ژنراتورها و موتور M و راکتائس همه ترانسها 0.1 پریونیت است. یک اتصال کوتاه سه فاز متقاضی با امپدانس $Z_f = j0.05$ در بس متصل به موتور رخ می دهد. شبکه در قبل از اتصال کوتاه بی بار و ولتاژ همه بسها $<0.1 \text{ pu}$ فرض می شوند. مطوب است محاسبه جریان اتصال کوتاه I_f ؟

263

حل:



$$X_{th} = (0.5 \parallel 0.5) \parallel 0.1 = 0.071$$

264

$$I_f = \frac{V_{th}}{Z_{th} + Z_f} = \frac{1 < 0}{j0.071 + j0.05} = -j8.264$$

265

تمرین

توابع هزینه و محدودیتهای تولید دو نیروگاه یک سیستم قدرت عبارتست از:

$$C_1 = 1 + P_1 \quad \text{for } 1 \leq P_1 \leq 3$$

$$C_2 = 1 + 2P_2 \quad \text{for } 0.5 \leq P_2 \leq 2$$

اگر بار کل سیستم 3 واحد باشد و تلفات صرفنظر شود، توزیع اقتصادی بار بین دو نیروگاه را محاسبه کنید. حل:

$$IC_1 = \frac{\partial C_1}{\partial P_1} = 1 \quad IC_2 = \frac{\partial C_2}{\partial P_2} = 2$$

$$IC_1 < IC_2 \Rightarrow P_1 = P_1^{\max} = 3$$

$$P_2 = P_D - P_1 = 3 - 3 = 0 < P_2^{\min} \Rightarrow P_2 = P_2^{\min} = 0.5$$

$$P_1 = P_D - P_2 = 3 - 0.5 = 2.5$$

$$P_1^{opt} = 2.5 \quad P_2^{opt} = 0.5$$

266

تمرین

- یک ژنراتور 50 درصد توان ماکزیم خود را توسط یک خط انتقال به باس بی نهایت می دهد. اتصال کوتاهی در سیستم رخ می دهد بطوریکه راکتانس بین ژنراتور و باس بی نهایت به 4 برابر مقدار آن در قبل از اتصال کوتاه می رسد. هنگامیکه اتصال کوتاه با قطع کلید مربوطه برطرف می شود، حداکثر توان انتقالی به 0.75 برابر توان ماکزیم اصلی می رسد. زاویه بحرانی رفع اتصال کوتاه را محاسبه کنید.

: حل

$$P_m = 0.50 P_{\max}$$

$$\text{Pre_fault: } P_{e1} = P_{\max} \sin \delta$$

$$\text{during_fault: } P_{e2} = \frac{P_{\max}}{4} \sin \delta = 0.25 P_{\max} \sin \delta$$

$$\text{Post_fault: } P_{e3} = 0.75 P_{\max} \sin \delta$$

267

تمرین

در یک سیستم قدرت با سه ژنراتور داریم:

$$P_{G1} = 60 IC_1 - 100 \quad \text{for } 50 \leq P_{G1} \leq 150$$

$$P_{G2} = 40 IC_2 - 150 \quad \text{for } 50 \leq P_{G2} \leq 150$$

$$P_{G3} = 40 IC_3 - 80 \quad \text{for } 50 \leq P_{G3} \leq 150$$

اگر **بار** کل سیستم 400 مگاوات باشد، توزیع اقتصادی بار بین سه ژنراتور را با روش تکرار λ و با شروع از $\lambda=5$ بیابید.

$IC_1 = IC_2 = IC_3 = \lambda$: حل

$$\begin{cases} P_{G1} = 60IC_1 - 100 = 60\lambda - 100 \\ P_{G2} = 40IC_2 - 150 = 40\lambda - 150 \\ P_{G3} = 40IC_3 - 80 = 40\lambda - 80 \end{cases}$$

268



		: جمله ای داشت
$\lambda = 5 \Rightarrow$	$\begin{cases} P_{G1} = 60 \times 5 - 100 = 200 > P_{G1}^{\max} = 150 \Rightarrow P_{G1} = P_{G1}^{\max} = 150 \\ P_{G2} = 40 \times 5 - 150 = 50 \\ P_{G3} = 50 \times 5 - 80 = 170 > P_{G2}^{\max} = 150 \Rightarrow P_{G3} = P_{G3}^{\max} = 150 \end{cases}$	
$\sum P_G = 150 + 50 + 150 = 350 < P_D = 400 \Rightarrow increase_{-} \lambda$		
$\lambda = 6 \Rightarrow$	$\begin{cases} P_{G1} = 60 \times 6 - 100 = 260 > P_{G1}^{\max} = 150 \Rightarrow P_{G1} = P_{G1}^{\max} = 150 \\ P_{G2} = 40 \times 6 - 150 = 90 \\ P_{G3} = 50 \times 6 - 80 = 220 > P_{G2}^{\max} = 150 \Rightarrow P_{G3} = P_{G3}^{\max} = 150 \end{cases}$	
$\sum P_G = 150 + 90 + 150 = 390 < P_D = 400 \Rightarrow increase_{-} \lambda$		
$\lambda = \frac{\sum P_G}{P_D}$		
$5 \quad 350$	$\Rightarrow \lambda = 6.25$	
$6 \quad 390$		
$\lambda = 400$		
$\lambda = 6.25 \Rightarrow$	$\begin{cases} P_{G1} = 60 \times 6.25 - 100 = 275 > P_{G1}^{\max} = 150 \Rightarrow P_{G1} = P_{G1}^{\max} = 150 \\ P_{G2} = 40 \times 6.25 - 150 = 100 \\ P_{G3} = 50 \times 6.25 - 80 = 232.5 > P_{G2}^{\max} = 150 \Rightarrow P_{G3} = P_{G3}^{\max} = 150 \end{cases}$	
$\sum P_G = 150 + 100 + 150 = 400 = P_D = 400 \Rightarrow$	$\begin{cases} P_{G1}^{opt} = 150 \\ P_{G2}^{opt} = 100 \\ P_{G3}^{opt} = 150 \end{cases}$	

www.wikipower.ir